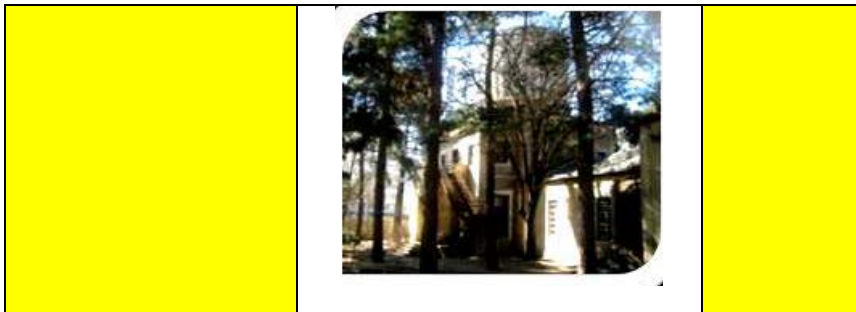


პიდაროვეთეოროლოგიის ინსტიტუტის შრომათა
პრეპული
ტომ N^o126

TRANSACTIONS OF THE INSTITUTE OF
HYDROMETEOROLOGY
VOL. N^o126

ТРУДЫ ИНСТИТУТА ГИДРОМЕТЕОРОЛОГИИ
ТОМ N^o126



საქართველოს კავკა
6. იმერეთი

Climate of Georgia
6. Imereti

Климат Грузии
6. Имерети

თბილისი – TBILISI - ТБИЛИСИ
2019

საქართველოს ტექნიკური უნივერსიტეტის
ჰიდრომეტეოროლოგიის ინსტიტუტის შრომათა
პრეზენტაცია
ტომ №126

TRANSACTIONS OF THE INSTITUTE OF
HYDROMETEOROLOGY AT THE GEORGIAN TECHNICAL
UNIVERSITY
VOL. №126

ТРУДЫ ИНСТИТУТА ГИДРОМЕТЕОРОЛОГИИ
ГРУЗИНСКОГО ТЕХНИЧЕСКОГО УНИВЕРСИТЕТА
ТОМ №126

საქართველოს ჰავა
6. 08292010

Climate of Georgia
6. Imereti

Климат Грузии
6. Имерети

თბილისი-TBILISI-ТБИЛИСИ
2019

გეოგრაფიის მეცნიერებათა დოქტორების
ე. ელიზბარაშვილის, რ. სამუქაშვილის,
სოფლის მეურნეობის მეცნიერებათა დოქტორის გ. მელაძის
და ფიზიკა-მათემატიკის მეცნიერებათა
კანდიდატის ჯ. ვაჩნაძის რედაქციით

Edited by Doctors of Geographical Sciences
E.Elizbarashvili, R.Samukashvili, Doctor of Agriculturul Sciences
G.Meladze and Candidate of Physics and Mathematics J.Vachnadze

Под редакцией докторов географических наук
Э.Элизбарашили, Р.Самукашвили, доктора сельскохозяйственных
наук Г.Меладзе и кандидата физ-мат. наук Дж.Вачнадзе

ISNN 1512-0902 | საქართველოს პავი 6.0მეტრი

პიდრომეტეოროლოგიის ინსტიტუტი.
0112 თბილისი-12,დავით აღმაშენებლის E-mail: tengo_hydro@live.ru
გამზირი 150°,

საქართველოს ტექნიკური უნივერსიტეტის
პიდრომეტეოროლოგიის ინსტიტუტი

© INSTITUTE OF HYDROMETEOROLOGY AT THE GEORGIAN
TECHNICAL UNIVERSITY 2019

ИНСТИТУТ ГИДРОМЕТЕОРОЛОГИИ ГРУЗИНСКОГО
ТЕХНИЧЕСКОГО УНИВЕРСИТЕТА

უაკ 551. 58

გამოკვლეულია იმერეთის რეგიონის კლიმატის ფორმირების ძირითადი ფაქტორები: რელიეფი, რადიაციული ფაქტორები, ატმოსფეროს ცირკულაციური პროცესები; კლიმატის ძირითადი ელემენტების ტერიტორიული განაწილების კანონზომიერებანი: ჰაერის ტემპერატურა, ჰაერის სინოტივე, ატმოსფერული ნალექები, თოვლის საფარი, ქარი. შეფასებულია რეგიონის კლიმატური რესურსების პოტენციალი: საქურორტო რესურსები, ჰელიოენერგეტიკული რესურსები, ქარის ენერგეტიკული რესურსები. განსაკუთრებული ყურადღება ეთმობა აგროკლიმატურ რესურსებს და პროგნოზებს. განხილულია ამინდის საშიში მოვლენები: ძლიერი ქარები, ქარბუქი, ნისლი, წყაინვები.

Рассмотрены основные факторы формирования климата Имерети, закономерности территориального распределения климатических элементов, климатические и агроклиматические ресурсы, комплексные климатические характеристики и опасные явления погоды. Предназначена для климатологов, агрономов и специалистов занимающихся выявлением и освоением природных ресурсов, планированием и проектированием гражданских и промышленных сооружений, линий связи, электропередач и трубопроводов.

The main factors of Imereti Region's climate formation as well as territorial distribution of climatic elements, climatic and agroclimatic resources, complex climatic characteristics and the dangerous weather conditions are considered.

შ ი ნ ა ა რ ს ი

შესავალი.....	5
თავი I. პლიმატის ზორმირების ძირითადი	7
ზარტორმბი.....	7
1. ფიზიკურ-გეოგრაფიული პირობები (რ.სამუქაშვილი, ც.დიასამიძე).....	7
2. კლიმატის რადიაციული ფაქტორები (რ.სამუქაშვილი).....	10
3. ატმოსფერული ჰაერის წნევა (რ.სამუქაშვილი).....	18
4. ატმოსფეროს ცირკულაციური პროცესები (ჯ.გაჩნაძე, რ.სამუქაშვილი, ზ.ჭავჭანიძე).....	21
თავი II. კლიმატის ძირითადი ელემენტების	
ტერიტორიული ბანაზილების პარონზომირებანი.....	23
2.1. ჰაერის ტემპერატურა (ე.ელიზბარაშვილი).....	25
2.2. ჰაერის სინოტივე (ე.ელიზბარაშვილი, ნ.ჭელიძე).....	28
2.3. ატმოსფერული ნალექები (ე.ელიზბარაშვილი, შ.ელიზბარარაშვილი, ვ.გორგიშვილი).....	30
2.4. თოვლის საფარი (რ.სამუქაშვილი).....	33
2.5. ქარი (რ.სამუქაშვილი).....	40
თავი III. პლიმატური რჩეულების პოტენციალი.....	50
3.1. საკურორტო კლიმატური რესურსები (ე.ელიზბარაშვილი, ნ.გაშაქაძე).....	50
3.2. ჰელიოენერგეტიკული რესურსები (რ.სამუქაშვილი, ც.დიასამიძე).....	53
3.3. ქარის ენერგეტიკული რესურსები (რ.სამუქაშვილი)	57
თავი IV აბროპლიმატური რჩეულები.....	72
4.1. აგროგულტურების სითბოთი და ტენიო უზრუნველყოფა (მ.მელაძე, გ.მელაძე).....	72
4.2. აგროკლიმატური ზონები (გ.მელაძე, მ.მელაძე).....	75
4.3. აგროგულტურებისათვის ამინდის არახელსაყრელი მოვლენები (მ.მელაძე, გ.მელაძე).....	77
4.4. აგრომეტეოროლოგიური პროგნოზები (გ.მელაძე, მ.მელაძე).....	81
თავი V ამინდის საშიში მოვლენები.....	84
5.1. ძლიერი ქარები (რ.სამუქაშვილი).....	84
5.2. ქარბუქი (რ.სამუქაშვილი, ჯ.გაჩნაძე).....	93
5.3. ნისლი (რ.სამუქაშვილი, ჯ.გაჩნაძე, ც.დიასამიძე).....	97
5.4. წაყინვები (ჯ.გაჩნაძე, რ.სამუქაშვილი, ც.დიასამიძე).....	103
ლიტერატურა.....	110

შესავალი

საქართველოს რეგიონალური მართვის პირობებში აუცილებელია, რომ თითოეულ რეგიონს გააჩნდეს თანამედროვე მეცნიერულ დონეზე შეფასებული კლიმატური, კლიმატური და აგროკლიმატური რესურსების სრული კადასტრი. ამასთან დაკავშირებით მნიშვნელოვანი კლიმატოლოგიური გამოკვლევები მიმდინარეობს საქართველოს ტექნიკური უნივერსიტეტის პიდრომეტეოროლოგიის ინსტიტუტის კლიმატოლოგიის და აგრომეტეოროლოგიის განყოფილებაში. დაწყებული 2000 წლიდან განყოფილებაში შესრულებულია რამდენიმე რეგიონის კლიმატური გამოკლევა და გამოცემულია სერიით “საქართველოს ჰავა”.

აღნიშნული სერიით უპყებელი უკავებულია 5 ტომი:

1. აჭარა. პიდრომეტეოროლოგიის ინსტიტუტის შრომები, გ. 110, 2003.
2. აფხაზეთი. პიდრომეტეოროლოგიის ინსტიტუტის შრომები, გ.112, 2006.
3. სამეგრელო-ზემო სვანეთი. პიდრომეტეოროლოგიის ინსტიტუტის შრომები, გ.113, 2010.
4. გურია. პიდრომეტეოროლოგიის ინსტიტუტის შრომები, გ. 118, 2011.
5. შიდა ქართლი. პიდრომეტეოროლოგიის ინსტიტუტის შრომები, გ.122, 2016.

წინამდებარე ნაშრომი წარმოადგენს მონოგრაფიის ”საქართველოს ჰავა“ სერიის მე-6 ტომს. მასში განხილულია იმერეთის კლიმატი და კლიმატური რესურსები.

განხილულია კლიმატის ფორმირების ძირითადი ფაქტორები, კლიმატის ცალკეული ელემენტების ტერიტორიული განაწილების კანონზომიერებანი, კლიმატური რესურსების პოტენციალი, აგროკლიმატური რესურსები და პროგნოზები და ამინდის საშიში მოვლენები.

კვლევაში გამოყენებულია იმერეთის რეგიონში არსებული მეტეოროლოგიური სადგურების დაკირვებათა მონაცემები დაწყებული დღიდან მათი დაარსებისა დამთავრებული იმ დრომდე, როდემდეც ფუნქციონირებდა სადგური. დაკვირვებათა მონაცემების დამუშავებაში გამოიყენებოდა კლიმატოლოგიაში აპრობირებული მონაცემთა ინტერპოლაციის და ექსტრაპოლაციის მეთოდები.

ნაშრომი შესრულებულია პიდრომეტეოროლოგიის ინსტუტის სამეცნიერო სამუშაოთა ოქმატური გეგმის შესაბამისად პროფესორ ე.ელიზბარაშვილის ხელმძღვანელობით. ცალკეული ოქმატიკების მიხედვით პასუხისმგებელი შემსრულებლებია გეოგრაფიის მეცნიერებათა დოქტორი რ.სამუკაშვილი, სოფლის მეურ-

ნეობის მეცნიერებათა დოქტორი, პროფესორი გ.მელაძე, ფიზიკა-მათემატიკის აკადემიური დოქტორი ჯ.გაჩნაძე და სოფლის მეურნეობის დოქტორი მ.მელაძე.

ნაშრომისთვის მომზადებული ცხრილები და გრაფიკული მასალა შეასრულდა ცდიასამიქემ.

ადსანიშნავია, რომ საქართველოს კლიმატოლოგიური გამოკვლევების განვითარებაში მნიშვნელოვანი მოვლენა იყო საქართველოს კლიმატური და აგროკლიმატური ატლასის (2011) გამოქვეყნება. ატლასი შესრულდა აგრეთვე ინსტიტუტის კლიმატოლოგიის და აგრომეტეოროლოგიის განყოფილებაში. ის წარმოადგენს ქართველი კლიმატოლოგების და აგრომეტეოროლოგების მრავალწლიური კვლევების შეჯამების შედეგს. ატლასში წარმოდგენილია 112 თემატური რუკა საქართველოს კლიმატის, კლიმატური და აგროკლიმატური რესურსების შესახებ.

მოხვერაფიას ერთვის ლიტერატურის ფართო სია, რომელიც ძირითადად ასახავს საქართველოს კლიმატოლოგიური გამოკვლევების თანამედროვე მდგომარეობას.

სერიის ”საქართველოს ჰავა“ მომდევნო, მუ-7 ტომი, მიეძღვნება კახეთის რეგიონს.

თავი I. პლიგატის ფორმირების ძირითადი უაზტორუბი

1.1. ფიზიკურ-გეოგრაფიული პირობები

იმერეთის რეგიონი მდებარეობს დასავლეთ საქართველოში. ის შემოსაზღვრულია ჩრდილოეთიდან რაჭის, სამხრეთიდან მესხეთის, აღმოსავლეთიდან ლიხის ქედებით, დასავლეთიდან მდინარე ცხენისწყლით.

იმერეთის ტერიტორიის ნაწილებს წარმოადგენს: იმერეთის დაბლობი-კოლხეთის დაბლობის უკიდურესი აღმოსავლეთი ნაწილი, ოკრიბა-ჩრდილო იმერეთის მთისწინეთი, ზემო იმერეთის პლატო ჭიათურის სტრუქტურული და მირულას დენუდაციური ინტენსიურად დანაწილებული პლატოებით და სამხრეთ იმერეთის მთისწინეთი. რეგიონის ფართობი 6,5 ათასი კმ²-ია, რაც საქართველოს ტერიტორიის 9,2%-ს შეადგენს. ტერიტორიის აბსოლუტური სიმაღლე მეტყველს 10-20 მეტრიდან 2862 მეტრამდე (მწვერვალი ლებეური): იმერეთის ტერიტორიაზე წარმოდგენილია თითქმის ყველა დანადშაფტური ზონა, ნოტიო სუბტროპიკულიდან დაწყებული და ალპური მდელოებით დამთავრებული. იმერეთის ტერიტორიაზე განლაგებულია მთიანი სისტემები და მათი განშტოებები ზეგნებით, პლატოებით, ვაკე-დაბლობებით და ღრმა ხეობებით.

იმერეთის ვაკე წარმოადგენს კოლხეთის ლანდშაფტური ოლქის ყველაზე მაღალ აღმოსავლეთ ნაწილს, რომელიც ვრცელდება მდ. ცხენისწყლის შესართავიდან ქ. ზესტაფონამდე. იგი ოდნავ დამრეცი ვაკეა, რომელიც წარმოქმნილია დიდი და მცირე კავკასიონის მდინარეების მიერ ჩამოგანილი ალუვიალური მასალებით. მისი სიგრძე მეტყველს 60-70 კმ-ს, სიგანე-35 კმ-ს, ხოლო აბსოლუტური ნიშნულები-150 მეტრის ფარგლებში. დაბლობის პერიფერიული ნაწილი დასერილია მდინარეების ეროზიული კალაპოტებით. კოლხეთის დაბლობის სხვა ნაწილებისაგან განსხვავებით ჭაობები და ტბები აქ თითქმის არ არსებობს. აქ განვითარებულია ეწერი და ალუვიური ნიადაგები.

ოკრიბას (ჩრდილოეთ იმერეთის მთისწინეთი) ლანდშაფტი ხასიათდება გორაკ-ბორცვიანი რელიეფით, მეწყერებით და პერიფერიაზე განვითარებული კარსტით. ჰიდრომეტრიით იგი უაბლოვდება ზემო იმერეთის პლატოს. მისი ტერიტორია განლაგებულია ძირითადად დაბალმთიან და ზოგან საშუალო მთიან ზონებში, რაც განპირობებულია ხვამლის მასივის და რაჭის ქედის განშტოებებით, რომლებიც სამხრეთის მიმართულებით ბორცვიან რელიეფში და ვაკეებში გადადიან. რაიონის ცენტრალურ ნაწილში გაბატონებულია ეროზიული ხასიათის მეწყერიან, გორაკ-ბორცვიანი რელიეფი. რაიონის კირქვები ზონა მდინარია კარსტოული წარმონაქმნებით (წყალტუბოს რაიონი, არ-

გვეთის სერის მიღამოები). პიდროგრაფიული ქსელი წარმოდგენილია მდ. რიონით და მისი შენაკადებით, აგრეთვე კირქვული რაიონისთვის დამახასიათებელი კარსტული წყლებით. ოკრიბის რაიონის ნიადაგებში შერწყმულია წითელმიწა, ყვითელმიწა, ყომრალი და ნეშომპალა-კარბონატული ტიპები.

სამგურალის სერსა და მდ. ცხენისწყალს შორის გადაჭიმულია წყალტუბოს ქვერაიონი-მთისწინა, სამხრეთისაკენ დახრილი ტალღობრივი ვაკე, რომელზეც განლაგებულია კურორტი წყალტუბო. ვაკის სიმაღლე ზღვის დონიდან ჩრდილოეთ ნაწილში მერყეობს 400-500 მეტრის, ხოლო სამხრეთ ნაწილში-100 მეტრის ფარგლებში. აქ გავრცელებული კირქვების ქანები განაპირობებენ რელიეფის კარსტული წარმონაქმნების (ძაბრები, ღრმულები, მდვიმები და სხვ) სიუხვეს. დიდი კარსტული ძაბრების დიამეტრი მერყეობს 300-400 მეტრის ფარგლებში, სიღრმე კი რამდენიმე ათეულ მეტრს აღწევს. მდვიმებიდან აღსანიშნავია სათაფლიას მდგიმე. ნიადაგის საფარი აქ წარმოდგენილია წითელი მიწებით, ნეშომპალა კარბონატული და ტყის ყომრალი ნიადაგებით.

შიდა ოკრიბის ქვერაიონი ხასიათდება ბორცვიანი და დაბალმთიანი ეროზიის მოქმედების შედეგად დანაწევრებული რელიეფით. ნაქერალის ქედის სამხრეთ ფერდობებზე ფართოდაა გავრცელებული მეწყერები. ისინი ხშირად გვხვდებიან აგრეთვე მდ. წყალწითელას აუზშიც. პიდროლოგიური ქსელიდან აღსანიშნავია მდ. რიონი. ნიადაგის საფარი წარმოდგენილია ყვითელი მიწების და ტყის ყომრალი მიწების სახით. ამ ქვერაიონში მდებარეობენ განედური მიმართულების ოკრიბა-არაგვის სერი და მის სამხრეთით განლაგებული სიმონეთის დახრილი ვაკე, რომელიც აღმოსავლეთის მიმართულებით თანდათანობით გადადის ზემო იმერეთის პლატოში.

ზემო იმერეთის პლატო, რომელიც გეოლოგიურ ლიტერატურაში ცნობილია “ძირულას მასივის” სახელწითებით, ერთი მხრივ ანცალკევებს კოლხეთისა და ივერიის დეპრესიებს, მეორე მხრივ კი ერთმანეთთან აკაგზირებს დიდი და მცირე კავკასიონის მთიან სისიტებებს. ზემო იმერეთის პლატო წარმოადგენს კოლხეთის ლანდშაფტური ოლქის უკიდურეს აღმოსავლეთ ნაწილს. მისი ტერიტორიის მნიშვნელოვან ნაწილს შეადგენს ლიხის ქედის დასავლეთი ფერდობი და მდინარეების ძირულას, ჩხერიმელასა და ყვირილას აუზები. პლატოს ტერიტორიის მნიშვნელოვანი ნაწილი განლაგებულია ზღვის დონიდან 500-1000 მეტრის სიმაღლეთა ფარგლებში. მაქსიმალური სიმაღლეები აღინიშნება ლიხის ქედზე და მდ. ძირულა-ჩხერიმელას

წეალგამყოფის თხემურ ზონაში, სადაც ცალკეული მწვერვალების სიმაღლე აღწევს 1200-1500 მეტრს.

რეგიონის ჩრდილო-დასავლეთი ნაწილი ეწ. ჭიათურის სტრეტურული პლატო მოიცავს რეგიონის ტერიტორიის ჩრდილო-დასავლეთ, დასავლეთ და სამხრეთ-დასავლეთ ნაწილებს. იგი მდ. ყვირილის ხეობით ორ ნაწილად იყოფა. პლატოს ახასიათებს არაღრმად დანაწევრებული ვრცელი შუამდნარეთი, რომლებიც ერთმანეთისაგან განცალკევებულია მდინარეთა ქსელის კანიონებით. პლატოს ტერიტორიაზე მანგანუმის მაღნის გავრცელების არეალში რელიეფის კარსტული ფორმის სიუხვეთან ერთად ფართოდა გავრცელებული ანთროპოგნული მეწყერები, რომლებიც დაკავშირებულია მანგანუმის მაღნის მოპევებასთან.

მდ. ყვირილის მარჯვენა ნაპირზე განლაგებული ტერიტორიის ნაწილის აბსოლუტური სიმაღლე აღწევს 600-800 მ-ს, იგი დასერილია რაჭის ქედიდან ჩამომავალი რიგი მდინარეებით. ამ რაიონში საკმაოდ უხვადაა კარსტული ძაბრები, მღვიმეები და სხვ.

ჭიათურის პლატოს მარცხნია ნაწილი წარმოადგენს ხეობებით დასერილ ეროზიულ რელიეფს. აღსანიშნავია აგრეთვე ვულკანური წარმოშობის კონუსის ფორმის ბორცვები (ლაკოლიტებსტრუზიები).

რეგიონის სამხრეთ-აღმოსავლეთი ნაწილი დენუდაციური პლატო ეროზიული ხევების ქსელით მნიშვნელოვნად არის დანაწევრებული. ჰიპერმეტრიის მიხედვით ორივე პლატო განეკუთვნება შუამთიან ზონას. მდ. ძირულის დენუდაციურ, ინგენსიურ-ად დანაწევრებულ პლატოს უკავია ზემო იმერეთის ტერიტორიის უმეტესი ნაწილი. აქ რელიეფის აბსოლუტური სიმაღლე აღწევს 1500 მეტრს. ლიხის წეალგამყოფი ქედი შედარებით დაბალია და მისი აბსოლუტური სიმაღლეები არ აღემატება 1300-1350 მეტრს.

ზემო იმერეთის ჰიდროგრაფიული ქსელი წარმოდგენილია მდ. ყვირილას და ძირულას შენაკადებით. აქ საკმაოდ უხვია კარსტული წელები და მცირე ზომის ტბები. ნიადაგის საფარი აქ ხასიათდება ნემომპალა-კარბონატული ყვითელმიწა, წითლმიწა და ტყის ყომრალი სახეობებით.

სამხრეთ იმერეთის მთისწინეთი წარმოადგენს გორაქ-ბორცვიან ტერიტორიას, რომელიც განლაგებულია ზემო იმერეთის პლატოსა და აჭარა-გურიის მთისწინეთს შორის. იმერეთის სხვა რაიონებისაგან განსხვავებით აქ ადგილი არა აქვს რელიეფის კარსტულ ფორმებს. რელიეფი წარმოდგენილია დაბალი სერების ერთობლიობით, რომელთა აბსოლუტური სიმაღლე მერყეობს 20-1000 მეტრის საზღვრებში. რაიონის მთელ სიგრძეზე გან-

ლაგებულია სამხრეთ-იმერეთის სერი, რომელიც წარმოადგენს გურიის მაღლობის გაგრძელებას. მას კვეთს მთელი რიგი ტერასიანი მდინარეების ხეობები (ხანის წყალი, სულორი, ყორის წყალი და სხვ). მდინარეთა ქსელი აქ წარმოდგენილია როგორც შედარებით დიდი მდინარეებით (ხანის წყალი, სულორი, ყუმური და სხვ.), რომლებიც სათავეს იღებენ აჭარა-იმერეთის ქედის კალთებზე ან მის თხემზე, ასევე წვრილი ნაკადულებით, რომლებიც გამოედინებიან მთისწინა სერების ფერდობებიდან.

ნიადაგის საფარი აქ წარმოდგენიალია ყვითელი მიწებით და ტყის კომპლანი ნიადაგებით.

იმერეთის მხარე მდიდარია შიდა წყლებით. აქ აღრიცხულია 6000-მდე მდინარე (რომელთაგან უდიდესია რიონი) მათი ჩამონადენი შეადგენს 13 კმ²-ს, რომლის პირობებისათვის მხოლოდ უმნიშვნელო ნაწილია ათვისებული.

1.2 კლიმატის რადიაციული ფაქტორები

მზის რადიაციის, როგორც ერთ-ერთი ძირითადი კლიმატურმომექნელი ფაქტორის დროში და სივრცეში ცვლილებების კანონზომიერებების დადგენას განსახილველილი რეგიონისათვის აქვს დიდი მნიშვნელობა. სამწუხაროდ, იმერეთის ტერიტორიაზე არ არსებობს არცერთი აქტინომეტრიული სადგური, რომლის ინფორმაციაც საშუალებას მოგვცემდა დაგვეხასიათებინა ამ რეგიონის რადიაციული კლიმატი. აღნიშნული ხარვეზის გათვალისწინებით საკვლევი ტერიტორიის როგორც დაბლობი, ასევე მთიანი და მაღალმთიანი ნაწილების რადიაციული მახასიათებლების დროში და სივრცეში ცვლილებების კანონზომიერებების დადგენის მიზნით ვისარგებლეთ საქართველოს ტერიტორიაზე არსებული აქტინომეტრიული ქსელის როგორც დაბლობი, ასევე მთიანი სადგურების (სკრა, 607მ; სოხუმი, 116მ; მარტვილი, 40მ; წალკა, 1457მ; ჯვრის ურელტახილი, 2395მ; ანასეული, 158მ; ოელავი, 568მ; თბილისი, 427; ტორსა, 542მ; მ/მთ ყაზბეგი, 3653მ.) მრავალწლიური დაკვირვებების (1954-1991წვ) მასალებით. საკვლევი ტერიტორიისათვის მოწმენდილი ცისა და ღრუბლიანობის საშუალო პორბებისათვის დადგენილი იქნა მზის პირდაპირი S , S' , ცის თაღის მიერ გაპნეული D , ჯამური $Q = S' + D$, ქვეფენილი ზედაპირის მიერ არეკლილი R , შთანთქმული $Q_{\text{შ}}$ რადიაციების და ალბედოს A ადგილის აბსოლუტურ სიმაღლეზე H დამოკიდებულებების ანალიზური სახეები, რომლებიც გა-

მოყენებული იქნა იმერეთის ტერიტორიის რადიაციული კლიმატის დახასიათების მიზნით. პრობლემისადმი ასეთი მიღებობა გამართლებულია (З.Н. Пивоварова 1977, Р.Д. Самукашвили 1987)-ში მოცემული მეთოდური მოსაზრებებით. მზის ნათების ხანგრძლივობა იმერეთის დაბლობი რაიონებისათვის მოცემულია სადგურ წყალტუბოზე (120მ) არსებული ჰელიოგრაფიული ინფორმაციით.

კლიმატის რადიაციული ფაქტორების (რადიაციული ბალანსი და მისი მდგენელები) სიდიდის ფორმირებაზე დიდ გავლენას ახდენს ღრუბლიანობა და მზის ნათების ხანგრძლივობა. იმერეთის რეგიონისათვის გაანალიზებული იქნა აქ არსებული მეტეოსადგურების დაკვირვებევის მასალები საერთო და ქვედა იარუსის ღრუბლიანობაზე. ცის მოწმენდილი და მოღრუბლებული მდგომარეობის ალბათობაზე, მოწმენდილი და მოღრუბლებული ამინდის მდგრადობის კოეფიციენტებზე, მოწმენდილი, მოღრუბლებული და უმზეო დღეების რეჟიმებს მახასიათებლებზე.

როგორც ცნობილია, დაბლობ რაიონებში ღრუბლიანობის რეჟიმები მახასიათებლები (მოწმენდილი და ღრუბლიანი დღეების რიცხვი, ღრუბლიანობის გრადაციების განმეორადობა საერთო და ქვედა იარუსის ღრუბლიანობა) ფორმირდება ატმოსფეროს ცირკულაციური პროცესების და ქვეფენილი ზედაპირის გავლენით, იმერეთის მთაგორიან რეგიონში რელიეფის ელემენტების (ქედები, ხეობები, ქვაბულები დას ხე) და აბსოლუტური სიმაღლის გავლენის შედეგად ადგილი აქვს ადგილობრივი რთული ცირკულაციების ფორმირებას, რომელმაც შეიძლება დაშალოს ან ხელი შეუწყოს ღრუბლიანობის განვითარებას. იმერეთის ტერიტორიაზე ღრუბლიანობის როგორც საერთო, ისე ცალკეული ფორმების რაოდენობა წელიწადის თბილი და ცივი პერიოდებისათვის ერთმანეთისაგან განსხვავდება.

წელიწადის ცივ პერიოდში ადგილი აქვს დაბალი ფენა ღრუბლების უპირატეს განვითარებას, რაც განპირობებულია ქვეფენილი ზედაპირის რადიაციული ბალანსის დაბალი მნიშვნელობებით განსაკუთრებით თოვლის საფარის შემთხვევაში, რის შედეგად ადგილი აქვს მიწისპირა ინვერსიების წარმოქმნას. მაგ. სადგურ მთა საბუეთზე (1242მ) დაკვირვების ვადა 13 საათზე ადგილობრივი ღრუბ-

ლების ისეთი ფორმების განმეორადობა როგორიცაა St და C_u შესაბამისად მერყეობდა ზამთრის თვეებში 7-15-ის (St) და 2-6%-ის (C_u) ფარგლებში, ხოლო ზაფხულის თვეებში 4-6-ის (St) და 47-64%-ის (C_u) ფარგლებში. რაც შეეხება ფრონტალურ ღრუბლიანობას, იგი ზამთრის პერიოდში ძირითადად წარმოდგენილია ფენოვანი ფორმებით. ზაფხულის პერიოდში ადგილი აქვს კონვექციური ღრუბლიანობის განვითარებას.

საერთო ღრუბლიანობის საშუალო წლიური სიდიდე რეგიონის 8 სადგურზე იცვლება 6.0-6.5 ბალის საზღვრებში, ხოლო ქვედა იარუსის ღრუბლიანობის საშუალო წლიური სიდიდე 0.4-0.7 ბალის საზღვრებში. მთა საბუეთში ადგილის აბსოლუტური სიმაღლის ზრდისას აღინიშნება ღრუბლიანობის ამ მახასიათებლების მატება შესაბამისად 7.0-5.5 ბალამდე. საერთო და ქვედა იარუსის ღრუბლიანობის საშუალო-თვიური სიდიდები რეგიონის 8 სადგურზე მირითადად მაქსიმალურია წელიწადის თბილი პერიოდის განმავლობაში, მათი მინიმალური მნიშვნელობები აღინიშნება წელიწადის ციკ პერიოდში სადგურ მთა საბუეთზე საერთო ღრუბლიანობის საშუალო თვიური სიდიდების მაქსიმუმი აღინიშნება ნოემბრიდან დაწყებული მაისის ჩათვლით, მინიმუმი დანარჩენ თვეებში, ქვედა იარუსის ღრუბლიანობის საშუალო-თვიური სიდიდების მაქსიმუმი ამ სადგურზე მირითადად აღინიშნება იანვარში, თებერვალში და მარტში (6.0-6.2 ბალი), მინიმუმი წელიწადის დანარჩენ თვეებში ივლისის გამოკლებით, როდესაც იგი აღწევს 6.0 ბალს.

საერთო ღრუბლიანობით მოღრუბლებლი ცის (8-10 ბალი) მდგომარეობის განმეორადობა საშუალოდ შეადგენს იანვარში 60-65%-ს, ივლისში 50-60%-ს, ქვედა იარუსის ღრუბლიანობის შემთხვევაში განმეორადობა მერყეობს 40-50% (I) და 30-40%-ის(VII) ფარგლებში.

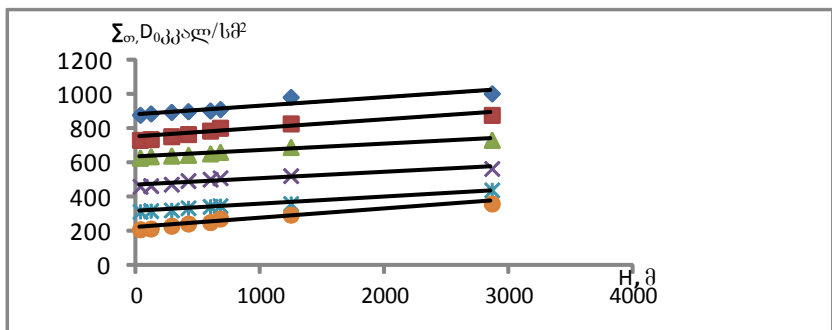
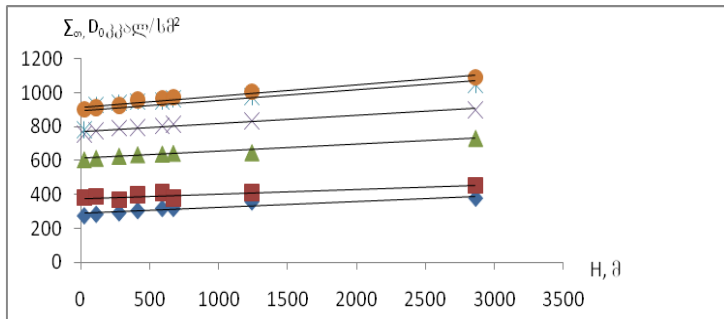
საერთო ღრუბლიანობით მოწმებდილი ცის (0-2ბალი) მდგომარეობის განმეორადობა შეადგენს იანვარში 20-30%-ს, ივლისში 24-28%-ს. სადგურ მთა საბუეთზე ამ პარამეტრების მნიშვნელობები შესაბამისად ტოლია იანვარში 16 და ივლისში 22%-ისა.

რაც შექება დაკვირვების ვადებში (1,7,13,19სთ) საერთო ღრუბლიანობით ცის მდგომარეობის განმეორადობას მოწმენდილი (0-2) ნაწილობრივ მოღრუბლული (3-7 ბალი) და მოღრუბლული (8-10 ბალი) ცის შემთხვევაში, როგორც ტყიბულში, ქუთაისში, სამტრედიაში და მთა საბუეთზე მრავალწლიური დაკვირვებების მასალების ანალიზი გვიჩვენებს, ამ სადგურებზე მთელი წლის განმავლობაში აღინიშნება მოღრუბლული ცის მდგომარეობის მაქსიმუმი და ნაწილობრივ მოღრუბლული ცის მდგომარეობის მინიმუმი. ქვედა იარუსის ღრუბლიანობის შემთხვევაში სადგურებზე: ტყიბული, ქუთაისი და სამტრედია დაკვირვების ოთხივე ვადაზე მთელი წელიწადი აღინიშნება მოწმენდილი ცის მდგომარეობის მაქსიმუმი და ნაწილობრივ ღრუბლიანი ცის მდგომარეობის მინიმუმი. სადგური მთა საბუეთზე ზამთრის პერიოდში მარტის ჩათვლით მოღრუბლული ცის შემთხვევების რაოდენობა აღემატება მოწმენდილი ცის შემთხვევების რაოდენობას, წელიწადის დანარჩენ თვეებში კი მათი მნიშვნელობები ახლოა ერთმანეთთან. დაკვირვებების ოთხივე ვადაზე მთელი წლის განმავლობაში ამ სადგურზე აღინიშნება ნაწილობრივ ღრუბლიანი ცის მდგომარეობის მინიმუმი.

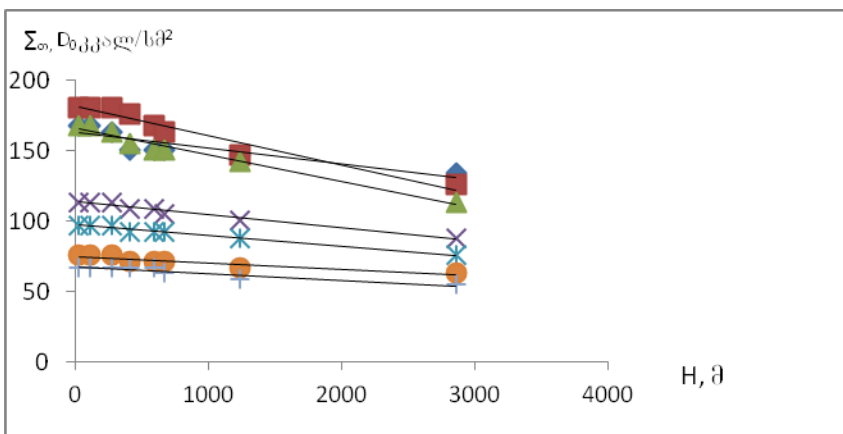
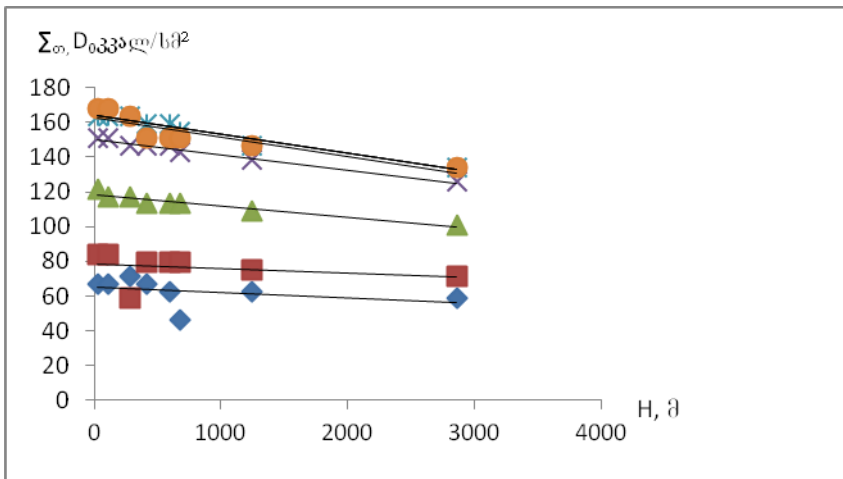
მზის ნათების საშუალო მრავალწლიური ხანგრძლივობა წელიწადში შეადგენს წყალტუბოში 2032 საათს, საქარაში 2100 საათს. მზის ნათების ფაქტიური ხანგრძლივობის შეფარდება მის შესაძლო ხანგრძლივობასთან მოწმენდილი ცის შემთხვევაში შეადგენს წყალტუბოში 55%-ს, საქარაში-51%-ს. წყალტუბოში უმზეო დღეთა რაოდენობა წელიწადში არ აღემატება 70%-ს.

მოწმენდილი ცის შემთხვევაში პორიზონტალურ ზედაპირზე მზის პირდაპირი, გაბნეული და ჯამური რადიაციის თვიური ჯამების $\Sigma_{თS_0^{'}}$, $\Sigma_{თD_0}$, $\Sigma_{თQ_0}$ სიდიდეები აღებული იქნა მათი ადგილის აბსოლუტურ სიმაღლეზე (H) და მოკიდებულებების გრაფიკებიდან (ნახ. 1.2.1. და ნახ.1.2.2.), რომლებიც ჩვენს მიერ აგებულია საქართველოს აქტინომეტრული ქსელის სადგურებზე რადიაციული ბალანსის ამ მდგრელებზე არსებული მრავალწლიური დაკვირვებულის მასალების გამოყენებით.

მოწმენდილი ცის შემთხვევაში ადგილის აბსოლუტური სიმაღლის ზრდისას 22-2862მეტრის საზღვრებში მზის პირდაპირი და ჯამური რადიაციის წლიური ჯამები მატულობები შესაბამისად 5572.6-7441.5 (Σ_{FS_0}) და 7026.4-8585.4 მჯ/მ-ის (Σ_{FQ_0}) ფარგლებში. გაძნეული რადიაციის წლიური ჯამები Σ_{FQ_0} კი მცირდებიან 1453.2 მჯ/მ-დან 1143.92 მჯ/მ-დე, რაც განპირობებულია სიმაღლის მატების სინქრონულად ატმოსფეროს სისქის და მასში არსებული აეროზოლების კონცენტრაციის შემცირებით.



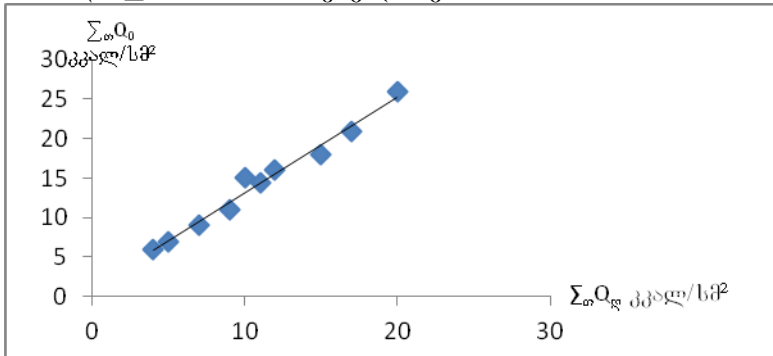
ნახ. 1.2.1. მოწმენდილი ცის შემთხვევაში ჯამური რადიაციის თვიური ჯამების Σ_{Q_0} დამოკიდებულება ადგილის აბსოლუტურ სიმაღლეზე $\Sigma_{\text{Q}_0} = f(H)$ საქართველოს აქტინომეტრიული სადგურების ქსელის მონაცემებით. ●-(VIII), *-(VIII), X-(IX), ▲-(XIV), ■ -(XIV), ♦-(XII).



ნახ.1.2.2. მოწმენდილი ცის შემთხვევაში გაბნეული რადიაციის თვიური ჯამების $\Sigma_0 D_0$ დამოკიდებულება ადგილის აბსოლუტურ სიმაღლეზე $\Sigma_0 D_0 = f(H)$ საქართველოს აქტინომეტრიული სადგურების ქსელის მონაცემებით. ●-(V,XI), *-(IV,X), X-(VI,IX), ▲-(III,VIII), ■ -(II,VII), ♦-(I,VI), +-(,XII).

ღრუბლიანობის საშუალო პირობებში ჯამური რადიაციის წლიური ჯამების სიდიდე ადგილის აბსოლუტური სიმაღლის მაჩებისას 28 მეტრიდან (სამტრედია) 2862 მეტრამდე (მთა ლებეური, უმაღლესი მწვერვალი იმერეთის ტერიტორიაზე) იზრდება 4546.0მჯ/მ-დან 6213.8მჯ/მ-დევ.

აღსანიშნავია ის გარემოება, რომ არსებობს გარკვეული კავშირი ჯამური რადიაციის თვიურ ჯამებს შორის მოწმენდილი და მოღრუბლული ცის შემთხვევაში. ასეთი კავშირის გრაფიკული სახე დასავლეთ საქართველოს აქტინომეტრიული საღგურების (მარტვილი, ანასეული, სოხუმი) მონაცემებით მოცემულია ნახ. 1.2.3.-ზე. ამ გრაფიკზე დატანილია აგრეთვე მთა საბუეთისთვის გამოთვლილი $\sum_{\text{თ}} Q_{\text{დ}}$ და $\sum_{\text{თ}} Q_{\text{მ}} - \text{ის}$ მნიშვნელობები.



ნახ.1.2.3. მოწმენდილი ცისა და მოღრუბლულობის საშუალო პირობებში ჯამური რადიაციის თვიურ ჯამებს შორის დამოკიდებულებები.

ნახ.1.2.3.-ზე წარმოდგენილი დამოკიდებულება ანალიზურად წარმოიდგინება წრფივი ფუნქციის სახით:

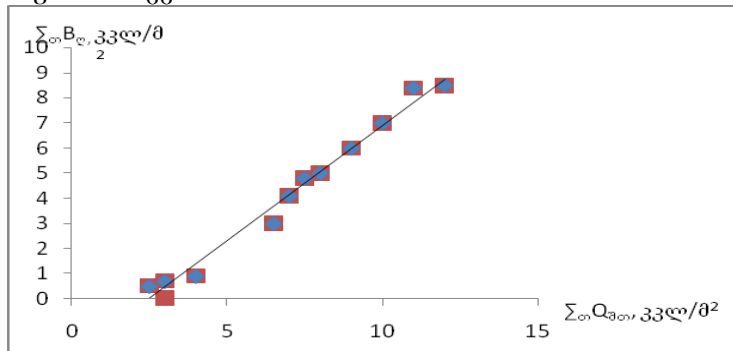
$$\sum_{\text{თ}} Q_{\text{დ}} = 0.7 \sum_{\text{თ}} Q_{\text{მ}} - 1.0 \quad 1.2.1$$

ამ დამოკიდებულებით შესაძლოა იმურეთის ტერიტორიაზე განლაგებული ნებისმიერი პუნქტისათვის გამოითვალის ჯამური რადიაციის თვიური სიდიდე ჯამების სიდიდე მოღრუბლულობის საშუალო პირობებში, გამოთვლების აბსილუტური ცდომილება მერყეობს $1 \frac{1}{2}$ კგალ/სმის საზღვრებში. ჯამური რადიაციის წლიური ჯამები $\sum_{\text{თ}} Q_{\text{დ}}$ დრუბლიანობის საშუალო პირობებში აღგილის აბსოლუტური სიმაღლის ზრდისას მატულობენ $4135.5 \text{მჯ}/\text{მ-დან}$ $6594.7 \text{მჯ}/\text{მ-დე}$. სხვაობა თ. ბერლინის მეოთხეკით გამოთვლილ და ნახ.1.2.3.-დან აღებულ $\sum_{\text{თ}} Q_{\text{დ}}$ -ს სიდიდეებს შორის შეადგენს სადგურ ხარაგაულისათვის 26.5 , საჩხერისათვის $121.8 \text{მჯ}/\text{მ-ს}$, მთიანი და მაღალმთიანი პუნქტებისათვის განსხვავება მატულობს, რაც განპირობებულია

სხვა რაიონებისა და პუნქტებისათვის მიღებული ღრუბლიანობის კოეფიციენტის კ-ს მნიშვნელობების გამოყენებით $\Sigma Q_{\text{დ}} - \text{s}$ სიდიდეების გამოთვლებში იმურეთის სადგურებისათვის.

ადგილის აბსოლუტური სიმაღლის მატებისას 22 მეტრიდან 2862 მეტრამდე ქვევენილი ზედაპირის მიერ არებლილი რადიაციის ჯამები $\Sigma_{\text{რ}} B$ წლიწადის განმავლობაში იზრდება 1055.8მჯ/მ-დან 2993.3მჯ/მ-დე, შთანთქმული რადიაციის წლიური ჯამების სიდიდე კი მცირდება 3550.2 მჯ/მ-დან 3220.5მჯ/მ-დე, $\Sigma_{\text{რ}} Q_{\text{მ}} - \text{s}$ მაქსიმუმი (3221.8 მჯ/მ) აღინიშნება მთა საბუეთზე. რადიაციული ბალანსის ამ მდგრენელების მაღლივ ცვლილებებს ძირირთადად განაპირობებს სეზონური თოვლის საფარის ფორმირების თვისებურებები ადგილის აბსოლუტურ სიმაღლეზე დამოკიდებულებით.

რადიაციული ბალანსის თვიური $\Sigma_{\text{რ}} B$ და წლიური $\Sigma_{\text{რ}} B$ ჯამების სიდიდეები მოღრუბლულობის საშუალო პირობების გათვალისწინებით განსაზღვრული იქნა შთანთქმულ რადიაციაზე და რადიაციულ ბალანსზე საქართველოს აქტინომეტრიული ქსელის მრავალწლიური დაკვირვებების მონაცემების გამოყენებით. დადგენილი იქნა მათ შორის დამოკიდებულების გრაფიკული (ნახ. 12.4.) და ანალიზური სახეები.



ნახ. 12.4. ღრუბლიანობის საშუალო პირობებში რადიაციული ბალანსის თვიური ჯამების დამოკიდებულება შთანთქმული რადიაციის თვიურ ჯამებზე საქართველოს აქტინომეტრიული სადგურების ქსელის მონაცემებით.

როგორც გამოთვლების შედეგები გვიჩვენებენ, მოღრუბლების საშუალო პირობებში რადიაციული ბალანსის წლიური ჯამები ადგილის აბსოლუტური სიმაღლის ზრდისას მაქსიმუმს აღწევს სადგურ მთა საბუეთზე (2375.78მ/მ), მთა ლებეურზე მათი სიდიდე შეადგენს 16760მ/მ-ს. აღსანიშნავია ის გარემოება, რომ მაღალი მთის ზონაში მდგრადი სეზონური თოვლის საფარის გაფლენის შედეგად აღინიშნება რადიაციული ბალანსის წლიური ჯამების შემცირების ტენდენცია (მთა ლებეური).

13.ატმოსფერული ჰაერის წნევა

ატმოსფერული წნევის სიდიდე დამოკიდებულია ადგილის აბსოლუტურ სიმაღლეზე, რელიეფის თავისებურებებზე, მაკროცირკულაციურ პროცესებზე, ქვეფენილი ზედაპირის სითბურ ბალანსზე. ადგილის აბსოლუტური სიმაღლის ზრდასთან ერთად ატმოსფეროს სისქის და სიმკვრივის შემცირების შედეგად, ჰაერის წნევა კლებულობს. ზღვის დონეზე ჰაერის წნევა შეადგენს 1013,25 ჰარ-ს, ხოლო ზღვის დონიდან ხუთ კილომეტრზე მის ნახევარს. ძალიან დიდ სიმაღლეზე ატმოსფერო თანდათანობით გადადის უკიდურესად გაიშვიათებულ პლანეტათმორის სივრცეში, რომელიც შესდგება სხვადასხვა ქიმიური ელემენტების (უპირატეს კალციუმის) ცალკეული ატომებისაგან და კოსმოსური მტვრისაგან. როგორც აღინიშნა ატმოსფერული წნევის სიდიდეზე დიდ გავლენას ახდენს მაკროცირკულაციური პროცესები მაღალი (ანტიციკლონები) და დაბალი (ციკლონები) წნევის არეები. ციკლონების ცენტრში წნევა შეიძლება დაეცეს 950 მბ-მდე, ანტიციკლონების ცენტრში კი მან შეიძლება მიაღწიოს 1070 მბ-ს. საქართველოს მთაგორიან პირობებში ატმოსფერული ჰაერის წნევა, აბსოლუტური სიმაღლის გარდა, დამოკიდებულია რელიეფის ელემენტების (ორიენტაცია, დახრილობის კუთხები) თავისებურებებზე, რომლებიც განაპირობებენ სითბური და რადიაციული ბალანსის სიდიდეების დიდ სიჭრულეს. მთაგორიან ქვეყნებში დიდ აბსოლუტურ სიმაღლეებზე ატმოსფერული წნევის დაბალი მნიშვნელობები უარყოფით გავლენას ახდენენ ადამიანის ორგანიზმის ნორმალურ ფიზიოლოგიურ ფუნქციონირებაზე: იმ ნებატიური ფაქტორებიდან, რომლებიც მოქმედებენ ადამიანის ორგა-

ნიზმზე დიდ სიმაღლეებზე, კველაზე მნიშვნელოვანია ატ-მოსფეროს ერთეული მთავარი კომპონენტის დაჭვითებული პარციალური წნევა, რომელიც ორგანიზმში იწვევს “ჟანგბადის შიმშილს” ანუ პიპოქსიას. იმ შემთხვევაში, როდესაც მთიან პირობებში ატმოსფეროში ჟანგბადის რაოდენობის შემცველობა ეცემა ზღვის დონეზე პაერში არსებული ჟანგბადის რაოდენობის 12-14%-მდე, მაშინ ამ პირობებში მოხვედრიდი ადამიანის (ტურისტი, ალპინისტი, სამთო მოთხილამურე) ორგანიზმში, რომელსაც არა აქვს გავლილი აკლიმატიზაციის-ადგილობრივ პირობებთან ხანგრძლივი ადაპტაციის, ვითარდება მწვავე და ქრონიკული პიპოქსია, რომელიც შეიძლება დამთავრდეს ლეტალური შედეგით. საქართველოს მთაგორიან პირობებში, სადაც ადგილი აქვს ატმოსფერული წნევის მაღლივი ცვლილებების დიდ დიაპაზონს, ალპინიზმის, სამთო-სათხილამურო და სამთო ტურიზმის სპორტის სახეობებში მომუშავე პერსონალისათვის ამ პრობლემის გათვალისწინება აუცილებელი უნდა გახდეს მათ ყოველდღიურ საქმიანობაში. სხვა კლიმატურ მასასიათებლებთან ერთად წნევის რეჟიმის კავშირის დადგენის მიზნით, მთაგორიანი რელიეფის შემთხვევაში ატმოსფერული წნევა ზღვის დონეზე დაიყვანება ბარომეტრული ნიველირების ფორმულით, რომლის გამარტივებულ ვარიანტს წარმოადგენს ბაბინეს ფორმულა:

$$\Delta Z = 16000 \left(1 + 0,004t\right) \frac{P_0 - P_1}{P_0 + P_1}, \quad 1.3.1.$$

სადაც t არის ჰაერის ფენის (ΔZ) საშუალო ტემპერატურა Z_1 და Z_0 სიმაღლეებს შორის, P_0 და P_1 -ჰაერის წნევა ზღვის დონეზე და სადგურის სიმაღლეზე, ΔZ სადგურის სიმაღლე ზღვის დონიდან. იმერეთის ტერიტორიაზე ზღვის დონეზე მიყვანილი ატმოსფერული წნევის საშუალო წლიური სიდიდე სადგურებისათვის სამტკრედია (25მ), საქარა (148მ), ტყიბული (535მ), ქუთაისი (114მ) და წიფა (673მ) შესაბამისად შეადგენს: 1016,4; 1016.5; 1016.7; 1016.2; 1017.4 პპას. ზღვის დონეზე მიყვანილი ატმოსფერული წნევის საშუალო თვიური სიდიდეები კი შესაბამისად ტოლია 1020.5; 1020.8; 1021,3; 1020.4; 1022.7 პპა-ისა, ივლისში კი; 1010.8; 1010.9; 1010.9; 1010.9 პპა-ისა ზღვის დონეზე მიყვანილი ატმოსფერული წნევის საშუალო თვიური სიდიდეების ამპლი-

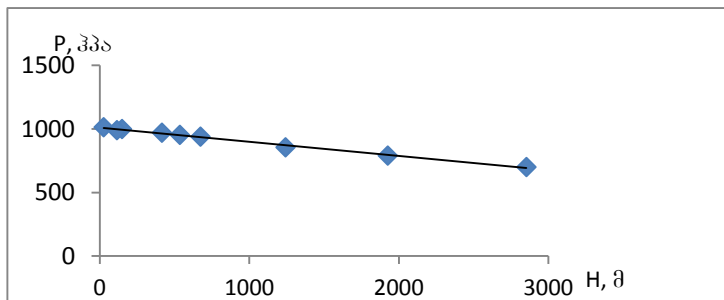
ტუდა (იანვარი-ივლისი) ამ სადგურებზე მერყეობს 9.2 (სამტრედია)-11.8 (წითა) ჰპა-ის საზღვრებში. იმერეთის ტერიტორიაზე იანვარში და ივლისში ზღვის დონეზე მოყვანილი ატმოსფერული წნევის საშუალო თვიურ სიდიდეებს შორის ასეთი განსხვავება (მაქსიმუმით იანვარში, მინიმუმით ივლისში) ძირითადად განპირობებულია ზამთრის სეზონში ციმბირის ანტიკლონით, ხოლო ზაფხულის სეზონში აზორის მაქსიმუმის გავლენით.

ატმოსფერული წნევის საშუალო თვიური მნიშვნელობები სადგურების დონეზე მოცემულია ცხრილში.3.1.

ცხრილი 13.1. ატმოსფერული წნევის საშუალო თვიური მნიშვნელობები P სადგურების დონეზე, ჰპა

დონეზე	მთვარი								
N, მ	1242	415	25	148	535	114	673	1926	2854
P, ჰპა	855	970	1013	999	953	990	939	790	700

ნახ. 13.1-ზე მოცემულია სადგურების დონეზე ატმოსფერული წნევის საშუალო წლიური მნიშვნელობების P (ჰპა) ადგილის აბსოლუტურ სიმაღლეზე (H, მ) დამოკიდებულების გრაფიკული სახე. ექსტრაპოლაციის მიზნით გამოყენებულია წნევის მნიშვნელობები: სადგურებზე ბასმარო (1926მ) და მამისონის უღელტეხილი (2854მ).



ნახ. 13.1. სადგურების დონეზე ატმოსფერული წნევის საშუალოწლიური მნიშვნელობების (P, ჰპა) ადგილის აბსოლუტურ სიმაღლეზე (H, მ) დამოკიდებულება.

დამოკიდებულება $P=f(H)$ ანალიზურად წარმოიდგინება
წრფივი ფუნქციის სახით:

$$P=1013,0 \cdot 100H,$$

1.3.2.

რომელშიც H იცვლება 0-3კმ-ის ფარგლებში, როგორც
ნახ.1.3.1.-დან ჩანს, იმერეთის სადგურებისთვის 0-1,3კმ
სიმაღლეთა დიაპაზონში ატმოსფერული წნევის საშუალო
წლიური სიდიდეები მცირდება 110პპა-ით.

1.4.ატმოსფეროს ცირკულაციური პროცესები

იმერეთის რეგიონი განთავსებულია პრაქტიკულად და-
სავლეთ საქართველოს ცენტრალურ ნაწილში. მიუხედავ-
ად თავისი ტერიტორიის სიმცირისა რეგიონში აღინიშნება
კლიმატური ზონების მრავალფეროვნება. რეგიონის პავას
ძირითადად განსაზღვრავს ჩრდილოეთით მთავარი კავკა-
სიონისა და დასავლეთით შავი ზღვის სიახლოვე. რეგიონ-
ალური თავისებურებები იწვევს ამინდის მრავალფეროვნე-
ბას სეზონების თუ დღე-დამის განმავლობაში.

გლობალურ ასპექტში რეგიონის ჰავა ძირითადად და-
მოკიდებულია ბარიული წარმონაქმნების (ციკლონი, ანტი-
ციკლონი, თხემი, დარი) არსებობაზე, ინტენსივობაზე, გა-
დაადგილების სიჩქარესა და მიმართულებაზე. ზოგადად
რეგიონის სიმცირე საშუალებას გვაძლევს ვივარაუდოთ,
რომ დასავლეთ საქართველოში მიმდინარე პროცესები
დიდად არ განსხვავდება ერთმანეთისაგან რაიონების მი-
ხედვით. ამ დასკვნის საფუძვლს იძლევა ის ფაქტი, რომ
ცირკულაციური სისტემის მასშტაბი ათასობით კილომეტ-
რია, ხოლო რეგიონებისა არა უმეტეს ასისა.

ქართველი და უცხოელი მკვევვარების აზრით საქარ-
თველოში (დასავლეთ საქართველოში) განვითარებული
სინოპტიკური პროცესების მრავალფეროვნება პირობითად
შეიძლება გაერთიანდეს 4 ძირითად ჯგუფში: ზონალური
ზემოქმედება დასავლეთის მდგენელით (W), ზონალური
ზემოქმედება აღმოსავლეთის მდგენელით (E), მერიდიანუ-
ლი ზემოქმედება სამხრეთის მდგენელით (S) და ანტიციკ-
ლონური მდგომარეობა. ჩრდილოეთით მთავარი კავკასი-
ონის ქედის არსებობა საიმედოდ იცავს იმერეთის რეგი-
ონს (დასავლეთ საქართველოს) უშუალოდ ჩრდილოეთიდ-
ან ჰაერის (ცივი მასების (ზამთარში) შემოჭრის ალბათო-

ბისაგან. შავი ზღვის სიახლოვე ამცირებს სეზონების მიხედვით მეტეორელემენტების ცვალებადობის კონტრასტულობას. ყოველი ზემოაღნიშნული ტიპი ხასიათდება ამინდის გარკვეული პირობებით. დიდი მნიშვნელობა აქვს ამინდის პირობების ჩამოყალიბებაში საკვლევ ტერიტორიაზე ატმოსფერული ფრონტის არსებობას (ან არარსებობას), მის ინტენსივობას, გადაადგილების მიმართულებას თუ განვითარების სტადიას. გარდა ფრონტალური პროცესებისა საინტერესოა ე.წ. შიდამასიური პროცესები. ასეთ დროს აღნიშნულ ტერიტორიაზე სმირად ყალიბდება მაღალი წნევის არე, რომელიც გამოირჩევა შედარებით სტაბილური ამინდით, მოწმენდილი ციო, როცა უხვი ნალექები და ძლიერი ქარი პრაქტიკულად გამორიცხულია.

შავი ზღვის სიახლოვე უზრუნველყოფს ნალექების წლიური რაოდენობას 1200-2200 მმ-ის ფარგლებში, რაც საკმარისია სასოფლო-სამეურნეო კულტურების დიდი უმრავლესობის მოსაყვანად. ასევე მაღალია ერთ დღე-დამეში მოსული ნალექების უდიდესი რაოდენობა 120-180მმ-ის ფარგლებში.

შევცდებით მოკლედ დავახასიათოდ ამინდის მრავალფეროვნების განმსაზღვრელი ძირითადი ფაქტორების ცვალებადობა სეზონების მიხედვით.

ზამთარში იმ შემთხვევაში თუ გაძლიერებულია პოლარული ანტიციკლონი, ჰაერის ცივი მასები მთავარ კავკასიონს გარს უვლის დასავლეთადან და თბილი შავი ზღვის განვლენით აღნიშნულ ტერიტორიაზე შედარებით ნაკლებად ცივ და მეტად ნოტიონ ჰაერის მასების სახით შემოიჭრება. ასეთ დროს მოსალოდნელია მთა-ბარის ქარების გაძლიერება, ნალექების ხანგრძლივობისა და ინტენსივობის მატება, სველი თოვლი და ეპიზოდური წაყინვები. თუ გაძლიერდა ციმბირის ანტიციკლონის დარი მისი დასავლეთის და სამხრეთ-დასავლეთის მიმართულებით, მაშინ ტერიტორიაზე იზრდება აღმოსავლეთის პროცესების აქტივობა, ჰაერის ტემპერატურა იმატებს, მოწმენდილი დღეების ალბათობა იზრდება და ძლიერდება აღმოსავლეთის (ფიონური) ქარები. თუ აღნიშნულ ტერიტორიაზე ადგილი ექნება ჰაერის მასების სამხრეთიდან ან სამ-

ხრეთ-დასავლეთიდან გადაადგილებას, უმეტესად დაიმზირება მოღრუბლული და ნალექიანი დღეები.

გაზაფხულზე შედარებით მცირდება ციმბირის ანტიკლონის გავლენა და იზრდება ხმელთაშუა ზღვის ციკლონების აქტივობა. საშუალო თვიური ტემპერატურა იზრდება 3-4⁰-ით, რაც ხელს უწყობს მცენარეული საფარის გააქტიურებულ ზრდას. შავი ზღვის გავლენა შედარებით მცირდება. მცირდება ნალექების თვიური ჯამიც. იზრდება ნისლის წარმოქმნის ალბათობა, მაგ. ტყიბულის რაიონში თვეში 2-3დღე, ხოლო უდიდესი 10-11 დღემდე. ძლიერდება დასავლეთის ქარი (გარდა ტყიბულისა), შეიძლება ადგილი ჰქონდეს წაყინვის და ელჭექის მოვლენებს. თუ ძლიერდება ციმბირის ანტიკლონის გავლენა, მაშინ რეგიონში ადგილი აქვს უმეტესად წყნარი, უღრუბლო, მზიანი ამინდის ჩამოყალიბებას. ასეთ დროს სასოფლო-სამეურნეო კულტურებისათვის სახიფათოა რადიაციული ტიპის წაყინვები, რომლებიც შეიძლება განვითარდეს მოწმენდილი ცის, სუსტი ქარის და დაბალი ტემპერატურის შემთხვევაში.

ზაფხულში მაღლივი ფრონტალური ზონა მიმართულია სამხრეთ-დასავლეთიდან ჩრდილო-აღმოსავლეთისაკენ. ამ სეზონში ხდება მერიდიანული პროცესების შედარებით გააქტიურება. სუსტდება ციკლონების გავლენა, მცირდება ფრონტალური პროცესების აქტიურობა, მცირდება შავი ზღვის გავლენა. ჰაერის მასები ძირითადად გადაადგილდება დასავლეთიდან და სამხრეთ-დასავლეთიდან. წინა სეზონთან შედარებით ამ დროს იზრდება სხვაობა მოსული ნალექების რაოდენობა და ინტენსივობა, წნევა იზრდება, იზრდება სხვაობა მეტეორელემენტების დღის და დამის მნიშვნელობებს შორის, მცირდება ძლიერი ქარების ალბათობა, თუმცა მატულობს მთა-ბარის და ფიონური ქარების სიხშირე და ინტენსივობა, შედარებით იზრდება მოწმენდილი ცის ალბათობა და ა.შ.

შემოდგომაზე შავი ზღვის გავლენა რეგიონზე შედარებით იზრდება. მატულობს დასავლეთიდან ციკლონების გადაადგილების ალბათობა, რასაც თან სდევს ნალექების რაოდენობისა და ინტენსივობის ზრდა, ღრუბლიან და მოწმენდილი ცის პირობების ხშირი ცვლა, თვიური ტემპე-

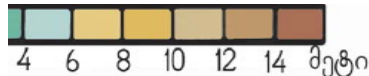
რატურის საგრძნობი შემცირება, პირველი წაყინვები (უმ-ეტესად ადგექციური ტიპისა). მცირდება შტილისა და მოწმენდილი ცის ალბათობა, იზრდება როგორც საშუალო, ისე უდიდესი ნისლიან დღეთა რაოდენობა. ცალკე შეიძლება განვიხილოთ შემთხვევა, როცა ძლიერდება ციმ-ბირის ანტიციკლონი და მისი დარი მიმართულია სამ-ხრეთ-დასავლეთის ან დასავლეთის მიმართულებით. ამ დროს რეგიონში მკვეთრად იზრდება ფიონების ალბათობა მათვის დამახასიათებელი პაერის ტემპერატურის ზრდით, ფარდობითი სინოტიფის მკვეთრი შემცირებით, აღმოსავლეთის ქარების საგრძნობი ზრდით, განსაკუთრე-ბით რიონის ხეობაში (ქუთაისში).

ძირითადი მეტეოროლოგიური ელემენტების საშუალო და უკიდურესი მნიშვნელობები, კლიმატური და განახლებადი რესურსები, ამინდის საშიში მოვლენები და სხვა სპეციფიკური პირობები უფრო დეტალურად განხილულია ამ კრებულის მომდევნო პარაგრაფებში.

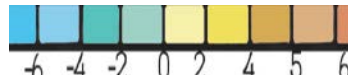
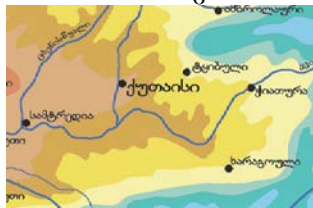
თავი II. კლიმატის ძირითადი გეოგრაფიული ბანაზილების კანონზომის შემთხვევა

2.1. ჰაერის ტემპერატურა

იმერეთის რეგიონის ტემპერატურული რეჟიმი კარგად აისახება ნახ. 2.1.1.-2.1.5.-ზე წარმოდგენილ იზოთერმების რუკაზე.



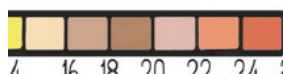
ნახ. 2.1.1. ჰაერის საშუალო წლიური ტემპერატურა



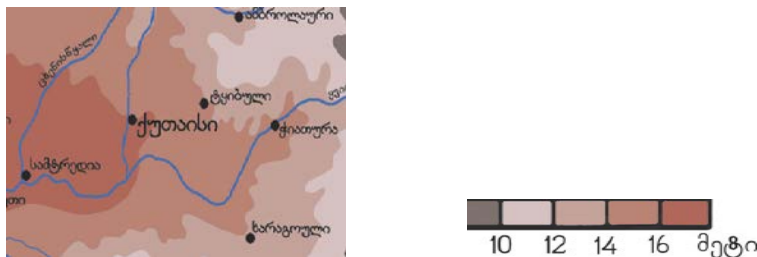
ნახ. 2.1.2. ჰაერის საშუალო ტემპერატურა (იანვარი)



ნახ. 2.1.3. ჰაერის საშუალო ტემპერატურა (აპრილი)



ნახ. 2.1.4. ჰაერის საშუალო ტემპერატურა (ივლისი)



ნახ. 2.1.5. ჰაერის საშუალო ტემპერატურა (ოქტომბერი)

სეზონების ცენტრალური თვეებისათვის და საშუალო წლიური ტემპერატურისათვის შედგენილი იზოთერმების რუკებიდან ვლინდება ტემპერატურის განაწილების კონტრასტული ხასიათი, რაც რეგიონის რელიეფის მრავალფეროვნებით აიხსნება.

აღნიშნული რუკები საშუალებას გვაძლევს ავხსნათ ჰაერის სეზონური და წლიური ტემპერატურების განაწილების გეოგრაფიული კანონზომიერებები იმერეთის რეგიონში.

ჰაერის საშუალო წლიური ტემპერატურა იმერეთის ტერიტორიაზე 4° -დან 16° -მდე იცვლება. უდიდესი ტემპერატურები აღინიშნება კოლხეთის დაბლობზე. აღმოსავლეთი ადგილის სიმაღლის გაზრდასთან დაკავშირებით ტემპერატურა კლებულობს და ლიხის ქედის დასავლეთ ფერდობებზე 5° -მდე. ჰაერის ტემპერატურის ცვლილების ასეთი კანონზომიერებები ძირითადად შენარჩუნებულია ყველა თვესა და სეზონში, განსხვავებულია მხოლოდ ტემპერატურის რაოდენობრივი მაჩვენებლები.

იანვრის საშუალო თვიური ტემპერატურა იმერეთის ტერიტორიაზე -6°C -დან 6° C -მდე ფარგლებში მერყეობს.

უდიდესი ტემპერატურები აგრეთვე კოლხეთის დაბლობზე აღინიშნება. აღმოსავლეთი ადგილის სიმაღლის გაზრდასთან დაკავშირებით ტემპერატურა კვლავ კლებულობს. ტემპერატურა კლებულობს ჩრდილოეთის და სამხრეთის მიმართ ულებითაც და რაჭის ქედის სამხრეთ ფერდობზე მინუს 2- 0° -ს შეადგენს, ხოლო ლიხის ქედის დასავლეთ ფერდობებზე მინუს 4- 6° -მდე კლებულობს. აპრილში იმერეთის მთელ ტერიტორიაზე დადებითი ტემპერატურა დაიკვირვება და იგი 4° -დან 15° -მდე მერყეობს. ისევე, როგორც იანვრის თვეში, ამჟამადაც ყველაზე მა-

დალი ტემპერატურა კოლხეთის დაბლობზე აღინიშნება, ხოლო ყველაზე დაბალი ტემპერატურები ლიხის ქედის მარალმთიან ადგილებშია ივლისის თვეში ჰაერის საშუალო ტემპერატურა 14^0 -დან 24^0 -მდე იცვლება. ყველაზე მეტი სითბო იმერეთის დასავლეთ და ცენტრალურ ნაწილებზე, ანუ კოლხეთის დაბლობზე მოდის. ჩრდილოეთით, რაჭის ქედის მიმართულებით ტემპერატურა ეცემა 20^0 C-მდე, აღმოსავლეთით, კი სიმაღლის ზრდასთან ერთად 18^0 C-მდე, ხოლო სამხრეთ-დასავლეთ ფერდობებზე 14^0 C-მდე მცირდება, ოქტომბრის თვის ტემპერატურა საკმაოდ დიდ დიაპაზონში 8^0 და 18^0 -ფარგლებში მერყეობს. ამ თვეშიც შენარჩუნებულია ძირითადი გეოგრაფიული კანონზომიერება-ტემპერატურის თანდათანობითი დაცემა დასავლეთიდან აღმოსავლეთისაკენ, ადგილის სიმაღლის ზრდასთან ერთად.

ესტრემალურ ტემპერატურათა მნიშვნელობანი რეგიონში საქმაოდ დიდ დიაპაზონში მერყეობს. რეგიონში აბსოლუტური მაქსიმალური ტემპერატურების წლიური სიდიდეები 32^0 C-დან 42^0 C-მდე იცვლება. ამ შემთხვევაშიც კარგად არის გამოხატული სიმაღლესა და ტემპერატურას შორის კავშირი. კერძოდ, ტემპერატურები კოლხეთის დაბლობიდან აღმოსავლეთის, აგრათვე ჩრდილოეთის და სამხრეთის მიმართულებით კლებულობს.

კოლხეთის დაბლობის აღმოსავლეთ ნაწილში და რიონის ხეობაში ჰაერის ტემპერატურის აბსოლუტური მაქსიმუმი 42^0 -მდე აღწევს. 41^0 -ია მაქსიმალური ტემპერატურა კოლხეთის დაბლობის დანარჩენ ტერიტორიაზე, ხოლო აღმოსავლეთით ჰაერის მაქსიმალური ტემპერატურა 40^0 -ზე დაბალია, ხოლო იმერეთის მთისწინეთში და მთებში 35^0 -ზე მაღლა არ აღის.

ჰაერის აბსოლუტური მინიმალური ტემპერატურის განაწილებას თითქმის ანალოგიური ხასიათი აქვს, ყველაზე მაღალი რეგიონის დასავლეთ ნაწილშია და აბსოლუტური მინიმუმი არ ეცემა მინუს 18^0 -ზე დაბლა. იმერეთის ცენტრალური ნაწილში ტემპერატურა მინუს 20^0 -მდე, აღმოსავლეთით 25^0 -მდე, ხოლო მთისწინეთში 30^0 -ზე დაბლა ეცემა.

2.2. ჰაერის სინოტივე

სინობრივე კლიმატის ერთ-ერთი უმნიშვნელოვანესი ელგუმენტია. მისი ძირითადი მახსიათებლებია წყლის ორთქლის პარციალური წნევა და ჰაერის შეფარდებითი სინობრივე.

წყლის ორთქლის პარციალური წევა, ისევე როგორც პაერის ტემპერატურა, წლიურ სელაში უმცირეს მნიშვნელობებს ზამთარში, ხოლო უდიდესს –ზაფხულში აღწევს. ამასთანავე ტემპერატურის მსგავსად სიმაღლის ზრდით პარციალური წევა კლებულობს, რაც კარგად ჩანს ცხრილ 2.2.1-ის მონაცემებიდან.

ცხრილი 2.2.1. ჰაერის წყლის ორთქლის პარგვიაღმური წნევა ჰპა)

መ ፩ ዓ												የዚህ
I	II	III	IV	V	VI	VII	VIII	IX	X	XI	XII	
ጃጋጭ ሰው, 114(፩)												
6.0	6.2	7.0	9.6	13.5	17.6	21.6	21.4	17.4	12.4	9.0	6.8	2.4
ሳሙኤል ጥምና, 28(፩)												
6.6	6.8	7.7	10.1	14.4	18.6	22.3	22.5	18.5	13.4	9.8	7.3	3.2
ጥቅምት ማለያ, 593(፩)												
5.4	5.5	6.2	8.5	12.2	15.7	19.2	18.7	15.0	10.9	7.8	6.0	0.9
ማተሪ ሰአድ ቀንጧት, 1242(፩)												
4.3	4.4	5.0	6.8	10.0	12.5	15.2	14.8	12.1	8.9	6.5	4.8	8.8

ამავე ცხრილის ანალიზი საშუალებას გვაძლევს დავასკნათ, რომ წლის განმავლობაში პარციიალური წევის საშუალო წლიური მნიშვნელობა იცვლება რეგიონის ტერიტორიაზე იცვლება 8 პა-დან 12-13 პა-მდე ფარგლებში. ამრიგად, პარციალური წევის საშუალო წლიური მნიშვნელობის ამპლიტუდა აღემატება 4 პა-ს, რაც საქმაოდ მაღალი მნიშვნელობაა. მაგალითისათვის მოვიყვანო, რომ შიდა ქართლისათვის ეს სიღიძე არ აღემატება 2 პა-ს.

იანვარში წელის ორთქლის პარციალური წევა საკმაოდ მაღალია და მერყეობს 4-დან 7 პარტარგლებში. ისევე, როგორც ტემპერატურა ის უდიდესია კოლხეთის დაბლობზე. აღმოსავლეთით, აგრეთვე ჩრდილოეთი და სამხრეთი აღგილის სიმაღლის ზრდასთან ერთად ის მცირდება.ივლისში რეგიონის ტერიტორიაზე ჰაერის პარციალური წევა აგრეთვე მაღალია და 15-22 პარტარგლებში იცვლება. ის უდიდესია აგრეთვე კოლხეთის დაბლობზე, ხოლო უმცირესია მთებში.

გაზაფხულზე ყველა მეტეოროლოგიური სადგურისათვის შეიმჩნევა პარციალური წნევის ზრდა თვითან-თვემდე 3-4პა-ით. ზაფხულის შემდეგ პარციალური წნევა მონოტონურად ეცემა ყველა თვისა თუ სადგურისათვის ისევ 2,0-3,0პა-ით, შემოდგომის თვეებში ეს სხვაობა 5 პა-ს დღწეს.

პაერის სინოტივის აგრეთვე მნიშვნელოვანი მახასიათებელია შეფარდებითი სინოტივე. ის წარმოადგენს პაერში შემავალი წელის ორთქლის პარციალური წნევის შეფარდებას გაჯერებული წელის ორთქლის პარციალურ წნევასთან იმავე ტემპერატურაზე და იზომება პროცენტებში (%). ეს პარამეტრი ასევე წარმოადგენს კლიმატის ცვალებად ელემენტს. დამოკიდებულია პაერის ტემპერატურაზე, ცირკულაციურ პროცესებზე, ღრუბლიანობაზე, ქარის რეჟიმზე, ოროგრაფიაზე და ა.შ. როგორც ბევრ სხვა მეტეოროლოგიურის, ფარდობით ტენიანობას ახასიათებს სეზონური სვლა, თუმცა მნიშვნელოვნად დამოკიდებულია ადგილობრივ პირობებზე. მაგალითად კოლხეთის დაბლობზე ის უდიდესია ზაფხულში და უმცირესი ზამთარში, ხოლო მთებში (მთა-საბუჟეთი) მაქსიმუმს ზამთარში აღწევს (ცხრილი 2.2.2.).

ცხრილი 2.2.2. პაერის ფარდობითი ტენიანობა (%)

თ ვ ე												წელი
I	II	III	IV	V	VI	VII	VIII	IX	X	XI	XII	
ქუთაისი, 114(მ)												წელი
68	68	69	66	72	72	76	75	74	71	65	64	70
სამტრედია, 28(მ)												
76	75	73	72	73	75	78	80	81	79	72	72	76
ტყიბული, 593(მ)												
73	72	72	69	70	74	79	76	74	73	68	62	72
მთა საბუჟეთი, 1242(მ)												
86	86	84	79	80	82	85	82	84	84	85	84	83

შეფარდებითი სინოტივის დღე-დამურ მსვლელობას, როგორც მოსალოდნებლი იყო, უმცირესი მნიშვნელობა აღინიშნება შეკადებისას, რაც აიხსნება ტემპერატურის შეადარებით მაღალი ფონით.

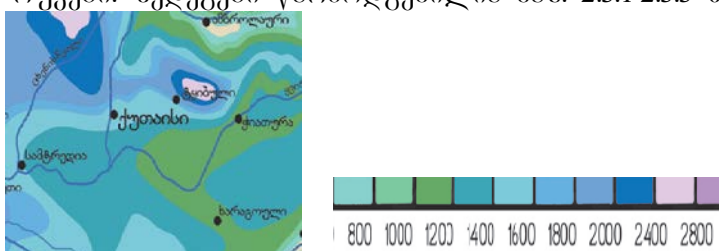
პაერის სინოტივის მნიშვნელოვანი მახასიათებელია დღეთა რიცხვი სინოტივის სხვადასხვა მნიშვნელობით. როდესაც შეფარდებითი სინოტივე ნაკლებია 30%-ზე, მას მშრალ დღეს უწოდებენ. ასეთი დღეთა რიცხვი რეგიონის ტერიტორიაზე 8-50-ია, მაქსიმუმით კოლხეთის დაბლობზე და მინიმუმით მთებში. შედარებით მეტია ნოტიო დღეთა რიცხვი, როდესაც შეფარდებითი სინოტივე $\geq 80\%$. ასეთი დღეები შეადგენს 67-161-ს, შესაბამისი მინიმუმის და მაქსიმუმის ადგილები შეცვლილია- მინიმუმ კოლხეთის დაბლობზე, ხოლო მაქსიმუმი- მთებში (ცხრილი 2.2.3.)

**ცხრილი 2.2.3. მშრალი (შეფარდებითი სინოტივე $\leq 30\%$)
და ნოტიო ($\geq 80\%$) დრეთა რიცხვი**

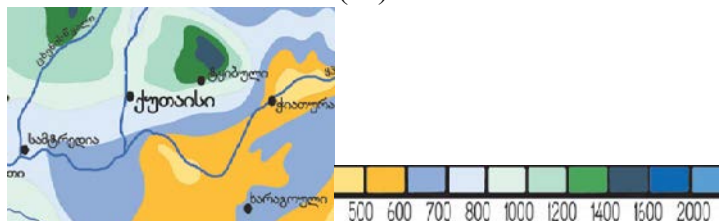
თ ვ ე (დღეთა რიცხვი)												წელი
ქუთაისი [მშრალი ($\leq 30\%$) - ნოტიო ($\geq 80\%$)]												
3.5	3.7	5.8	7.8	5.8	3.9	2.1	3.6	3.6	2.9	3.4	4.8	50.9
9.1	8.1	8.0	6.7	5.1	3.6	4.3	3.9	4.6	5.4	6.2	7.2	72.2
სამტრედა [მშრალი ($\leq 30\%$) - ნოტიო ($\geq 80\%$)]												
1.2	1.0	2.7	4.7	3.0	1.4	0.7	0.9	0.8	0.4	1.2	1.8	19.8
9.5	7.6	7.4	5.6	4.2	3.0	3.0	3.7	4.6	5.6	6.1	7.6	67.9
ტყიძული [მშრალი ($\leq 30\%$) - ნოტიო ($\geq 80\%$)]												
2.9	2.5	3.3	6.6	4.0	2.5	1.2	2.0	1.7	2.8	4.0	4.2	37.7
10.7	9.2	9.6	8.4	6.9	5.9	7.2	5.8	5.6	6.5	6.8	8.8	91.4
მთა საბუეთი [მშრალი ($\leq 30\%$) - ნოტიო ($\geq 80\%$)]												
0.8	0.6	0.7	2.2	0.5	0.2	0.2	0.9	0.3	0.5	0.8	0.8	8.5
21.6	18.1	16.4	11.3	10.0	9.3	11.3	8.5	8.3	12.3	16.3	18.3	161.7

2.3. ატმოსფერული ნალექები

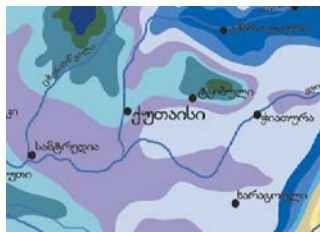
იზოთერმების რუკების მსგავსად შედგენილი იყო ატმოსფერული ნალექების ჯამების რუკებიც, მათ შორის ნალექების წლიური ჯამების, აგრეთვე წლის ცივი და თბილი პერიოდების განმავლობაში მოსული ნალექების ჯამების რუკები. შედეგები წარმოდგენილია ნახ. 2.3.1-2.3.3-ზე.



ნახ. 2.3.1. ატმოსფერული ნალექების წლიური ჯამები (მმ)



ნახ. 2.3.2. წლის თბილი პერიოდის ატმოსფერული ნალექები მმ



ნახ. 2.3.3. წლის ცივი პერიოდის ატმოსფერული ნალექები მმ

ნახ. 2.3.1-დან ჩანს, რომ ტერიტორიაზე ნალექების წლიური ჯამები მერყეობს 1000-დან 2800მმ-მდე ფარგლებში. უმცირესი ნალექები მოდის რაჭის ქედის მთისწინეთში. მთებში უფრო მეტი ნალექები მოდის, უდიდესი რაოდენობა აღინიშნება რეგიონის ჩრდილო-დასავლეთ ნაწილში, მდინარე ცხენისწყლის აუზში. ნალექების ჯამების განაწილების ძირითადი გეოგრაფიული კანონზომიერებაა მათი ზრდა სამხრეთიდან ჩრდილოეთის მიმართულებით.

წლის თბილი პერიოდის განმავლობაში მოსული ნალექების რაოდენობა უმთავრესად აღემატება ცივ პერიოდში მოსული ნალექების რაოდენობას და მერყეობს 500მმ-დან 1600მმ შორის. ყველაზე მცირე ნალექი საჩხერის რაიონში და ყვირილას ზემო წელში აღინიშნება. ნალექების მაქსიმუმით იმერეთის ჩრდილო დასავლეთ ნაწილი, ისევ ცხენისწყლის აუზი და რაჭის ქედის სამხრეთ ფერდობი გამოიჩინა. სამხრეთით, მესხეთის ქედის მიმართულებით ნალექების რაოდენობა კლებულობს და 500 მმ-მდე ეცემა.

წლის ცივი პერიოდის განმავლობაში მოსული ნალექების რაოდენობა 500-დან 1600მმ-ის ფარგლებში მერყეობს. ნალექების სიმცირით საჩხერის რაიონი და მდ. ყვირილას ზემო წელი გამოიჩინა, სადაც მოსული ნალექების რაოდენობა 500მმ-არ აღემატება. კოლხეთის დაბლობზე მოსული ნალექების რაოდენობა დაახლოებით 800-დან 1000 მმ-ს შორისაა, ხოლო უდიდესი ნალექებით კვლავ ცხენისწყლის აუზი და რაჭის ქედის სამხრეთ ფერდობი გამოირჩინა.

ნალექიან დღეთა რიცხვი იმერეთის რეგიონში 150–180 დღეს შორის მერყეობს. უმცირესი დღეთა რიცხვი კოლხეთის დაბლობზეა, ხოლო უდიდესი- აღმოსავლეთით,

მთისწინა და მთიან რაიონებში. განსაკუთრებით მნიშვნელოვანია იმ დღეთა რიცხვი, როდესაც ნალექების რაოდენობა 30.0 მმ-ზე მეტია.

ცხრილი 2.3.1. აგმოსფერული ნალექების
ძახასიათებლების წლიური სკოა

თ ვ ე ბ ა												ა ღ მ ს
I	II	III	IV	V	VI	VII	VIII	IX	X	XI	XII	
ქუთაისი												
ნალექები												
174	168	136	112	92	105	115	95	124	143	156	166	1586
დღეთა რიცხვი												
14.1	14.0	15.0	12.4	11.9	11.7	12.2	10.8	10.9	10.9	10.9	13.5	148
ხანგრძლივობა												
163	138	160	122	97	72	66	56	73	106	100	139	292
სამტრედია												
ნალექები												
169	159	116	85	68	96	106	97	135	159	166	170	526
დღეთა რიცხვი												
14.7	13.9	14.3	12.5	11.9	11.8	11.8	10.9	11.5	11.4	11.5	13.9	50
ხანგრძლივობა												
173	154	168	116	77	59	61	57	79	114	105	140	303
ტყიბული												
ნალექები												
212	179	188	158	148	190	193	154	162	178	177	198	2137
დღეთა რიცხვი												
15.6	15.2	16.9	15.2	14.4	15.1	17.2	14.3	13.1	12.9	12.2	14.0	176
მთა-საბულოი												
ნალექები												
-	-	-	118	104	108	77	68	81	128			
დღეთა რიცხვი												
17.1	15.7	17.8	14.7	17.5	15.9	14.9	12.7	12.6	14.6	13.4	14.0	181
ხანგრძლივობა												
195	195	205	135	106	81	88	62	71	124	132	157	551

ასეთი სიდიდის ნალექები უმთავრესად წლის თბილ პერიოდში იცის და ხშირად კატასტროფულ ხასიათს ატარებს. ასეთი უსგნალექიან დღეთა რიცხვი იმერუში

წელიწადში 1 დან 28 დღეა. ნალექების, დღედამური მაქ-სიმუმის ტერიტორიული განაწილება ნალექების მახასიათ-ებლების განაწილების საერთო კანონზომიერებას არ ეჭ-ვემდებარება, იგი ლოკალურ ხასიათს ატარებს და, როგ-ორც წესი, ერთდროულად დიდ ფართობზე არ ვრცე-ლდება.

შეგავსი სურათია ნალექებიან ხანგრძლიობის ტერი-ტორიულ განაწილებაში. ნალექების წლიური ხანგრძლივობა უმცირესია აგრეთვე კოლხეთის დაბლობზე და შეადგენს დაახლოებით 1300სთ-ს. მთა-საბუჟეთში კი ნალე-ქების ხანგრძლივობა 1500სთ-ს აღემატება.

წლის განმავლობაში უდიდესი ნალექი მოდის შემოდ-გომა – ზამთრის თვეებში. ნალექების მაქსიმუმი იანვარ-შია.

ყველაზე მშრალია გაზაფხულის თვეები, შიდა რაიონ-ებში და დაბლობ ადგილებში უმცირესი ნალექი ზაფ-ხულში მოდის. ნალექების მინიმუმი დაიკვირვება ძირითა-დად მაისის თვეში, ზოგგან ივნისში, გამონაკლისია ხა-რაგაული, სადაც ნალექების მინიმუმი მოდის აგვისტოს თვეში.

2.4 თოვლის საფარი

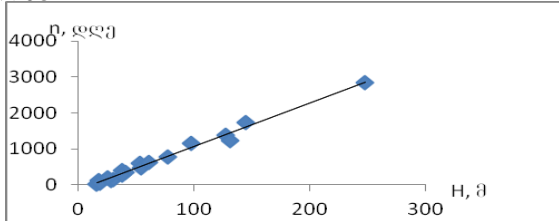
როგორც ცნობილია, თოვლის საფარის არსებობის ხანგრძლივობის მიხედვით მთაგორიანი რაიონებისათვის გამოყოფება სამ ზონას: მუდმივი თოვლის საფარის, სეზო-ნური მდგრადი თოვლის საფარის და არამდგრადი თოვ-ლის საფარის ზონებს. მთიან რაიონებში ადგილის აბსო-ლუტური სიმაღლის ზრდისას არამდგრადი თოვლის სა-ფარის ზონა იცვლება მდგრადი თოვლის საფარის ზო-ნით, ხოლო ეს უკანასკნელი მუდმივი თოვლის საფარის ზონით, რაც განპირობებულია ტემპერატურის შემცირე-ბით და საერთო ნალექების რაოდენობაში მყარი ნალექ-ების ზრდით. თოვლის საფარის გერტიკალური განაწილე-ბისა და არსებობის ხანგრძლივობის მიხედვით იმერეთის ტერიტორიაზე გამოიყოფა ორი ზონა: არამდგრადი და მდგრადი თოვლის საფარის ზონა. არამდგრადი თოვლის საფარის ზონა ვრცელდება ზღვის დონიდან 600მ სიმაღ-ლემდე, მდგრადი თოვლის საფარის ზონა კი მეტრზე ზე-გოთ 2862 მეტრამდე (ამ სიმაღლისაა იმერეთის ტერიტორი-

ის უმაღლესი მწვერვალი). ამრიგად, მდგრადი თოვლის საფარის ზონაში მოქცეულია დაბალი მთის ზემო ნაწილი (600 მ-ზე ზევით). შეამთა და მაღალი მთა 2862 მეტრ ნიშნულამდე. იმერეთის რელიეფის პიპსომეტრია და როული ოროგრაფია, ტერიტორიის შემომსაზღვრული რაჭის (ჩრდილოეთიდან), მესხეთის (სამხრეთიდან) და ლიხის (აღმოსავლეთიდან) ქედების ორიენტაცია და შავი ზღვის გავლენა განაპირობებებს თოვლის საფარის ფორმირების და არსებობის რეჟიმული მახასიათებლების თავისებურებებს. იმერეთის დაბლობ ტერიტორიაზე გურიის ანალოგიურად თოვლის საფარის გაჩენის საშუალო თარიღია იანვრის პირველი დეკადა, 1გმ სიმაღლეზე პირველი დეკადა, 2გმ სიმაღლეზე ნოემბრის პირველი დეკადა, 2გმ-ზე ზევით პირველი დეკადა.

იმერეთის ტერიტორიის წინამთაში თოვლის საფარის არსებობის ხანგრძლივობა საშუალოდ შეადგენს 40 დღეს. ადგილის აბსოლუტური სიმაღლის მატების სინქრონულად თოვლის საფარის არსებობის ხანგრძლივობა იზრდება. იმერეთის ტერიტორიის შემომფარგვლელი რაჭის, ლიხისა და მესხეთის ქედების ერთობლიობა ხასიათდება რთული ოროგრაფიით, პიფსომეტრული ნიშნების ფართო სპექტრით და მთიანი რელიეფის ელემენტების (ხეობები, ფერდობები დას ხვ.) ატმოსფეროს ცირკულაციური პროცესების (რაც მნიშვნელოვანია შავი ზღვის აკვატორიიდან წამოსული ნოტიონ პარის მასების) მიმართ განსხვავებული ორიენტაციით, რაც დიდ გავლენას ახდენს თოვლის საფარის განაწილების თავისებურებებზე. ნახ. 2.4.1.-ზე წარმოდგენილია წელიწადში თოვლის საფარი დღეების რაოდენობის ადგილის აბსოლუტურ სიმაღლეზე დამოკიდებულების $n=f(H)$ გრაფიკი.

როგორც ამ ნახაზიდან ჩანს, იმერეთის ტერიტორიაზე ადგილის აბსოლუტური სიმაღლის ზრდის სინქრონულად აღინიშნება თოვლის საფარით დღეების რაოდენობის მატება. არამდგრადი თოვლის საფარის ზონაში (დაბლობი ტერიტორია წინამთით 700მ სიმაღლემდე) დღეთა რიცხვი თოვლის საფარით წელიწადში საშუალოდ მერყეობს 15-60 დღის ფარგლებში, დაბალი მთის ზედა საზღვარზე იგი აღწევს 90-ს, შეა მთის (1-2გმ) ზონაში კი მატულობს 90-

დან 180-მდე, მაღალი მთის ზონაში კი (მწვერვალი ლებეური, იმერეთის ტერიტორიის უმაღლესი ნიშნული 2862მ) იგი აღწევს 240-ს.



ნახ. 2.4.1. თოვლის საფარის დღეთა რაოდენობის დამოკიდებულება ადგილის სიმაღლეზე $n=f(H)$ წელიწადი.

თოვლის საფარიან დღეთა რიცხვის ვერტიკალური გრადიენტი იმერეთის ტერიტორიაზე შეადგენს: დაბალი მთის ზონაში (0-1კმ) 8 დღეს 100მ სიმაღლეზე, შეა მთის ზონაში (1-2კმ)-9დღეს 100მ სიმაღლეზე, მაღალი მთის (2-3კმ) ზონაში კი 8 დღეს 100მ სიმაღლეზე. დამოკიდებულება $n=f(H)$, რომელშიც n დღეთა რაოდენობა წელიწადში თოვლის საფარით, H ადგილის აბსოლუტური სიმაღლე, ანალიზურად წარმოიდგინება წრფივი ფუნქციის სახით:

$$n=13,3+83,3H$$

2.4.1.

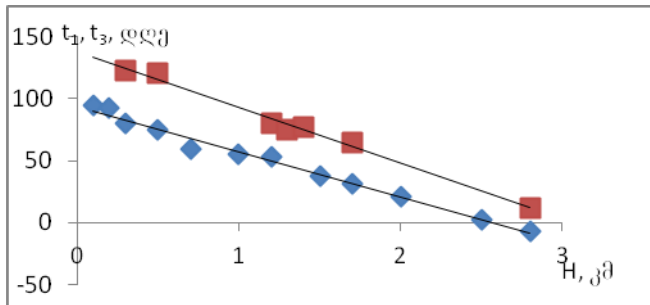
ამ დამოკიდებულებაში H იცვლება 0.1-2.9კმ-ის ფარგლებში. აღნიშნული გამოსახულებით იმერეთის ტერიტორიის ნებისმიერი პუნქტისათვის გამოითვლება თოვლის საფარიან დღეთა რაოდენობა წელიწადში.

თოვლის საფარის გაჩენის საშუალო თარიღის \bar{t}_1 და მდგრადი თოვლის საფარის წარმოქმნის საშუალო თარიღის \bar{t}_3 ადილის აბსოლუტურ სიმაღლეზე დამოკიდებულებების გრაფიკული სახეები წარმოდგენილია ნახ. 2.4.2-ზე, ხოლო თოვლის საფარის გაქრობის \bar{t}_2 და მდგრადი თოვლის საფარის რღვევის \bar{t}_4 საშუალო თარიღების დამოკიდებულებები ადგილის აბსოლუტურ სიმაღლეზე მოცემულია ნახ. 2.4.3-ზე.

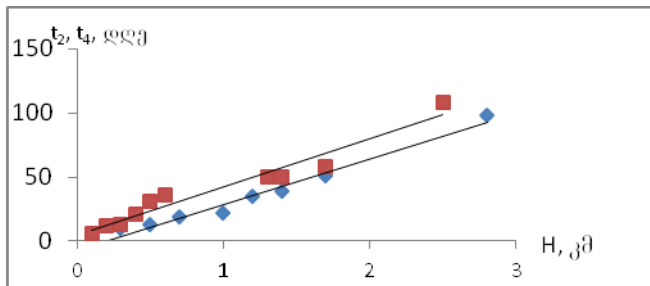
დამოკიდებულებას $\bar{t}_1=f(H)$ აქვს შემდეგი ანალიზური სახე:

$$\bar{t}_1=100,5-35,0H$$

2.4.2.



ნახ. 2.4.2. ოოვლის საფარის გაჩენის საშუალო თარიღის (\blacklozenge -1) და მდგრადი ოოვლის საფარის წარმოქმნის საშუალო თარიღის (\blacksquare – 2) ადგილის აბსოლუტურ სიმაღლეზე -H დამოკიდებულება.



ნახ. 2.4.3. მდგრადი ოოვლის საფარის რღვევის საშუალო თარიღის (\blacklozenge -2) და ოოვლის საფარის გაქრობის საშუალო თარიღის (\blacksquare – 1) ადგილის აბსოლუტურ სიმაღლეზე დამოკიდებულება.

ამ გამოსახულებაში H მოცემულია კბ-ზი, \bar{t}_1 კი დღუები. დღეების რაოდენობა ნახ. 2.4.2.-ზე აითვლება ორდინატების დერძზე შესაბამისი თარიღების შესატყვისად.

(2.4.2.) გამოსახულების თანახმად დაბალი მთის ზონის ზედა საზღვარზე ($H=1,5\vartheta$) $\bar{t}_1=66$ დღესუადა საზღვარზე ($H=2,5\vartheta$) $\bar{t}_1=32$ დღეს, 2,5კმიმაღლებელ დღეს, რაც შესაბამისად შექსაბამება 25 ნოემბერს ($H=1,5\vartheta$), 20 ოქტომბერს ($H=2,5\vartheta$ და 5 ოქტომბერს ($H=2,5\vartheta$)), კ.ი. საკვლევრიტორიაზე ოოვლის საფარის გაჩენის საშუალო

თარიღით მატებისას გებაის საწყისიდან (დაბლობი ზონაში) პირველი დეკადის კენ (H=2,5 კმ).

მდგრადი თოვლის საფარის წარმოქმნის საშუალო თარიღის \bar{t}_3 ადგილის აბსოლუტურ სიმაღლეზე დამოკიდებულება $\bar{t}_3=f(H)$ ასევე წარმოიდგინება წრფივი ფუნქციის სახით:

$$\bar{t}_3=134,0-38,0H$$

2.4.3.

თარიღების და მათი შესაბამისი დღეების რაოდენობის ათვლა ასევე ხდება ნახ. 2.4.2.-ის ორდინატთა დერძზე (წრფე 2). როგორც ნახ. 2.4.2-დან ჩანს, დაბალი მთის ზედა საზღვარზე ($H=1\text{ კმ}$) $\bar{t}_3=96$ დღეს, რაც შესაბამება 25 დეკადერსკმ სიმაღლეზე $\bar{t}_3=56$ დღესაცაბამებანატთა დერძზე 17 ნოემბერი.

მდგრადი თოვლის საფარის რღვევის საშუალო თარიღების \bar{t}_4 დამოკიდებულებას ადგილის აბსოლუტურ სიმაღლეზე H, ასევე აქვს წრფივი ფუნქციის სახე:

$$\bar{t}_4=41,0H-18,0$$

2.4.4.

როგორც ნახ. 2.4.3.-დან ჩანს, 1კმ სიმაღლეზე მდგრადი თოვლის საფარის რღვევის საშუალო თარიღია მარტის ბოლო დეკადა, 2კმ სიმაღლეზე—მაისის პირველი დეკადა, 3კმ სიმაღლეზე—ივნისის პირველი დეკადა.

თოვლის საფარის გაქრობის საშუალო თარიღის \bar{t}_2 ადგილის აბსოლუტურ სიმაღლეზე დამოკიდებულება ასევე წარმოიდგინება წრფივი ფუნქციის სახი:

$$\bar{t}_2=33,0H+9,0$$

2.4.5.

ამ გამოსახულების თანახმად დაბალი მთის ზონის ზედა საზღვარზე ($H=1\text{ კმ}$), $\bar{t}_2=42$ დღეს, რომელსაც ორდინატთა დერძზე შესაბამება 10 აპრილი. შესაბამება 10 მაისი. მოცემული გრაფიკების და ანალიზური გამოსახულებების დახმარებით საკმარის სიზუსტით და ოპერატიულად შესაძლოა იმერეთის ნებისმიერი პუნქტისათვის განისაზღვროს დღეების რაოდენობა თოვლის

საფარით წელიწადში, თოვლის საფარის გაჩენის და გაქრობის, აგრეთვე მდგრადი თოვლის საფარის წარმოქმნის და რღვევის საშუალო თარიღები.

მთიან რაიონებში ზვავსაწინააღმდეგო საინჟინრო დამცავი ნაგებობების, სამთო—სათხილამურო ტრასების, საბაგირო გზების და ინფრასტრუქტურის ობიექტების მშენებლობისათვის ტერიტორიის შერჩევის პროცესში დიდ პრაქტიკულ ინტერესს წარმოადგენს ზამთრის განმავლობაში თოვლის საფარის მაქსიმალური სიმაღლეებისა და მათი უზრუნველყოფის დადგენა. სამთო—სათხილამურო კურორტების მშენებლობის პროცესში გასათვალისწინებელია ისეთი მოთხოვნები, როგორიცაა თოვლის საფარის სამ თვეზე მეტი არსებობის ხანგრძლივობა წელიწადში, სათხილამურო ტრასების ნორმალური ფუნქციონირებისათვის თოვლის საფარის შესაბამისი სიმაღლეები (არანაკლებ 50-60 სანტიმეტრისა) და ადგილის მორფომეტრიული ხასიათი (ტრასებისათვის განკუთვნილი ფერდობების დახრილობა არ უნდა აღემატებოდეს 200-ს). აქადან გამომდინარე, იმერეთის მთიანი რაიონებისათვის პერსპექტივაში აუცილებელია თოვლის საფარის ისეთი მახასიათებლების ცოდნა, როგორიცაა მაქსიმალური დეკადური სიმაღლეები და მათი უზრუნველყოფა. საკვლევი რეგიონისათვის მრავალწლიური ინფორმაციის ანალიზის საფუძველზე დადგენილი იქნა თოვლის საფარის მაქსიმალურ დეკადურ სიმაღლეებსა ჩ(სმ) და მათ უზრუნველყოფას $P(\%)$ შორის დამოკიდებულების გრაფიკული (ნახ.2.4.4.) და ანალიზური სახეები. როგორც ნახ. 2.4.4-დან ჩანს, დაბლობ და წინამთის ტერიტორიაზე (მრუდი 2)

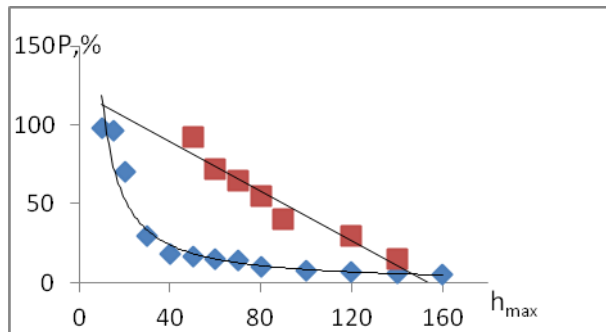
თოვლი საფარის სიმაღლის მატებისას მისი უზრუნველყოფა სწრაფად მცირდება და თოვლის საფარის სიმაღლეების 50სმ-მდე და მეტად მიღწევის შემდეგ უზრუნველყოფის კლება განიცდის სტაბილიზაციას და დებულობს მეტნაკლებად მუდმივ მნიშვნელობებს.

ამ შემთხვევაში რეგრესიის ემპირიული მწკრივების კაგშირის ანალიზურად წარმოსადგენად გამოყენებული იქნა მესამე რიგის პიპერბოლის განტოლება $Y_x = a + \frac{b}{x}$, იმერეთის დაბლობი ტერიტორიის ცხრა სადგურისათვის კავ-

შირი თოვლის საფარის მაქსიმალურ დეგადურ სიმაღლეებს (h_{max}) და მათი უზრუნველყოფის სიღიდუებს შორის ანალიზურად წარმოდგენილი შემდგენ სახის მესამე რიგის პიპერბოლის განტოლებით:

$$P=9,8 + \frac{82,84}{h_{max}^2},$$

2.4.6.



ნახ. 2.4.4. დამიკიდებულება თოვლის საფარის მაქსიმალურ დეგადურ სიმაღლეებსა h_{max} და მათ უზრუნველყოფას შორის (■ - 1)- მთა საბუეთი, (♦-2)- დაბლობ და წინამთაში არსებული პუნქტები.

რომელშიც P მოცემულია პროცენტებში, h_{max} კი დეციმეტრებში. (2.4.6. განტოლების თანახმად, როდესაც $h_{max}=5$ სმ (0,5დმ) მისი შესაბამისი უზრუნველყოფა ტოლია 90%-ისა. იმ შემთხვევაში როდესაც $h_{max}=40$ სმ (4დმ) $P=12\%-ს$. თუ $h_{max}=100$ სმ (10დმ) მაშინ $P=5\%-ს$. ე. ი. თოვლის საფარის სიმაღლის მატებისას მისი უზრუნველყოფის სიღიდე მკვეთრად მცირდება. სადგურ მთა საბუეთზე კავშირი $P=f(h_{max})$ დაბლობი სადგურებისაგან განსხვავებით ანალიზურად წარმოიდგინება წრფივი ფუნქციის სახით:

$$P=130,2-0,88h_{max},$$

2.4.7.

რომელშიც h_{max} -ის სიღიდუები მოცემულია სანტიმეტრებში. 2.4.7.-ის თანახმად როდესაც $h_{max}=40$ სმ $P=95\%-ს$. თუ $h_{max}=140$ სმ მაშინ $P=7\%-ს$.

თოვლის საფარის სიმკვრივის $d(\text{გრ}/\text{სმ})$ ცოდნას დიდი მნიშვნელობა აქვს მთიან ზვავსაშიშ რაიონებში საცხოვრებელი, სამეურნეო და საკურორტო ინფრასტრუქტურის ობიექტების და ზვავსაწინააღმდეგო საინჟინრო დამცავი ნაგებობების დაგეგმარების, მშენებლობის და ექსპლოატაციის პროცესში. გარდა ამისა, სიმკვრივე შედის თოვლის საფარში არსებული წყლის მარაგის გამოსათვლელ ფორმულაში. თოვლის საფარში არსებული წყლის მარაგი დიდ როლს თამაშობს გაზაფხულის პერიოდში მთის მდინარეების ჯამური ჩამონადენის ფორმირებაში. სადგურ მთა საბუეთზე ნოემბრიდან დაწყებული მარტის ჩათვლით თოვლის საფარის სიმკრივე იცვლება $0,24\text{გრ}/\text{სმ}-\text{დან}$ (II) $0,43\text{გრ}/\text{სმ}-\text{მდე}$ (III), წყლის მარაგი კი $37\text{მმ}-\text{დან}$ $147\text{მმ}-\text{მდე}$, წყლის მარაგის აბსოლუტურმა მაქსიმუმმა თებერვლის ბოლო დეკადაში ამ სადგურზე შეადგინა 266მმ . თოვლის საფარში წყლის მარაგის საშუალო მნიშვნელობა შეადგენს: ტყიბულში $158\text{მმ}-\text{ს}$, საჩხერეში $110\text{მმ}-\text{ს}$, წიფაში $75\text{მმ}-\text{ს}$.

2.5 ქარი

იმერეთის ტერიტორიაზე ქარის მიმართულება და სიჩქარე დამოკიდებულია, როგორც საქართველოს განედებისათვის დამასხასიათებელ ზოგადცირკულაციურ პროცესებზე. ასევე მის რთულ ორგანიზაციაზე და შავი ზღვის სიახლოვეზე. ზოგად ცირკულაციური პროცესების და საქართველოს ტერიტორიის მთათაშორის დეპრესიული ზონის გავლენით იმერეთის ტერიტორიაზე პარის მასების გადადგილება უპირატესად ხდება დასავლეთიდან აღმოსავლეთის მიმართულებით და პირიქით. მაგრამ რთული რელიეფის განსხვავებული ორიენტაციის და დახრილობის ელემენტების გავლენით, რომლებიც ხასიათდებიან რაღიაციული და სათბური ბალანსის სიდიდეების მრავალფეროვნებით, აღგილი აქვს მთა-ხეობების, ფერდობების და მყინვარული ქარების ფორმირებას, რის შედეგად რეგიონის მთიანი ტერიტორია ხასიათდება ქარის სიჩქარის და მიმართულების დიდი სიჭრელით. წელიწადის ცივ პერიოდში ციმბირის ანტიციკლონის და შავი ზღვის აკვატორიაზე არსებული დაბალი წნევის არეს გავლენით ქარები ძი-

რითადად მიმართულია აღმოსავლეთიდან დასავლეთისა-კენ, ზაფხულში კი აზორის მაქსიმუმის და სამხრეთ-და-სავლეთ აზის ტერიტორიაზე განლაგებული დაბალი წნე-ვის არეს გავლენით ქარებს აქვს საპირისპირო მიმართუ-ლება.

ადგილის სიმაღლის მატებისას ქარის საშუალო თვი-ური და წლიური სიჩქარეების სიღიდე იზრდება და აღ-წევს მაქსიმუმს მთა საბუეთზე. ქარის საშუალო წლიური სიჩქარე აქ შეადგენს 8.3მ/წმ-ში. იმერეთის ტერიტორიის დაბლობ ნაწილში ქარის საშუალო თვიური სიჩქარეების მაქსიმალური მნიშვნელობები აღინიშნება ზამთრის და გახაფხულის თვეებში (უმეტესად იანვრიდან მარტის ჩათ-ვლით), მინიმალური მნიშვნელობები კი-ძირითადად ზაფ-ხულის თვეებში. საშუალო მთის ზონაში (მთა საბუეთი) ქარის საშუალო თვიური სიჩქარეების მაქსიმალური მნიშ-ვნელობები აღნიშნულია ათი თვის (VIII-IV) განმავლობა-ში აბსოლუტური მაქსიმუმით (9.0მ/წმ) აპრილი, მინიმალუ-რი მნიშვნელობები-ივლისში (7.1-7.4მ/წმ). ფიონების სახელ-წოდებით ცნობილი მშრალი, თბილი ან ცხელი ქარების მაქსიმალური განმეორადობა აღინიშნება ქუთაისის რაი-ონში, სადაც დღეთა რაოდენობა ფიონებით წელიწადში აღწევს 120-ს. ფიონების გავლენით მნიშვნელოვნად იზრ-დება ქარის საშუალო თვიური სიღიდეები ქუთაისში აქ ნოემბრიდან აპრილის ჩათვლით ქარის სიჩქარის საშუა-ლო თვიური სიღიდეები მერყეობენ 6.1 (XI)-7.5 (II) მ/წმ-ის ფარგლებში, ხოლო საშუალო წლიური სიჩქარე შეადგენს 5.7მ/წმ, რაც მაქსიმალურია იმერეთის დანარჩენ სადგუ-რებზე (10 სადგური, ცხრილი 2.5.1) აღნიშნული ქარის სა-შუალო წლიურ სიჩქარეებს შორის, რომლებიც მერყეობენ 1.3 (საჩხერე)-2.9 (სამტრედია) მ/წმ-ის ფარგლებში. ადსა-ნიშნავია, რომ საქართველოს ტერიტორიაზე ქარის საშუა-ლო წლიური სიჩქარის სიღიდე მერყეობს 0.6მ/წმ (აბასთუ-მანი)-9.2მ/წმ (მთა საბუეთი) ფარგლებში.

წელიწადში ქარის მიმართულებების განმეორადობა (%) მოცემულია ცხრილ 2.5.1-ში.

როგორც ცხრილ 2.5.1-ში მოვანილი მონაცემებიდან ჩანს, იმერეთის რეგიონზე გაბატონებულია აღმოსავლე-თის და დასავლეთის მიმართულების ქარები. მათი განმე-

ორადობა აღწევს აღმოსავლეთის ქარების შემთხვევაში 53%-ს (ქუთაისი), დასავლეთის ქარების შემთხვევაში 43% (მთა საბუეთი) ქარების მიმართულების განმეორადობის მინიმუმი აღინიშნება ჩრდილოეთის და სამხრეთის მიმართულებებისათვის მაქსიმუმებით შესაბამისად 12% (წიფა) და 100% (დიმი). ქარების განმეორადობის ასეთი თავისებურებები ძირითადად განპირობებულია რეგიონის ოროგრაფიის გავლენით. საკვლევი რეგიონი ჩრდილოეთიდან და სამხრეთიდან ჩაკეტილია რაჭის და მესხეთ-იმერეთის ქედებით, რის შედეგად ამ მიმართულებების ქარების განმეორადობა არის მინიმალური. დასავლეთის და აღმოსავლეთის მიმართულებით ქარების განმეორადობის ზრდას ხელს უწყობს პირველ შემთხვევაში ლია ჰორიზონტის, მეორე შემთხვევაში კი შედარებით დაბალი ლიხის ქედის არსებობა.

ცხრილი 2.5.1 ქარის მიმართულებების განმეორადობა წელიწადში (%)

სადგური	წ	ჩად	ად	სად	ს	სდ	დ	ჩდ
საჩხერე	3	3	19	12	4	18	38	4
ხონი	1	8	35	8	2	23	21	2
წყალტუბო	2	18	26	4	1	11	36	2
ტყიბული	7	53	10	1	4	21	3	1
ქუთაისი	1	3	53	2	1	3	35	2
სამტრედია	1	1	48	3	2	7	36	2
საქარა	0	2	45	10	2	2	38	1
ყორბოული	0	2	51	5	0	3	39	0
დიმი	2	7	25	14	10	2	29	5
ვანი	2	2	36	9	2	3	39	7
მთა საბუეთი	0	14	38	1	0	2	43	2
წიფა	12	50	6	0	1	23	8	0
ხარაგაული	1	1	3	59	4	1	5	26

რაც შეეხება დღედამის სხვადასხვა საათებში (1,7, 13,19სთ) ქარის მიმართულებების განმეორადობას იგი წარმოდგენილია ცხრილ 2.5.2.-ში.

ცხრილი 2.5.2. დღედამის სხვადასხვა საათებში (1, 7, 13, 19 სთ) ქარის მიმართულებების განმეორადობა წელიწადში %

სადგური	სთ	ჩ	ჩად	ად	სად	ს	სდ	დ	ჩდ
ქუთაისი	1	2	3	69	1	0	1	23	1
	7	2	5	70	2	1	2	16	2
	13	1	2	46	2	2	5	40	2
	19	1	2	41	1	0	3	50	2
საქარა	1	1	1	54	5	2	1	32	2
	7	1	4	42	22	7	3	20	1
	13	2	7	27	14	4	6	37	3
	19	1	2	34	4	1	4	51	3
მთა საბუჟო	1	0	17	35	1	0	2	43	2
	7	0	20	39	2	0	3	34	2
	13	0	18	37	1	0	3	39	2
	19	0	14	28	1	0	3	50	4
წიფა	1	8	64	2	0	0	22	4	0
	7	15	60	9	0	0	10	6	0
	13	12	43	6	0	1	20	9	0
	19	10	41	6	0	1	29	13	0
კორბოული	1	0	2	57	2	0	0	39	0
	7	0	3	61	6	0	1	29	0
	13	0	1	45	9	10	5	38	1
	19	0	1	43	3	0	4	49	0
სამტრედია	21	1	1	43	1	2	3	48	1
	0	2	1	57	1	3	3	32	1
	3	3	1	65	1	3	3	23	1
	6	3	1	67	1	3	1	23	1
	9	2	1	64	2	4	3	23	1
	12	3	1	50	2	4	4	35	1
	15	1	1	39	1	3	4	49	2
	18	1	1	34	1	2	4	56	1

სადგურ სამტრედიის შემთხვევაში ქარის მიმართულებების განმეორადობა მოცემულია დაკვირვებების რვა სინოპტიკური ბაზისათვის. როგორც ამ ცხრილიდან ჩანს, ქარის მიმართულებების განმეორადობა წელიწადში ქუთაისში, საქარაში, კორბოულში და სამტრედიაში მაქსიმალურია აღმოსავლეთის და დასავლეთის რუმბებისათვის. ქუთაისში დამის საათებში განმეორადობა აღმოსავლეთის

ქარებისათვის აღწევს 69-70%-ს, ხოლო დასავლეთის მიმართულების ქარებისათვის დღის მეორე ნახევარში (13,19სთ) – 40-50%-ს. სამტრედიაში კი შესაბამისად 67%-ს (3,6სთ) და 49-56% (15,18სთ). წიფაში ქარის მიმართულების განმეორადობა მაქსიმალურია ჩრდილო-აღმოსავლეთის ქარებისათვის დამის საათებში (1,7 სთ) მერყეობს 60-64%-ის ფარგლებში, ხოლო სამხრეთ-აღმოსავლეთის მიმართულების ქარებისათვის დღის მეორე ნახევარში (13,19სთ), მერყეობს 20-29%-ის საზღვრებში. მთა საბუეთზე აღმოსავლეთის და დასავლეთის ქარის მიმართულებების განმეორადობა, დაბლობი სადგურებისაგან განსხვავებით. ვერ აღწევს იმ სიდიდეებს რაც დაფიქსირებულია დაბლობ სადგურებზე. აქ აღმოსავლეთის ქარების განმეორადობა მერყეობს 28-39%-ის, ხოლო დასავლეთის ქარების განმეორადობა 39-50%-ის ფარგლებში. დღედამის სხვადასხვა საათებში (1,7, 13,19 სთ) ქარის საშუალო წლიური სიჩქარე მოცველია ცხრილ 2.5.3.-ში.

ცხრილი 2.5.3. ქარის საშუალო წლიური სიჩქარე დღედამური სხადასხვა საათებში (1,7,13,19სთ)

t, სთ	სადგური												მდგ
	საშენებელი	ხონი	აუსალტებო	ტემპერატური									
1	0.9	1.7	1.2	2.7	4.2	3.4	2.1	1.2	2.5	1.7	9.7	2.1	3.1
7	0.8	1.7	1.0	2.0	4.5	3.9	2.5	1.2	2.5	2.3	9.0	2.4	3.8
13	3.5	3.0	2.5	3.2	6.4	4.7	4.0	4.2	3.8	4.0	9.2	3.4	5.4
19	1.9	1.9	1.5	2.3	4.8	3.4	2.6	2.4	2.6	2.6	8.8	2.3	3.0

როგორც ცხრილ 2.5.3-დან ჩანს, ქარის საშუალო წლიური სიჩქარე ყველა განხილულ სადგურზე (მთა საბუეთის გამოკლებით) მაქსიმალურია 13 საათზე: იგი მერყეობს 2,5მ/წმ (წყალტუბო)–6,4მ/წმ-ის ფარგლებში (ქუთაისი).

ქარის საშუალო წლიური სიჩქარის მინიმუმი საჩხერეში, ხონში, წყალტუბოში, ქუთაისში, სამტრედიაში, საქარაში და ვანში აღინიშნება დამის პირველ და დილის შვიდ საათზე: მისი სიდიდე მერყეობს 0,8 (საჩხერე)-4,2მ/წმ-ის ფარგლებში (ქუთაისი). რაც შეეხება სადგურ

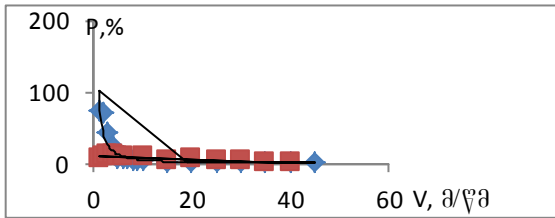
მთა საბუეთს აქ დღედამის განმავლობაში (დაკვირვების ოთხივე ვადაზე) ქარის საშუალო წლიური სიჩქარე უმნიშვნელოდ იცვლება: იგი მერყეობს $8,8\text{d}/\text{წ}$ (19სთ) $-9,7\text{d}/\text{წ}$ -ის (1სთ) ფარგლებში. ქარის საშუალო თვიური სიჩქარის აბსოლუტური მაქსიმუმი აღწევს საჩხერეში $4,9\text{d}/\text{წ}$ -ს (IV), ხონში $3,5\text{d}/\text{წ}$ -ს (IV,XI), წყალტუბოში $3,4\text{d}/\text{წ}$ -ს (IV), ტყიბულში $3,7\text{d}/\text{წ}$ -ს (VIII,XI), ქუთაისში $8,4\text{d}/\text{წ}$ -ს (XI), კორბოულში $5,2\text{d}/\text{წ}$ -ს (XI), სამტრედიაში $4,7\text{d}/\text{წ}$ -ს (IV), საქარაში $5,0\text{d}/\text{წ}$ -ს (IV,VIII), ხარაგაულში $3,8\text{d}/\text{წ}$ -ს (IV), წიფაში $5,8\text{d}/\text{წ}$ -ს (IV). როგორც ამ მონაცემებიდან ჩანს, სადგურუბის უმეტესობაზე (საჩხერე, ხონი, წყალტუბო, სამტრედია, საქარა, ხარაგაული, წიფა) ქარის საშუალოთვიური სიჩქარის მაქსიმუმი მოდის აპრილის თვეზე.

ქარის საშუალო თვიური სიჩქარის აბსოლუტური მინიმუმი შეადგენს საჩხერეში $0,5\text{d}/\text{წ}$ ($\text{IX} < \text{X} < \text{XII}$), ხონში $0,5\text{d}/\text{წ}$ (VII), წყალტუბოში $0,5\text{d}/\text{წ}$ (VII, ტყიბულში $1,3\text{d}/\text{წ}$ (VII), ქუთაისში $1,0\text{d}/\text{წ}$ (VII), კორბოულში $1,7\text{d}/\text{წ}$ (VII), სამტრედიაში $0,5\text{d}/\text{წ}$ (VII), საქარაში $0,4\text{d}/\text{წ}$ (VII), ვანში $0,5\text{d}/\text{წ}$ (VII), მთა საბუეთზე $7,1\text{d}/\text{წ}$ (VII), ხარაგაული $0,7\text{d}/\text{წ}$ (VII), წიფა $1,2\text{d}/\text{წ}$ (VII). ამრიგად, ქარის საშუალო თვიური სიჩქარის აბსოლუტური მინიმუმი რეგიონის ყველა განხილულ სადგურზე (საჩხერის გამოკლებით) მოდის ივლისის თვეზე. საჩხერეში იგი აღინიშნება სექტემბერ-ოქტომბერში და დეკემბერში.

როგორც ცხრილი 2.5.3.-დან ჩანს, განხილულ ყველა 12 სადგურზე ქარის საშუალო წლიური სიჩქარის მაქსიმუმი აღინიშნება დღის 13სთ-ზე და იგი მერყეობს $2,5\text{d}/\text{წ}$ ($\text{წყალტუბო}-9,2\text{d}/\text{წ}$ (მთა საბუეთი) საზღვრებში. დაკვირვების ამ ვადაზე ქარის საშუალო წლიური სიჩქარის მაღალი მნიშვნელობა დაფიქსირებულია ქუთაისში $-6,4\text{d}/\text{წ}$.

ქარის სიჩქარეთა ალბათობის (%) ამოკიდებულება მისი გრადაციების  $\text{მ}/\text{წ}$ სიდიდებზე წარმოდგენილია ნახ.2.5.1-ზე. როგორც ამ ნახაზიდან ჩანს ქარის სიჩქარეთა ალბათობა მაქსიმალურია $0\text{-}1$, $2\text{-}3$, $4\text{-}5\text{d}/\text{წ}$ გრადაციებისათვის. გრადაციების დიაპაზონის ამ ნაწილში ქარის სიჩქარეთა ალბათობა ეცემა $80\%-დან$ ($0\text{-}1\text{d}/\text{წ}$) $9\%-მდე$ ($4\text{-}5\text{d}/\text{წ}$ გრადაცია). ქარის სიჩქარეთა გრადაციების შემდგომი მატებისას ადგილი აქვს ალბათობის სიდიდების ცვლილებ-

ბების სტაბილიზაციას: 4-5გ/წმ გრადაციიდან 35-40გ/წმ გრადაციამდე სიჩქარეთა მატებას შეესაბამება სიჩქარეთა ალბათობის ცვლილება 9%-დან-2%-მდე (ქუთაისი). დამოკიდებულება $P=f(V)$ სადაც P არის ქარის სიჩქარეთა ალბათობა პროცენტებში, V კი ქარის სიჩქარის სიდიდე (გრადაციებში) იმერეთის 7 პუნქტისათვის



ნახ. 2.5.1. ქარის სიჩქარის ალბათობის დამოკიდებულება ქარის სიჩქარის სიდიდეებზე $P=f(V)$. მთა საბუეთი. (■ - 1) მთა საბუეთი, ♦-წყალტუბო.

ანალიზურად წარმოიდგინება სამუცნობიანი პირველი რიგის ჰიპერბოლის განტოლებით:

$$P = -1,42 + 0,13 \frac{14,44}{V},$$

2.5.1.

ამ განტოლების მიღების პროცესში გამოთვლითი სამუშაოს გამარტივების მიზნით დამოუკიდებელი ცვლადის (V გ/წმ) სიდიდეები (1,5, 10.. 40გ/წმ) შემცირებულია 5-ჯერ, რის შედეგად არგუმენტი წარმოდგენილი იქნა ნატურალური რიცხვების რიგით: 0,2; 1; 2; 3.. 8. ქარის სიჩქარის ალბათობის $P\%$ მნიშვნელობების გამოთვლისას ამ განტოლებაში ესვამთ V -ს ნაცვლად ნატურალური რიცხვების მნიშვნელობებს. მაგალითად, როდესაც ქარის სიჩქარე $V = 1$ გ/წმ, განტოლებაში ვსვამთ მის შესატყვის რიცხვს 0,2-ს, გამოთვლის შედეგად ვდებულობთ, რომ ქარის სიჩქარეს 1გ/წმ-ში შეესაბამება 71%-ის ტოლი ალბათობა. ქარის სიჩქარეს 10გ/წმ შეესაბამება 6% ალბათობა. გამონაკლისს წარმოადგენს სადგური მთა საბუეთისათვის მიღებული $P=f(V)$ დამოკიდებულება. როგორც ნახ. 2.5.1.-დან ჩანს, იგი არ შეიძლება წარმოდგენილი იქნეს სამუცნობიანი პირველი რიგის ჰიპერბოლის განტოლების სა-

ხით, რაც განპირობებულია იმით, რომ ამ მთიან სადგურზე ქარის დაბალი სიჩქარეების განმეორადობა სხვა სადგურებისაგან განსხვავებით არ აღემატება 15%-ს, მაშინ, როდესაც დაბლობ სადგურებზე (მაგალითად წყალტუბო) ის აღწევს 73,3%-ს. მთა საბუეთისათვის დამოკიდებულება $P=f(t)$ მიახლოებით შეიძლება წარმოდგენილი იქნეს წრფივი ფუნქციის სახით:

$$P=15,5-0,5t$$

2.5.2

დღედამის სხვადასხვა საათებში (1,7,13,19სო) ქარის სიჩქარეების განმეორადობა გრადაციების მიხედვით წელიწადში მოცემულია ცხრილ 2.5.4.-ში.

ცხრილი 2.5.4. ქარის სიჩქარეთა განმეორადობა გრადაციების მიხედვით დღედამის სხვადასხვა საათებში.

წელიწადი %

სი შე	ქარის სიჩქარე, მ/წმ									
	0-1	2-5	6-9	10-13	14-17	18-20	21-24	25-28	29-34	35-40
ქარის სიჩქარეთა გრადაციების მიხედვით										
1	46.8	30.3	9.6	3.3	3.4	3.6	1.2	0.8	0.7	0.3
7	37.8	38.3	9.3	3.6	4.7	3.6	1.3	0.8	0.4	0.2
13	19.0	43.5	15.7	6.5	6.8	4.9	1.8	1.0	0.6	0.2
19	30.6	43.0	13.9	3.8	3.7	2.5	1.1	0.7	0.5	0.2
სამტრედია										
1	66.8	22.0	6.6	1.6	1.8	0.8	0.3	0.1		
7	59.6	28.0	7.7	1.7	2.1	0.7	0.2	0.02		
13	28.3	52.0	12.9	2.8	2.7	0.9	0.4	0.05		
19	50.2	40.2	5.9	1.1	1.7	0.7	0.2	0.03		
საქარა										
1	82.7	12.1	2.6	0.7	1.1	0.8				
7	77.7	18.0	2.4	0.7	0.4	0.5				
13	39.0	36.4	14.9	3.4	4.4	1.9				
19	62.2	26.0	7.6	1.4	1.7	1.1				
საბუეთი										
1	9.8	23.3	22.2	16.4	10.8	11.2	3.2	1.7	1.2	0.2
7	10.2	28.7	23.5	13.2	12.1	9.4	2.7	1.3	0.8	0.1
13	6.7	24.4	27.4	16.7	10.6	9.8	2.6	1.1	0.7	0.03
19	8.2	25.7	26.8	15.9	10.4	8.9	2.2	1.0	0.8	0.1

როგორც ცხრილი 2.5.4-დან ჩანს, დაბლობზე განლაგებულ სადგურებზე (ქუთაისი, სამტრედია, საქარა) ქარის სიჩქარების განმეორადობა მაქსიმალურია შედარებით სუსტი ქარებისათვის (გრადაციები 0-1, 2-5მ/წმ). 0.1მ/წმ გრადაციის შემთხვევაში განმეორადობა აღწევს ქუთაისში 46.8%-ს (1სო), სამტრედიაში 66.8%-ს (1სო), საქარაში 82.7% (1სო). ქარის სიჩქარების 2-5მ/წმ გრადაციის შემთხვევაში განმეორადობის მაქსიმალური მნიშვნელობები აღწევენ: ქუთაისში 43.5%-ს (13სო), სამტრედიაში 52%-ს (13სო), საქარაში 36.4% (13სო). უფრო მაღალი გრადაციებისათვის ($>5\text{m}/\text{წm}$) განმეორადობის სიდიდეები მნიშვნელოვნად მცირდება. მთა საბუეთზე ქარის სიჩქარის განმეორადობის მაქსიმუმი აღინიშნება არა 0-1მ/წმ გრადაციისათვის, არამედ 2-5, 6-9, 10-13 და 14-17მ/წმ გრადაციებისათვის. დღეების საშუალო რიცხვი ქარის სიჩქარით, რომელიც ტოლია ან აღემატება ქარის მოცემულ მნიშვნელობებს, მოცემულია ცხრილ 2.5.5.-ში.

ცხრილი 2.5.5. დღეების საშუალო რიცხვი ქარის სიჩქარით, რომელიც ტოლია ან აღემატება 8-15, 20, 30, 40მ/წმ

ქარის სიჩქარე მ/წმ	I	II	III	IV	V	VI	VII	VIII	IX	X	XI	XII	ე ს ე ლ ი კ
სამტრედია													
≥ 8	8.2	7.9	8.6	7.5	5.6	3.5	1.8	2.6	3.6	5.6	7.0	7.4	69
≥ 15	3.0	2.8	3.6	2.6	1.8	0.6	0.2	0.7	1.5	2.0	2.7	3.1	25
≥ 20	2	3	3	2	1	1			1	1	1	1	16
საქარა													
≥ 8	5.1	5.6	8.5	8.2	7.0	6.0	5.4	6.3	5.8	4.2	4.7	4.1	71
≥ 15	4.5	4.6	7.5	6.7	5.7	4.0	2.9	3.8	4.3	3.6	3.7	3.1	54
≥ 20	3	4	6	4	4	2	2	3	4	3	2	2	39
მთა საბუეთი													
≥ 8	23.0	21.0	23.8	24.3	25.0	22.8	23.2	24.0	23.8	24.0	22.2	21.7	279
≥ 15	11.5	12.1	12.6	13.1	12.1	9.4	9.5	12.5	12.9	13.0	12.3	9.7	141
≥ 20	7	7	8	9	8	6	7	10	9	9	6	4	90
≥ 30	1	1	1			1	1	1					7
≥ 40	1			1									2

ამ ცხრილში დღეების საშუალო რაოდენობა ქარის მოცემული სიჩქარეებით, როგორც წესი განსაზღვრული იქნა 1936-1980წწ. პერიოდისათვის. ცხრილში მოცემულია ისეთი დღეების საშუალო მრავალწლიური რიცხვი, როდე საც დაკვირვებების ერთ გადაში მაინც აღინიშნებოდა ქარის სიჩქარე, რომელიც ტოლი იყო ან აღემატებოდა $8,20,30,40\text{გ}/\text{წ}$

თავი III. პლიმატური რესურსების პოლიტიკიალი

3.1. საკურორტო კლიმატური რესურსები

საკურორტო კლიმატური რესურსების მნიშვნელოვანი სახეობაა საკურორტო კლიმატური რესურსები. იმერეთის რეგიონი საქმაოდ მდიდარია საკურორტო კლიმატური რესურსებით. კურორტები და საკურორტო ადგილები განსხვავებულ საკურორტო ზონებშია განლაგებული (ნახ. 3.1.1). თითოეულს თავისი პროფილი და თვისებები გააჩნია.



ნახ. 3.1.1. საკურორტო ზონები

ნახ. 3.1.1- დან ჩანს, რომ იმერეთის რეგიონი მოიცავს 3 საკურორტო ქვეზონას: დასავლეთ საქართველოს დაბლობის ნოტიო და ზომიერი ქვეზონა, დასავლეთ საქართველოს დაბალი ნიჟარ ზომიერი ნიჟარ ქვეზონა, დასავლეთ საქართველოს დაბალი მინი ზომიერი ქვეზონა. ზომიერი ნიჟარ ქვეზონა და საშუალო მთის საკურორტო ზონა.

ცხრილში 3.1.1 წარმოდგენილია იმერეთის კურორტების ძირითადი კლიმატური მახასიათებლები, აგრეთვე მათი სიმაღლე და შესაბამისი პროფილები (ბალნეოლოგიური, კლიმატური, კლიმატო-ბალნეოლოგიური).

განვიხილოთ იმერეთის მნიშვნელოვანი კურორტების სამკურნალო ფაქტორები:

წყალტუბორადონული, აზოტური, ქლორიდულ-ჰიდროკარბონატულ-სულფატური შემაღგენლობის უნიკალური სამკურნალო წყალი, რომელსაც საქმაოდ მდგრადი ფიზიკურ-ქიმიური თვისებები აქვს. ტემპარეტურა $33-35^{\circ}\text{C}$ და მას იყენებენ აბაზანებისთვის, საინჴალაციოდ და შესასხურებლად. სამკურნალო ფაქტორია აგრეთვე კარსტული მდვიმების მაკროკლიმატი, რომელიც კარგად მოქმედებს ჰიპერტონიულ დაგვადებაზე, ბრონქიულ ასთმა-

ზე, ნევროზზე და სხვა, აგრეთვე საყრდენ-სამოძრაო აპატარის, ნერვულ, გულ-სისხლძარღვთა და გინეკოლოგიურ დაავადებებზე.

ცხრილი 3.1.1. იმერეთის კურორტების მირითადი კლიმატური მახასიათებლები (ე-ელიზბარაშვილის და ნ.გონგლაძეს მონაცემებით)

სიმაღლე ზ-დან	პრიორიტეტი	ჰაერის ტემპერატურა			აბსოლუტური სინოტიკე			მატერიალური კლიმატური მარტინი	ნალექები, მმ			ე/კ მ/კ ფაქტ	
		იანვარი	ივნისი	წელი	იანვარი	ივნისი	წელი		წელი	კლიმატური კონტინენტური	კლიმატური კონტინენტური	კლიმატური კონტინენტური	
წყალტუბო (საერთ მნიშვნელობის სამტრედია (ადგილობრივი))													
120	ბ	5,3	23,3	73	6,4	22,2	4,7	1818	987	831	1,6		
გორმაგალა (ადგილობრივი)													
25	ბ	4,7	23,2	76	6,6	22,3	4,7	1526	746	780	2,8		
საირმე (რესპუბლიკური)													
200	კ	4,7	23,2	74	6,5	22,2	4,6	1526	746	780	4,3		
სულო (ადგილობრივი)													
950	კ-ბ	-0,3	17,4	80	4,8	16,9	3,9	1165	543	629	1,1		
ნეკარი (ადგილობრივი)													
650	ბ	1,5	19,0	77	4,5	16,0	4,0	1157	550	608	1,2		
სულო (ადგილობრივი)													
200	ბ	3,0	22,0	74	6,5	21,0	4,0	1350	650	700	2,5		
კურსები (ადგილობრივი)													
350	ბ-კ	2,6	21,0	72	5,4	19,2	4,5	2137	1183	954	2,8		
სიმონეთი (რესპუბლიკური)													
300	ბ	2,5	22,5	73	6,1	20,5	4,2	1185	620	565	2,2		
კვერეთი (ადგილობრივი)													
750	ბ-კ	0,4	22,3	76	5,6	18,8	4,2	904	454	450	1,8		
ნენისი (ადგილობრივი)													
920	ბ	-0,3	19,0	75	4,8	17,5	4,3	1185	680	505	2,0		

სამტრედია-ბალნეოლოგიური კურორტია. ნაჩვენებია საყრდენ მამოძრავაბეჭდი სისტემების დაავადებების, ძვლების და კუნთების სხვადასხვა წარმოშობის დაავადებების, პერიფერიული ნერვული სისტემის ქრონიკული დაავადებების, კანის სენეულებების და ჰიპერტონიული დაავადებების საკურნალოდ.

საირმე—ბალნეოლოგიურ კლიმატური კურორტია. ბუ-ნებრივი სამკურნალო ფაქტორია მინერალური წყლები. ქიმიური შემადგენლობით ისინი მიეკუთვნებიან ნახშირ-მევა, პიდროკარბონატულ, კალციუმ-ნატრიუმიან და ნახ-შირმევა, პიდროკარბონატულ, ნატრიუმიან ბორჯომის ტიპის წყლებს. დადგენილია მათი სასრგებლო მოქმედუ-ბა თირკმელებისა და შარდის გამომყოფი გზების დაავად-ებებზე, რამაც განაპირობა კურორტის უროლოგიური პროფილი. გარდა ამისა, აქ მკურნალობებს ავადმყოფებ დაიძლის, ნაღვლის გზებისა და კუჭ-ნაწლავის დაავადებ-ებით.

ზეგარი ბალნეოლოგიური კურორტია. სუსტად მინერა-ლიზებული ოერმული გოგირდწყალბადიანი სამკურნალო მინერალური წყალია. კურორტის ტერიტორია და მის გარშემო მდებარე მთის ფერდობები დაფარულია ფართო-ფოთლოვანი წიწვიანი დღეებით. სამკურნალო ჩვენებებია: ქრონიკული ართრიტების, გინეკოლოგიური დაავადებების, გულსისხლარღვთა დაავადებების, ნეფრიტების და ნერ-გული სისტემის ფუნციონალური დაავადებების სამკურნა-ლოდ.

გმერეთი ბალნეო კლიმატური კურორტია. კურორტის ძირითადი სამკურნალო ფაქტორია სუსტად მინერალიზე-ბული გოგირდწყალბადიანი მინერალური წყალი. გამოიყ-ენება სახსრების პერიფერიული ნერვული სისტემისა და გინეკოლოგიური დაავადებების სამკურნალოდ.

ნუნისი—ბალნეო-კლიმატური კურორტია. სამკურნალო ფაქტორია სუსტად მინერალიზებული ოერმულ გოგირდი-ანი სამკურნალო მინერალური წყლები და მთის კლიმატი. ნახვენებია კანის (ნეიროდერმიტი, გვ.ზემა, ფსორიაზი), სამოძრაო ორგანოების, პერიფერიული ნერვული სისტემის დაავადებათა, აგრეთვე სისხლნაკლულობის სამკურნა-ლოდ.

ამაღლება ბალნეოლოგიური კურორტია. მინერალური თერმული წყალი შეიცავს ნატრიუმს, ქლორს, ნახშირორ-ჟანგს და კაჟმევას. ნახვენებია ქრონიკული ართრიტების (ინფექციური, რევმატიული, ტრაემული, ნივთიერებათა ცვლის მოშლის და ენდოკრინული წარმოშობის, მსუბუქი ფორმის სპინდილოზები და მიოკარდიოდისტროფია კომ-

პენსიონებულ სტადიაში), კარდიო სკლეროზის (მიოკარდიული და ოთეროსკლეროზული წარმოშობის კომპენსირებულ სტადიაში. ჰიპერტონული დაავადება პირველი სტადიის, ანგიონევროზები, ტრომბოფილობიტები), პერიფერიული ნერვული სისტემის (ნევრიტები, ნევრალგიები და რადიკულიტები), ნერვული სისტემის ფუნქციონალური დაავადებების) და სხვა სამკურნალოდ.

სულორი-ბალნეოლოგიური კურორტია. მინერალური წყლები წყალტუბოს მინერალურ წყლების ტიპისაა. ქიმიურ შემადგენლობაში არ შედის ძლიერ მოქმედი ტოქსიკური ნივთიერებები. წყალი დამამშვიდებლად მოქმედებს ნერვულ სისტემაზე. ნაჩვენებია ქრონიკული ართრიტების, გულსისხლადარღვთა დაავადებების, ტრომბოფლემიტების, ნერვული სისტემის დაავადებების და გინეკოლოგიური დაავადებების სამკურნალოდ.

სიმონეთი ბალნეოლოგიური კურორტია. სამკურნალო ფაქტორია მინერალური ცხელი წყალი. ნაჩვენებია საყრდენ-მამოძრავებელი აპატარის დაავადებათა, მწვავე ქრონიკული ართრტების, ნივთიერებათა ცვლის მოშლის, გულსისხლადარღვთა სისტემის დაავადებათა სამკურნალოდ.

გურსები-ბალნეოლოგიური კურორტია. სამკურნალო ფაქტორია სისტად მინერალიზებული გოგირდწყალბადიანი მინერალური წყალი.

იმერეთის რეგიონში არის მრავალი პერსპექტიული საკურორტო ადგილები. მათ შორის აღსანიშნავია კლიმატური საკურორტო ადგილები საციხე და პერეგისი, კლიმატო-ბალნეოლოგიური საკურორტო ადგილები ხედარი, ლელვა-ბუეტი, შუაგორა და ხოკუანი, ბალნეოლოგიური საკურორტო ადგილები ხრესილი, ნიჩაბა, კვალიტი, ხვირი და სხვ.

3.2. ჰელიოენერგეტიკული რესურსები

საქართველოს ტერიტორიაზე ჰელიოენერგეტიკული რესურსების განაწილების რუკები პირველად შედგენილი იქნა 1959 წელს გ. მელიას და 1963-1971 წლებში ი. ცუცქირიძის მიერ, რის შედეგად დადგინდა, რომ საქართველოს გააჩნია მნიშვნელოვანი ჰელიოენერგეტიკული პოტენციალი, რომელიც შეიძლება წარმატებით იქნას გამოყენებული.

ლი სხვადასხვა სისტემის და სიმძლავრის პელიოდანადგარების გამოყენების პირობებში.

მომდევნო პერიოდში (1987) საქართველოს ტერიტორიის პელიოდების პერიოდური პოტენციალის კომპლექსური შეფასების, მისი დარაიონების მეთოდური საფუძვლები და პელიოდების განაწილების მსხვილმასშტაბიანი სქემატური რუკები დამუშავებული იქნა ჰიდრომეტეოროლოგიის ინსტიტუტში. ამ ნაშრომში წინა პერიოდის შრომებისან განსხვავებით პელიოდების პოტენციალის ტერიტორიული განაწილების დადგენის მიზნით გამოყენებულია მზის პირდაპირ და ჯამურ რადიაციებზე, მზის ნათების ხანგრძლივობაზე, ღრუბლიანობაზე, პაერის ტემპერატურაზე და ქარის სიჩქარეზე მნიშვნელოვნად გაზრდილი ხანგრძლივობის დაკვირვების რიგები. დაკვირვებების მასალა დამუშავდა წინა შრომებისგან განსხვავებით სტატისტიკური და ალბათური ანალიზის მეთოდების გამოყენებით, რის შედეგადაც მნიშვნელოვნად გაიზარდა მზის რადიაციის მახასიათებლების, მზის ნათების ხანგრძლივობის და სხვა აუცილებელი მეტეოროლოგიული ელემენტების სიცულ-დროითი განაწილების თავისებურებების და კადასტრული შეფასებების სიზუსტე. პელიოდენერგეტიკული რესურსების ტერიტორიული განაწილების არსებული რუკა არ ითვალისწინებს საქართველოს მთიანი რელიეფის მიკროკლიმატურ, ლანდშაფტურ და ოროგრაფიულ თავისებურებებს, მაგრამ მისი შედეგენისას მაქსიმალური ასახვა პპოვა საკალევი ტერიტორიის ზოგადმა ფიზიკურ-გეოგრაფიულმა ხასიათმა და მისმა გავლენამ მზის კადასტრის მახასიათებლებზე. საქართველოს და კერძოდ იმერეთის რეგიონის ძლიერ დანაწევრებული რელიეფის ისეთი ელემენტებისათვის, როგორიცაა სხვადასხვა ექსპოზიციის და დახრილობის ფერდობები, რადიაციული მახასიათებლების (მზის პირდაპირი და ჯამური რადიაცია) განსაზღვრის მიზნით შეიძლება გამოყენებული იყოს ცენტრალური კავკასიონის ჩრდილოეთ ფერდობზე ($0,4\text{--}3,8\text{ }m$ დიაპაზონში) რვა ორიენტაციის და $0\text{--}15\text{--}30\text{--}45\text{--}60\text{--}75\text{--}90^{\circ}$ დახრილობის ფერდობზე მრავალწლიური დაკვირვებების მასალების ანალიზის შედეგად მიღებული გადამთვლელი კოეფიციენტების სიდიდეები.

საქართველოს და კერძოდ იმერეთის ტერიტორიის არ-სებულ ჰელიოენერგეტიკული რესურსების დონით კომპლექსურ დარაიონებას საფუძვლად დაედო ისეთი რეპტეზენტები მახასიათებლები, როგორიცაა ჰორიზონტალურ ზედაპირზე მზის პირდაპირი რადიაციის დღედამური (I,VII), თვიური (I,VII), სეზონური (V,IX), წლიური ჯამები. ჯამური რადიაციის დღედამური (I,VII), თვიური (I,VII), წლიური ჯამები (მჯ/მ). მზის ნათების ხანგრძლივობის დღედამური (I,VII), თვიური (I,VII), სეზონური (V,IX) და წლიური ჯამები (სთ), საერთო ღრუბლიანობის რაოდენობა, (I,VII) (ბალებში), საეთო ღრუბლიანობით მოწმენდილ დღეთა რიცხვი წელიწადში, ჰაერის საშუალო თვიური ტემპერატურა ($^{\circ}\text{C}$) იანვარში და ივნისში. მმ ხუთი ჰელიოენერგეტიკული ზონიდან, რომლებიც გამოყოფილია ჰელიოენერგეტიკული რესურსების ტერიტორიული განაწილების სქემაზე რუკაზე იმერეთის ტერიტორია ძირითადად აღმოჩნდა მეოთხე და ნაწილობრივ მესამე ზონაში.

მეოთხე ზონა მოიცავს ძირითადად კოლხეთის დაბლობის აღმოსავლეთ ნაწილს. აქ მზის პირდაპირი რადიაციის ჯამები ჰორიზონტალურ ზედაპირზე მერყეობენ იანვარში: დღედამეში 2-4, თვეში 80-100, სეზონში 1600-1700, წელიწადში 2600-2700მჯ/მ-ის ფარგლებში. ივნისში ამ მახასიათებლის სიდიდე მერყეობს 9-11 (დღედამე) და 300-350 (თვე) მჯ/მ-ის საზღვრებში.

ჯამური რადიაციის ჯამები იცვლებიან იანვარში 5-6 (დღედამე), 160-170 (თვე) 4500-4800 (წელიწადი) მჯ/მ-ის საზღვრებში, ივნისში კი შესაბამისად-20 (დღედამე) და 550-600 (თვე) მჯ/მ-ის საზღვრებში. მზის ნათების ხანგრძლივობა მერყეობს იანვარში 3-4 (დღედამე), 90-100 (თვე), 1050-1100 (V-IX) და 1900-2100 (წელიწადი) საათის ფარგლებში. ივნისში ამ მახასიათებლის სიდიდე შესაბამისად მერყეობს 6-7 (დღედამე) და 200-250 (თვე) საათის ფარგლებში. საერთო ღრუბლიანობის რაოდენობა მერყეობს იანვარში 7.0-7.5, ივნისში 6.0-6.5 ბალის საზღვრებში. წელიწადის განმავლობაში საერთო ღრუბლიანობით მოწმენდილ დღეთა რიცხვი მერყეობს 40-50-ის საზღვრებში. ჰაერის ტემპერატურა მერყეობს იანვარში 5.0-6.0, ივნისში 22-24⁰-ის საზღვრებში. აღსანიშნავია ის გარემოება,

რომ მზის რადიაციის კადასტრის ისეთი მნიშვნელოვანი კომპონენტის, როგორიცაა ჯამური რადიაციის წლიური ჯამები, ჩვენს მიერ კოლხეთის დაბლობის აღმოსავლეთ ნაწილში და წინამთაში განლაგებული რიგი პუნქტებისათვის (სამტრედია, ვანი, წყალტუბო, ქუთაისი, ხარაგაული, საჩხერე, ტყიბული, წიფა) გამოთვლილი წლიური ჯამების $\Sigma \varphi Q_{\text{დ}}$ სიდიდეები (მერყეობენ 4400-4800მჯ/მ საზღვრებში) იმყოფებიან ამ მასასიათებლისათვის [4]-ში დადგენილი ცვლილებების დიაკაზონში. წინამთაში განლაგებული ზოგიერთი პუნქტისათვის კი (სადგური წიფა) ჩვენს მიერ გამოთვლილი $\Sigma \varphi Q_{\text{დ}}\text{-ს}$ სიდიდე აღემატება 5200მჯ/მ-ს, რის გამოც ეს სადგური განეკუთვნება არსებულ რუპაზე მოყვანილი პელიოდნერგზებიკული დარაიონების მესამე ზონას, სადაც $\Sigma \varphi Q_{\text{დ}}\text{-ს}$ სიდიდეები მერყეობენ 5000-5200მჯ/მ-ის საზღვრებში.

მეოთხე ზონაში პელიოდანადგარების მუშაობის ხანგრძლივობა მერყეობს წელიწადში 1700-1800, ზაფხულის პერიოდში (VI-VIII) 550-650 საათის საზღვრებში, მოცდენების ხანგრძლივობა კი შესაბამისად 6900-7000 (წლიწადი) და 1600-1650 (VI-VIII) საათის საზღვრებში. ამ ზონისათვის არსებული კადასტრის მაჩვენებლები უზრუნველყოფენ პელიოდანადგარების ცალკეული სახეობების გამოყენებას.

შესამე ზონა მოიცავს კოლხეთის დაბლობის წინამთას, რომელიც შემოფარგლულია რაჭის, მესხეთის და ლიხის ქედებით. ამ ზონაში პორიზონტალურ ზედაპირზე მზის პირდაპირი რადიაციის თვიური (I,VII) ჯამები $\Sigma S_{\text{დ}}$ იცვლებიან შესაბამისად 100-დან 120მჯ/მ-დე (I) და 350-დან 400მგ/მ-დე (VII), სეზონური ჯამები (V-IX)-1700-დან 1800მჯ/მ-დე, წლიური ჯამები-დან 2800მჯ/მ-დე. ამავე ზონაში ჯამური რადიაციის თვიური ჯამები $\Sigma \varphi Q_{\text{დ}}$ (I) და $\Sigma \varphi Q_{\text{დ}}$ (VII) იცვლებიან 220-დან 230მჯ/მ-დე (I) და 600-დან 650მჯ/მ-დე (VII), წლიური ჯამები $\Sigma \varphi Q_{\text{დ}}$ კი 5000-დან 5200მჯ/მ-დე. მზის ნათების ხანგრძლივობა მერყეობს: თვეში 120-130 (I) და 250-270 (VI), სეზონში 1100-1200 (V-IX), წელიწადში 2000-2200 საათის ფარგლებში. საერთო ღრუბლიანობის რაოდენობა იცვლება იანვარში 6.0-6.5 ბალამდე, ივლისში კი 5.0-5.5 ბალამდე. საერთო ღრუბლიანობით მოწმენდილ დღეთა რაოდენობა წელიწადში მერ-

ყეობს 50-60-ის ფარგლებში. ამ ზონაში არსებული კადასტრის მახასიათებლები უზრუნველყოფები მცირე და საშუალო ზომის პელიოდანადგარების რაციონალურ გამოყენებას.

3.3. ქარის ენერგეტიკული რესურსები

ქარის ენერგია წარმოადგენს ეკოლოგიურად სუფთა, ალღენადი და ამოუწურავი ენერგიის ერთეულთ სახეობას, მას პიდროვენერგიასა და მზის ენერგიასთან ერთად მნიშვნელოვანი წვლილის შეტანა შეუძლია ქვეყნის სათბობენერგეტიკულ ბალანსში. ქარის ენერგიის პრაქტიკული გამოყენების მიზნით შესწავლილი უნდა იქნეს ქარის რეგუმული მახასიათებლებები. საქართველოში ამ პრობლემის კვლევა დაიწყო XX საუკუნის 50-იანი წლებიდან. 1959 წელს გამოქვეყნდა ნაშრომი (Мелия Г.Т.), რომელშიც შეფასებულია საქართველოს ქარის ენერგორესურსების პოტენციალი. ამავე წელს გამოქვეყნდა მეორე ნაშრომი (Сухишвили Э.В.), რომელშიც კოლხეთის დაბლობისა და შავი ზღვის სანაპირო რაიონებისათვის გაანალიზირებულია ქარის რეჟიმული მახასიათებლები და ენერგორესურსები. 1968 წელს გამოცემულ კლიმატურ ცნობარში, მოცემულია ქარის რეჟიმული მახასიათებლებები საქართველოს ტერიტორიაზე (ქარის საშუალო თვიური და წლიური სიჩქარე, ქარის საშუალო თვიური და წლიური სიჩქარე დღევდამის სხვადასხვა საათებში, გრადაციების მიხედვით ქარების სიჩქარეების ალბათობა, ძლიერი ქარებით ($\geq 15\text{d}/\text{წ}$) დღეების საშუალო და მაქსიმალური რაოდენობა, ქარის სიჩქარის დღევდამური სვლა და სხვა). 1971 წელს ინხსტიტუტის მიერ გამოცემულ ნაშრომში (Климат и климатические ресурсы Грузии) საქართველოს ტერიტორიისათვის ქარის საშუალო თვიური და საშუალო წლიური სიჩქარეების ანალიზის საფუძველზე დადგენილია ქარის ენერგო დანადგარების განლაგების პერსპექტიული რაიონები და მოცემულია ქარის ენერგორესურსების განაწილების სქემატური რუკა. 1987 წელს გამოქვეყნდა ფუნდამენტური ნაშრომი (Сванидзе Г.Г., Гагуа В.П., Сухишвили Э.В.) რომელშიც სპეციალურ ლიტერატურაში დამუშავებული ქარის რესურსების კადასტრული შესწავლის და

შეფასების მეთოდიკის გამოყენებით, დაღგენილია ქარის ენერგო დანადგარების ექსპლუატაციის რეჟიმული მახასიათებლების განაწილების კანონზომიერებები საქართველოს ტერიტორიაზე და მოცემულია ქარის ენერგორესურსებით მისი სქემატური დარაიონება. 2004 წელს გამოქვეყნდა “საქართველოს ქარის ენერგეტიკული ატლასი”, რომელშიც გაანალიზებულია ქარზე საქართველოს მეტეორსადგურების ქსელზე (165 მეტეორსადგური) არსებული მრავალწლიური დაკვირვებების რიგები და 8 პერსპექტიულ მოქადანზე დამონტაჟებულ მაღლივ მეტეორანძენზე მიღებული შედარებით მოკლევადიანი (2-5წელი) ინფორმაცია. ატლასში მოყვანილია ქარის რეჟიმისა და ენერგეტიკული პოტენციალის მოდელირება, რომელშიც გათვალისწინებულია რელიეფის, დამახრდილველი დაბრკოლებებისა და ქეფების ზედაპირის უსწორმასწორობის (სიხისტის) გავლენა ქარის საშუალო სიჩქარე წარმოადგენს კადასტრის იმ მნიშვნელოვან ერთ-ერთ მახასიასიათებელს, რომელიც აუცილებელია ქარის ენერგეტიკული პოტენციალის პრაქტიკული გამოყენების პერსპექტიულობის შეფასების თვალსაზრისით. ცხრილი 3.3.1-ში მოცემულია ქარის საშუალო თვიური და წლიური სიდიდეები იმერეთის რამდენიმე პუნქტისათვის.

როგორც ცხრილი 3.3.1-დან ჩანს, ადგილის სიმაღლის მატებისას ადგილი აქვს ქარის საშუალო თვიური და წლიური სიჩქარის ზრდას სადგურ მთა საბუეთზე ქარის საშუალო წლიური სიჩქარე შეადგენს 8,3მ/წმ-ში, მაგრამ, როდესაც დაბლობ სადგურებზე ქარის საშუალო წლიური სიჩქარე არ ადგენატება 2,9 მ/წმ-ში (სამტრედია). ქარის საშუალო წლიური სიჩქარე განსახილველ ტერიტორიაზე მერყეობს 1,3 მ/წმ-დან (საჩხერე) 8,3 მ/წმ-დე (მთა საბუეთი).

ქარის სიჩქარის საშუალო თვიურ და საშუალო წლიურ სიდიდეებთან ერთად ქარის ენერგეტიკული კადასტრის მნიშვნელოვანი მახასიათებელია ქარის აქტიური და არააქტიური სიჩქარეების სიდიდე, მისი ხანგრძლივობისა და წელიწადში ქარის სხვადასხვა სიჩქარეების (0-2, \geq 3, \geq 5, \geq 8, \geq 10) განმეორადობის ალბათობა მოცემულია ცხრილში 3.3.2-ში.

ცხრილი 3.3.1. ქარის სიჩქარის საშუალო თვიური და წლიური სიდიდეები (მ/წ)³

თ ვ ე კ													წელი
I	II	III	IV	V	VI	VII	VIII	IX	X	XI	XII		
სამტრედია													
3.4	3.8	3.8	3.4	2.9	2.4	1.9	1.9	2.0	2.5	3.2	3.4	2.9	
საქარა													
2.0	2.2	2.9	2.7	2.4	2.1	2.0	2.0	1.8	1.5	2.0	1.8	2.0	
საჩხერე													
0.7	1.0	1.7	1.9	1.8	1.7	1.5	1.5	1.3	1.0	0.6	0.6	1.3	
ტყიბული													
2.6	2.9	2.9	2.5	2.5	1.5	1.3	2.0	2.2	2.6	2.4	2.2	2.3	
ქუთაისი													
6.9	7.5	7.3	6.3	5.5	4.4	3.7	4.0	4.7	5.8	6.1	6.2	5.7	
წითელი													
2.4	2.4	2.2	2.0	1.8	1.4	1.3	1.6	1.9	2.2	2.1	1.9	1.9	
მთა საბუეთი													
8.2	8.5	8.6	9.0	8.3	7.4	7.1	8.4	8.8	8.8	8.8	7.7	8.3	
ხონი													
2.3	2.4	2.6	2.6	2.0	1.6	1.4	1.5	1.4	1.8	2.7	2.5	2.3	
წყალტუბო													
1.6	1.6	1.9	2.2	1.6	1.4	1.3	1.4	1.1	1.2	1.8	1.6	1.6	
დიმი													
3.5	3.5	3.5	3.2	2.5	2.2	1.8	2.2	2.2	2.5	3.4	3.6	2.8	
ვანი													
2.9	3.3	3.5	3.3	2.6	2.2	1.8	1.9	1.7	3.2	3.2	3.3	2.7	
სარაგაული													
2.2	2.5	3.1	2.8	2.2	1.9	1.7	2.0	2.3	2.7	3.7	3.1	2.5	

ვინაიდან ქარის ძრავები წყნარი სვლით იწყებენ მუშაობას 3-3.5 მ/წ-ში ქარის სიჩქარეების დროს, ხოლო ქარის ძრავები ჩქარი სვლით იწყებენ მუშაობას 4,5-5,0 მ/წ-ში სიჩქარეების პირობებში, ამიტომ ქარის სამუშაო სიჩქარის ქვედა ზღვრად მიღებულია 3 მ/წ-ში სიჩქარე. ქარის

სიჩქარის ($v \geq 3\text{მ}/\text{წ}$) წლიური განმეორადობა განსაზღვევს ტერიტორიაზე იცვლება 34%-დან (ვანი) 75%-მდე (მთა საბუეთი). მთა საბუეთზე ქარის საშუალო სიჩქარის

$v \geq 5\text{მ}/\text{წ}\text{მ}$ განმეორადობა შეადგენს 48%-ს. აღსანიშნავია, რომ მამისონის უდელტეხილზე და ცხრაწყაროში ამ მახასიათებლის განმეორადობა შეადგენს შესაბამისად 52 და 47%-ს.

ცხრილი 3.3.2. ქარის აქტიური ($v \geq 3\text{მ}/\text{წ}\text{მ}$, $v \geq 5\text{მ}/\text{წ}\text{მ}$) და არააქტიური ($v=0-2\text{მ}/\text{წ}\text{მ}$) სიჩქარეების განმეორადობა (%) წელიწადში

სადგური	არის სიჩქარე, მ/წმ				
	0-2	≥ 3	≥ 5	≥ 8	≥ 10
სამტკიცია	56	44	25	10	0
განი	66	34	20	8	5
ქუთაისი	36	64	44	29	23
ხარაგაული	62	38	24	12	7
წილა	64	36	17	5	2
ტყიბული	65	35	26	10	6
კორპორაცია	55	45	27	7	2
მთა საბუეთი	25	75	48	39	31

ქარის სამუშაო სიჩქარის მნიშვნელოვანი განმეორადობით ხასიათდება კოლხეთის დაბლობის ცენტრალური ნაწილი. ქუთაისში ქარის სამუშაო სიჩქარის $v \geq 3\text{მ}/\text{წ}\text{მ}$ განმეორადობა შეადგენს 64%-ს.

ქარის სამუშაო სიჩქარეების საერთო წლიური ხანგრძლივობის განმეორადობა (%) წელიწადში საათების საერთო რიცხვზე დამოკიდებულებით (1) და ქარის სხვადასხვა სიჩქარის ხანგრძლივობის განმეორადობა (%) სამუშაო სიჩქარეების საერთო ხანგრძლივობაზე დამოკიდებულებით წელიწადში (2) მოცემულია ცხრილ 3.4.3.-ში.

როგორც ცხრილიდან ჩანს, წელიწადში სამუშაო სიჩქარეების საერთო წლიური ხანგრძლივობის განმეორადობა წელიწადში საათების საერთო რიცხვზე დამოკიდებულებით ქარის ძრავებისათვის ნელი ($v \geq 3\text{მ}/\text{წ}\text{მ}$) და სწრაფი ($v \geq 5\text{მ}/\text{წ}\text{მ}$) სვლით მაქსიმალურია მთა საბუეთზე და ქუთაისში და შესაბამისად ტოლია 81 და 56% ისა (მთა საბუეთი) და 56 და 44%-ისა (ქუთაისი). დანარჩენ საღვურებზე განმეორადობა მერყეობს ქარის ძრავებისათვის ნელი სვლით 29-44%-ის, სწრაფი (ჩქარი) სვლით 7-24%-ის ფარ-

გლებში. რაც შეეხება სხვადასხვა სიჩქარის ხანგრძლივობის განმეორადობას სამუშაო სიჩქარეების საერთო ხანგრძლივობაზე დამოკიდებულებით, ის მაქსიმალურია ქარის სიჩქარეებისათვის $v \geq 5\theta/\tilde{\theta}$ და მერყეობს ყველა სადგურისათვის (წიფის გამოკლებით, სადაც იგი შეადგენს 21%-ს) -53 (სამტრედია) -72%-ის საზღვრებში (ტყიბული).

ცხრილი 3.3.3. ქარის სამუშაო სიჩქარეების საერთო წლიური ხანგრძლივობის განმეორადობა (%) წელიწადში საათების საერთო რიცხვზე დამოკიდებულებით (1) და ქარის სხვადასხვა სიჩქარის ხანგრძლივობის განმეორადობა (%) სამუშაო სიჩქარეების საერთო ხანგრძლივობაზე დამოკიდებულებით წელიწადში (2).

სადგური	არის სიჩქარე, მ/წმ			
	$v \geq 3$	$v \geq 5$	$v \geq 8$	$v \geq 10$
1				
სამტრედია	42	23	10	6
ვანი	29	16	6	4
ქუთაისი	69	44	23	22
ხარაგაული	34	21	10	5
წიფა	33	7	4	2
ტყიბული	32	23	8	5
კორბოული	44	24	5	1
მთა საბუეთი	81	56	37	30
2				
სამტრედია	100	53	22	14
ვანი	100	56	20	12
ქუთაისი	100	63	40	32
ხარაგაული	100	62	30	16
წიფა	100	21	12	5
ტყიბული	100	72	26	15
კორბოული	100	56	12	3
მთა საბუეთი	100	69	45	37

ქარის საშუალო სიჩქარეების ზრდის პარალელურად ადგილი აქვს მათი ხანგრძლივობის განმეორადობის შემცირებას. ქარის სიჩქარეებისათვის $v \geq 10\theta/\tilde{\theta}$ ეს მახასიათებელი შეადგენს ქუთაისში და მთა საბუეთზე შესაბამისად 32 და 37-ს, კორბოულში და წიფაში მერყეობს 3-

5%-ის საზღვრებში, დანარჩენ სადგურებზე კი 12 (ვანი) -16 (ხარაგაული) %-ის საზღვრებში. ქარის საშუალო სიჩქარეების $v \geq 3\text{მ}/\text{წ}$, $v \geq 5\text{მ}/\text{წ}$) განმეორადობა წელიწადის სეზონების მიხედვით მოცემულია ცხრილ 3.3.4.

ცხრილი 3.3.4. ქარის სამუშაო სიჩქარეების ($v \geq 3\text{მ}/\text{წ}$, $v \geq 5\text{მ}/\text{წ}$) განმეორადობა (%) წელიწადის სეზონების მიხედვით

ზამთარი		გაზაფხული		ზაფხული		შემოდგომა	
≥ 3	≥ 5	≥ 3	≥ 5	≥ 3	≥ 5	≥ 3	≥ 5
სამტრედია							
51	32	51	31	38	18	38	20
ვანი							
75	19	39	25	30	16	32	19
ქუთაისი							
71	52	70	51	56	37	59	36
ხარაგაული							
36	23	41	27	35	18	19	27
წიფა							
44	24	39	16	68	9	36	20
ტყიბული							
35	27	40	29	30	19	36	28
კორბოული							
45	32	50	31	39	19	44	21
მთა საბუეთი							
74	56	78	61	75	54	73	55

მთელი წლის განმავლობაში აღინიშნება ქარის სამუშაო სიჩქარეების $v \geq 3\text{მ}/\text{წ}$, $v \geq 5\text{მ}/\text{წ}$) შედარებით დაბალი მნიშვნელობები.

ქარის საშუალო სიჩქარეების ($v \geq 3\text{მ}/\text{წ}$) საერთო ხანგრძლივობა (სთ) წელიწადის სეზონების მიხედვით მოცემულია ცხრილ 3.3.5.-ში.

როგორც ცხრილი 3.3.4. ჩანს, სადგურ მთა საბუეთზე ქარის სამუშაო სიჩქარეების განმეორადობა $v \geq 3\text{მ}/\text{წ}$ -სათვის მთელი წლის განმავლობაში თითქმის სტაბილურია და მერყეობს შესაბამისად 73% (შემოდგომა)-78%-ის საზღვრებში (გაზაფხული). ანალოგიურ შემთხვევას ადგილი

აქვს ქარის სამუშაო სიჩქარეების $v \geq 5\delta/\sqrt{\delta}$ სიდიდეებისათვის: მთელი წლის განმავლობაში ქარის სამუშაო სიჩქარეების განმეორადობა მერყეობს 54% (ზაფხული) - 61%-ის (გაზაფხული) საზღვრებში. $v \geq 3\delta/\sqrt{\delta}$ სამუშაო სიჩქარეების შემთხვევისათვის განმეორადობის მაღალი მნიშვნელობებია დაფიქსირებული ქუთაისში 71% (ზამთარი) და 70% (გაზაფხული) და ვანში (75%, ზამთარი).

ცხრილი 3.3.5. ქარის სამუშაო სიჩქარეების ($v \geq 3\delta/\sqrt{\delta}$) საერთო ხანგრძლივობა (სთ) წლიობის სეზონების

სამგრედია	გაზაფხული							
	1134	817	629	407	344	275	201	173
ვანი	787	486	473	318	312	191	187	126
ქუთაისი	1688	1328	1120	1002	816	666	554	551
ხარაგაული	862	621	544	403	383	267	251	168
წიფა	789	324	312	164	159	88	81	36
ტყიბული	833	709	687	366	357	199	128	121
კორბოული	1091	802	632	418	277	150	75	38
მთა საბუეთი	1871	1605	1338	1146	1018	881	753	723
ზაფხული								
სამგრედია	716	429	301	132	99	58	41	31
ვანი	505	261	239	123	118	50	50	25
ქუთაისი	1323	927	748	569	451	403	269	239
ხარაგაული	641	403	318	196	178	101	92	41
წიფა	473	186	172	85	83	36	36	14
ტყიბული	546	455	343	215	210	122	144	63
კორბოული	779	516	346	202	108	45	19	11
მთა საბუეთი	1805	1436	1135	958	826	716	604	585
შემოდგომა								
სამგრედია	737	496	397	255	216	173	114	94
ვანი	607	353	333	220	214	120	124	81
ქუთაისი	1368	902	798	640	557	524	426	425
ხარაგაული	788	619	547	430	403	275	257	152
წიფა	699	370	346	166	138	63	59	24
ტყიბული	728	584	563	278	275	234	231	136
კორბოული	930	702	523	359	239	104	34	12
მთა საბუეთი	1727	1486	1210	1058	953	843	748	719
წლიობი								
სამგრედია	3708	2568	1990	1257	1047	837	594	511

ვანი	2573	1520	1447	915	894	523	511	322
ცხრილი 3.3.5.-ის								გაგრძელება
ქუთაისი	6014	4492	3814	3170	2687	2402	1933	1926
ხარაგაული	2984	2129	1836	1345	1263	887	800	481
წიფა	2872	1350	1280	663	626	335	324	155
ტყიბული	2820	2282	2103	1176	1147	638	705	416
კორბოული	3837	2851	2132	1422	910	477	227	114
მთა საბუქო	7127	6003	4901	4217	3683	3224	2755	2656

დანარჩენ სადგურებზე ოოგორც ცხრილ 3.3.5-ში მოყვანილი მონაცემებიდან ჩანს, განსახილველ პუნქტებში ქარის სამუშაო სიჩქარის ($v \geq 3\text{m}/\text{წ}$) საერთო ხანგრძლივობა წელიწადში მერყეობს 2573 (ვანი) -7127 (მთა საბუქო) საათის საზღვრებში. რიონის ხეობაში ამ მასასიათებლების სიდიდე შეადგენს არანაკლებ 2573 (ვანი) საათისა. ამასთან ერთად, მისი მაქსიმალური მნიშვნელობა აღინიშნება ქუთაისის რაიონში (6014-საათი), რაც შეადგენს წელიწადში საათების საერთო რიცხვის დაახლოებით 70%-ს. ქარის ენერგეტიკის ოვალსაზრისით განსაკუთრებული ინტერესს წარმოადგენს ლინის ღია ქედზე განლაგებული სადგური მთა საბუქო, სადაც ქრიან დასავლეთის (აღმოსავლეთის) ძლიერი ქარები. ამ სადგურში ქარის სამუშაო სიჩქარეების ($v \geq 3\text{m}/\text{წ}$) საერთო ხანგრძლივობა წელიწადში შეადგენს წელიწადში საათების საერთ რიცხვის 80%-ს. დანარჩენ პუნქტებში ქარის სამუშაო საჩქარეების ($v \geq 3\text{m}/\text{წ}$) საერთო ხანგრძლივობა წელიწადში მერყეობს 3000-4000 საათის საზღვრებში. ქარის სამუშაო სიჩქარეების ზრდისას ადგილი აქვს მათი საერთო ხანგრძლივობის შემცირებას. მაგალითად, როდესაც $v \geq 10\text{m}/\text{წ}$, მაშინ ქარის ამ სამუშაო სიჩქარის ხანგრძლივობა წელიწადში სამტრედიაში ეცემა 511 საათამდე (თითქმის შვიდჯჯერ), ქუთაისში 1926 საათამდე (სამჯერ), მთა საბუქოში 2656 საათამდე (თითქმის სამჯერ).

ქარის სამუშაო სიჩქარეების ($v \geq 3\text{m}/\text{წ}$) საშუალო უწყვეტი ხანგრძლივობა განსახილველ ტერიტორიაზე იცვლება წელიწადის სეზონზე დამოკიდებულებით, მაგრამ ცვლილების ამპლიტუდა არ აღემატება (სადგურები: სამტრედია, ვანი, ხარაგაული, წიფა, ტყიბული, კორბოული)

11 საათს. ამპლიტუდის A სიდიდე მერყეობს 6 (ხარაგაული)-11 (სამტრედია) საათის ფარგლებში.

მთა საბუეთზე იგი შეადგენს 15 საათს, ქუთაისში კი 28 საათს. ქარის სამუშაო სიჩქარეების ($v \geq 3\text{მ}/\text{წ}$) საშუალო უწყვეტი ხანგრძლივობის τ_1 მაქსიმუმი აღინიშნება ქუთაისში ზამთარში—43 საათი, მინიმუმი—ვანში ზაფხულში—7 საათი. წელიწადის განმავლობაში ამ მახსასითებლის მაღალი მაჩვენებლებით გამოიჩინა სადგური მთა საბუეთი, სადაც გაზაფხულზე და შემოდგომაზე იგი შეადგენს 38 საათს, ზაფხულში 32, ზამთარში კი 23 საათს.

ქარის სამუშაო სიჩქარეების ($v \geq 3\text{მ}/\text{წ}$) უდიდესი უწყვეტი ხანგრძლივობა T_{max} T_{max} სადგურებზე შენდა წელიწადის ციკი პერიოდის (X-II) სხვადასხვა თვეში და მერყეობს 222 (სამტრედია)—336 (მთა საბუეთი) საათის საზღვრებში. სადგურ ქუთაისში T_{max} შეადგენს 312 საათს. T_{max} -ის უზრუნველყოფა მერყეობს 0.6-0.8%-ის საზღვრებში. ქარის ენერგეტიკული კადასტრის მნიშვნელოვან შემადგენელ ნაწილს წარმოადგენს, გარდა ქარის საშუალო სიჩქარის და მისი აქტიური სიდიდეებისა, აგრეთვე არაქტიური სიჩქარეების ($v=0...2\text{მ}/\text{წ}$) სიდიდის, ხანგრძლივობის და განმეორადობის ალბათობა.

ქარის არააქტიური სიჩქარეების ($v=0...2\text{მ}/\text{წ}$) საერთო ხანგრძლივობა t (სთ) და ქარის არაქტიური სიჩქარეების ($v=0...2\text{მ}/\text{წ}$) ხანგრძლივობის განმეორადობა $P\%$ წელიწადში საათების რიცხვიდან მოცემულია ცხრილ 3.3.7.-ში.

როგორც ცხრილ 3.3.6.-დან ჩანს, ქარის არაქტიური სიჩქარეების ($v=0...2\text{მ}/\text{წ}$) საერთო ხანგრძლივობა წელიწადში t_f განსახილველ რეგიონში მერყეობს 1633 (მთა საბუეთი)—6187 (ვანი) საათის საზღვრებში. სადგურებზე: სამტრედია, ხარაგაული, წიფა, ტყიბული აღინიშნება t_f -ს ერთმანეთთან დაახლოვებული მნიშვნელობები. ამ მახასიათებლის მეორე მინიმუმი აღინიშნება სადგურ ქუთაისში. რაც შეეხება ქარის არააქტიური სიჩქარეების ($v=0...2\text{მ}/\text{წ}$) ხანგრძლივობის განმეორადობას ($P\%$) მისი აბსოლუტური მინიმუმი აღინიშნება სადგურ მთა საბუეთზე%, მეორე მინიმუმი კი ქუთაისში%. დანარჩენ სადგურებზე $P\%-ის მნიშ-$

გნელობები იცვლებიან 56 (ხარაგაული)–71%-ის (ვანი) საზღვრებში.

ცხრილი 3.3.6. ქარის ორაპტიური სიჩქარეების ($v=0...2\delta/\sqrt{3}$) საერთო ხანგრძლივობა t (სთ) და ქარის ორაპტიური სიჩქარეების ($v=0...2\delta/\sqrt{3}$) ხანგრძლივობის განმეორადობა $P\%$ წელიწადში სათვეების რიცხვიდან

სადგური	t	ზამთარი	გაზაფხული	ზაფხული	შემოდგომა	წელი
	P					
სამტრედია	t	1039	1074	1492	1447	5052
	P	12	12	17	17	58
ვანი	t	1489	1421	1703	1577	6187
	P	17	16	20	18	71
ქუთაისი	t	525	520	885	816	2746
	P	6	6	10	9	31
ხარაგაული	t	1467	1346	1567	1396	5776
	P	17	15	18	16	66
წიფა	t	1249	1419	1735	1485	5888
	P	14	16	20	17	67
ტყიბული	t	1447	1375	1662	1456	5940
	P	16	15	20	17	68
კორბოული	t	1123	1117	1429	1254	4923
	P	13	13	16	14	56
მთა საბუეთი	t	436	337	403	457	1633
	P	5	4	5	5	19

ქარის ორაპტიური სიჩქარეების ($v=0...2\delta/\sqrt{3}$) საერთო ხანგრძლივობის განმეორადობა (%) სეზონების მიხედვით წელიწადში საერთო ხანგრძლივობაზე დამოკიდებულებით (1) და ქარის ორაპტიური სიჩქარეების საშუალო უწყვეტი ხანგრძლივობის სეზონური სვლა (2) მოცემულია ცხრილ 3.3.7.-ში. აქვე მოცემულია ამ მახასიათებლების უდიდესი უწყვეტი ხანგრძლივობაც.

ქარის ორაპტიური სიჩქარეების უდიდესი უწყვეტი ხანგრძლივობა აღინიშნება ტყიბულში ქარის (306 სთ), ვანში და ხარაგაულში იგი მერყეობს 264-270 სათის საზღვრებში, წიფაში ეცემა 234, ხოლო სამტრედიაში 180 საათამდე. ამ მახასიათებლის მინიმუმი დაფიქსირებულია მთა საბუეთზე (72სთ) და ქუთაისში (84სთ). ქარის ორაპტიური სიჩქარეების ($v=0...2\delta/\sqrt{3}$) უდიდესი უწყვეტი ხან-

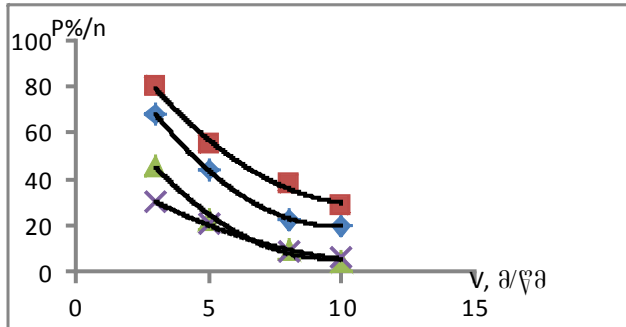
გრძლივობის უზრუნველყოფა მერყეობს 0,5–0,8%-ის საზღვრებში.

ცხრილი 3.3.7. ქარის არააქტიური სიჩქარეების ($v=0...2$ მ/წმ) საერთო ხანგრძლივობის განმეორადობა (%) სეზონების მიხედვით წელიწადში საერთო ხანგრძლივობაზე დამოკიდებულებით (1), ქარის არააქტიური სიჩქარეების ($v=-0...2$ მ/წმ) საშუალო უწყვეტი ხანგრძლივობის სეზონური სვლა (2). (საათი), ქარის არააქტიური სიჩქარეების ($v=0...2$ მ/წმ) უდიდესი(უწყვეტი ხანგრძლივობა (სთ) და მისი უზრუნველყოფა (%). (ე. სუხიშვილი 1987)

სადგური	1	წელიწადის სეზონი				თვეების რიცხვი	თვეების რიცხვი	%
	2	თებერვალი	ოქტომბერი	ნოემბერი	დეკემბერი			
სამტრედია	1	20	21	30	29	180	X	0.5
	2	21	16	17	22			
განი	1	24	23	28	25	264	X	0.5
	2	24	20	31	28			
ქუთაისი	1	19	19	32	30	84	I,XII	0.6
	2	14	11	12	13			
ხარაგაული	1	26	23	27	24	270	III	0.6
	2	29	21	19	24			
წიფა	1	21	24	30	25	234	VI	0.5
	2	28	24	29	27			
ტყიბული	1	24	23	28	25	306	II	0.8
	2	38	26	29	32			
პორბორული	1	23	23	29	25	126	III	0.6
	2	26	21	21	23			
მთა საბუქთო	1	27	21	24	28	72	XI	0.6
	2	13	11	11	12			

ქარის საშუალო სიჩქარეების საერთო წლიური ხანგრძლივობის განმეორადობის $P(%)$ წელიწადში საათების

საერთო რაოდენობასთან n (სო) შეფარდების $\frac{p}{n}$ დამოკიდებულებაარის სიცქარეების ($v \geq 3 \dots 10 \text{ გ/მ}$) სიდიდეზე $\frac{p}{n} = f(v)$ გრაფიკულად წარმოდგენილია ნახ.3.3.1.-ზე.



ნახ. 3.3.1. ქარის საშუალო სიჩქარეების საერთო წლიური ხანგრძლივობის განმეორადობის $P(\%)$ წელიწადში საათების საერთო რაოდენობასთან n (სო) შეფარდების დამოკიდებულება ქარის სამუშაო სიჩქარეების $V(3..10 \text{ გ/მ})$ სიდიდეზე. □-მთა საბუეთი, ⬧-ქუთაისი, Δ-სამტრედია, X-ტყიბული.

ეს დამოკიდებულება მთა საბუეთისათვის, ქუთაისისა და სამტრედიისათვის ანალიზურად წარმოიდგინება პირველი რიგის პიპერბოლის განტოლებით:

$$\text{მთა საბუეთი } \frac{p}{n} = -20,73 + \frac{392,61}{v} \quad 3.3.1.$$

$$\text{ქუთაისი } \frac{p}{n} = -21,92 + \frac{325,07}{v} \quad 3.3.2$$

$$\text{სამტრედია } \frac{p}{n} = -21,07 + \frac{227,65}{v} \quad 3.3.3$$

სადგურ ტყიბულისათვის ამ დამოკიდებულებას აქვს წრფივი ფუნქციის სახე:

$$\frac{p}{n} = 40,0 - 3,33v \quad 3.3.4.$$

სადგურების: ქუთაისისა და მთა საბუეთისათვის ქარის სამუშაო სიჩქარის საერთო ხანგრძლივობის t (საათი) ქარის საშუალო სიჩქარის $v\text{მ/წმ}$ სიდიდეზე

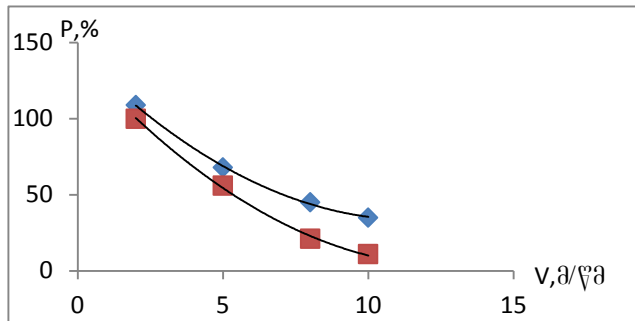
დამოკიდებულებები ანალიზურად წარმოიდგინებიან
წრფივი ფუნქციების სახით:

სადგური მთა საბუეთი $t=9440-780v$ 3.3.5.

სადგური ქუთაისი $t=8160-720v$ 3.3.6.

3.3.5 და 3.3.6. გამოსახულებებში v იცვლება $3-10\text{მ}/\text{წ}$ -ის საზღვრებში.

ქარის სხვადასხვა სიჩქარეების $v \geq 3-10\text{მ}/\text{წ}$ ხანგრძლივობის განმეორადობის $P(\%)$ დამოკიდებულება სამუშაო სიჩქარეების საერთო ხანგრძლივობაზე წელიწადში მოცემულია ნახ. 3.3.2.-ზე.



ნახ.3.3.2. ქარის სხვადასხვა სიჩქარეების ხანგრძლივობის განმეორადობა (%) სამუშაო სიჩქარეების საერთო ხანგრძლივობაზე დამოკიდებულებით. წელიწადი. ■ - მთა საბუეთი, ♦ - ტყიბული, სამტრედია, ვანი.

ნახაზიდან ჩანს, რომ $P(%)$ მნიშვნელობები მაქსიმალურია დაბალი სიჩქარეების შემთხვევაში ($v \geq 3,5\text{მ}/\text{წ}$). აღსანიშნავია, რომ ქუთაისისა და მთა საბუეთისათვის დამოკიდებულების $P=f(v)$ შესაბამისი მნიშვნელობები (∇ ერტილები) განლაგდა ერთ, ხოლო ვანის, სამტრედიისა და ტყიბულისათვის-მეორე მრუდზე. როგორც ნახ. 3.3.2.-დან ჩანს, სამუშაო სიჩქარეების ფიქსირებული მნიშვნელობებისათვის განმეორადობის $P(%)$ სიდიდეები ქუთაისისა და მთა საბუეთისათვის გაცილებით მეტია სხვა პუნქტებთან შედარებით.

დამოკიდებულება $P=f(v)$, როგორც ქუთაისისა და მთა საბუეთისათვის (მრუდი 1), ასევე ვანის, სამტრედიისა და

ტყიბულისათვის (მრუდი 2) ანალიზურად წარმოიდგინება მეორე რიგის პიპერბოლის განტოლებით:

სადგურები ქუთაისი და მთა საბუეთი:

$$p = 35,28 + \frac{23,78}{v^2}$$

3.3.7.

სადგურები: ვანი, სამტრედია, ტყიბული

$$p = 16,01 + \frac{30,09}{v^2}$$

3.3.8.

3.3.7 და 3.3.8 განტოლებებში ქარის სამუშაო სიჩქარე უცვლება 3-10მ/წმ-ის ფარგლებში. $P=f(v)$ დამოკიდებულების ანალიზური სახეების დადგენისას გამოთვლების გამარტივების მიზნით, არგუმენტის ქარის სამუშაო სიჩქარეების: 3,4,5,6,7,8,9,10მ/წმ შემცირებული იქნა 5-ჯერ. ამიტომ $P(\%)$ -ს სიდიდეების გამოთვლისას 3.4.7. და 3.4.8. გამოსახულებებში ჩასმული უნდა იქნეს ქარის სამუშაო სიჩქარეების 5-ჯერ შემცირებული მნიშვნელობები (0.6; 0.8; 1.0; 1.2; 1.4; 1.6; 1.8 და 2.0მ/წმ) საქართველოს ტერიტორიის ქარის ენერგეტიკული რესურსებით კომპლექსური დარაიონების თანახმად (ე. სუხიძვილი, 1987) იმერეთის ტერიტორიის დაბლობი ნაწილი ხასიათდება ქარის ენერგეტიკული რესურსებით უზრუნველყოფის დიდი სიჭრელით. განსაკუთრებით გამოირჩევა ქუთაისის რაიონი, სადაც შეიძლება ეფექტურად გამოყენებული იქნეს ნებისმიერი ტიპის ქარის ენერგეტიკული დანადგარები. ეს რაიონი ხასიათდება შემდეგი კადასტრული სიდიდეებით: ქარის სიჩქარის საშუალო წლიური სიდიდე აქ მერყეობს 4.5-5.5 მ/წმ-ის საზღვრებში. ქარის საშუალო სიჩქარეების ($v \geq 3\text{m}/\text{წმ}$ და 5 მ/წმ) საერთო ხანგრძლივობა მერყეობს 6000-6200 ($v \geq 3\text{m}/\text{წმ}$) და 3600-3800 ($v \geq 5\text{m}$) საათის საზღვრებში. ქარისი სიჩქარეების 2მ/წმ ლივობაკი 2750 საათის საზღვრებში. ქარი სამუშაო სიჩქარეების ≥ 3 მ/წმ) საშუალო უწყვეტი ხანგრძლივობა იცვლება 20-25 საათის, ხოლო ქარის არააქტიური სიჩქარეებისა ($v=0 \dots 2\text{m}/\text{წმ}$) 12-13 საათის საზღვრებში. ქუთაისიდან ნებისმიერი მიმართულებით სამტრედია, დაბლა ციხე, ქვემო დიმი ქარის ენერგეტიკული მახასიათებლების რაოდენობრივი მაჩვენებლები თანდათან მცირდება: აქ ქარის საშუალო წლიური

სიჩქარე მერყეობს 2.5-5.0გ/წმ-ის საზღვრებში. ქარის სამუშაო სიჩქარეების ($v \geq 3\text{გ/წმ}$, $v \geq 5\text{გ/წმ}$) საერთო ხანგრძლივობა მერყეობს შესაბამისად 3000-3700 და 1450-2550საათის საზღვრებში, არააქტიური სიჩქარეების ($v = 0 \dots 2\text{გ/წმ}$) ხანგრძლივობა კი—5100-5200საათის საზღვრებში. ქარის სამუშაო სიჩქარეების ($v \geq 3\text{გ/წმ}$) საშუალო უწყვეტი ხანგრძლივობა იცვლება 13-18საათის, ხოლო არააქტიური სიჩქარეების უწყვეტი ხანგრძლივობა—18-20საათის საზღვრებში. აქ არსებული ქარის ენერგეტიკული რესურსები უზრუნველყოფენ ნელმავალი ენერგოდანადგარების მუშაობის რენტაბელურ პირობებს. ნებისმიერი ქარის ენერგეტიკული დანადგარების მაქსიმალურად ეფექტური გამოყენების პირობები არსებობს სადგურ მთა საბუეთზე: აქ ქარის საშუალო წლიური სიჩქარე მერყეობს 5.5-9.0გ/წმ-ის საზღვრებში, ქარის სამუშაო სიჩქარეების ($v \geq 3\text{გ/წმ}$, $v \geq 5\text{გ/წმ}$) საერთო ხანგრძლივობა კი შესაბამისად 6700-7100 და 3900-4200 საათის საზღვრებში. ქარის არააქტიური სიჩქარეების ($v = 0 \dots 2\text{გ/წმ}$) საერთო ხანგრძლივობა კი 1600-2000საათის საზღვრებში. ქარის საშუალო სიჩქარეების ($v \geq 3\text{გ/წმ}$) საშუალო უწყვეტი ხანგრძლივობა იცვლება 30-35საათის, ხოლო არააქტიური სიჩქარეების ($v = 0 \dots 2\text{გ/წმ}$) უწყვეტი ხანგრძლივობა 10-13საათის საზღვრებში.

თავი IV. აგროკლიმატური რესურსები

4.1. აგროკულტურების სითბოთი და ტენით უზრუნველყოფა

იმერეთის აგროკლიმატური რესურსები ხელსაყრელია მრავალი სახის აგროკულტურის წარმოებისათვის, განსაკუთრებით მარცვლეულის, ბოსტნეულის, ვაზის, ხეხილოვანი და სხვა. წამყვანი დარგია მევენახეობა, ხელსაყრელი პირობებია მეცხოველეობის, მეფრინველეობის, მეფუტკრეობის და მებრეშუმეობის განვითარებისათვის. მოცემული დარგების შემდგომი განვითარება და მათი პროდუქტიულობის ამაღლება მოითხოვს აგროკლიმატური რესურსების მეცნიერულად დასაბუთებულ შეფასებას და მათ ეფექტურად გამოყენებას.

აგროკულტურების ზრდა-განვითარებასა და პროდუქტიულობას ძირითადად განსაზღვრავს სითბური რეჟიმი. ტერიტორიაზე, სადაც სითბო არასაკმარისია სითბოსმოცვარული კულტურების განვითარება ნორმალურად არ მიმდინარეობს, რის შედეგად მოსავალი და მისი ხარისხი დაბალია.

სითბური რეჟიმის შეფასებისათვის მოგვავს ჰაერის ტემპერატურათვაზე ($>10^{\circ}\text{C}$) უზრუნველყოფის ცხრილი 4.1.1.

ცხრილი 4.1.1. ჰაერის ტემპერატურათვაზე ($>10^{\circ}$)

უზრუნველყოფა

მეტეო- სადგური	უ ზ რ უ ნ ვ ე ლ ყ ო ფ ა, %					
	10	30	50	70	90	95
დიმი	4650	4450	4300	4200	3950	3850
ვანი	4680	4480	4330	4230	3930	3880
საქარა	4680	4480	4330	4230	3930	3880
კორბოული	3480	3270	3120	2980	2870	2720
სამცრედია	4770	4590	4470	4360	4210	4000
საჩხერე	4080	3960	3730	3620	3460	3270
საირმე	2950	2790	2560	2450	2290	2280
ტყიბული	4070	3860	3700	3610	3430	3240
ქუთაისი	4800	4720	4480	4390	4220	4010
ქვედა გორდი	4080	3960	3730	3620	3440	3270
წყალტუბო	4820	4760	4500	4420	4240	4030
ჭიათურა	4450	4250	4090	3910	3830	3740
ხარაგაული	4450	4250	4090	3910	3830	3740
ხონი	4770	4570	4410	4320	4150	3950

ცხრილის მონაცემებიდან გამომდინარე, 10°C -ის ზევით ტემპერატურის ჯამებით 4000°C და მეტი, იმერეთის რეგიონის ტერიტორია ძირითადად უზრუნველყოფილია 50%-ით, ზღ. ღონიდან 300 მ სიმაღლემდე. აღნიშნული ტემპერატურები სრულიად უზ-

რუნელელყოფს ერთწლიანი და მრავალწლიანი კულტურების მაღალ პროცესულობას. 300 მ-დან 1000 მ სიმაღლემდე ტემპერატურის ჯამი კლებულობს 3700°C-დან 2600°C-მდე. ასეთ პირობებში შესაძლებელია სიმინდის, საგაზაფხულო ხორბლის, ბოსტნეულის, ჩაის, ვაზის (ძირითადად სააღრევ ჯიშის, ხოლო სადაც 3700°C საგვიანო ჯიშის), ხეხილოვანი და სხვა კულტურების წარმოება. 1000 მ სიმაღლის ზევით შესაძლებელია სააღრევ ხეხილოვანი, კენკროვანი და ბოსტნეული კულტურების გავრცელება, აგრეთვე პერსპექტიულია სათიბ-საძოვრების განვითარება.

იმერეთის რეგიონის რაიონებისათვის სავეგეტაციო პერიოდში აგროკულტურების სითბოთი უზრუნველყოფის პროგნოზის პრაქტიკული გამოყენების მიზნით, შედგნილია რეგრესიის განტოლებები:

დიმი, ვანი, საქართველო	$\Sigma T = -9.2n + 4839$	4.4.1.
სამტრედია, ხონი	$\Sigma T = -10.1n + 5009$	4.4.2.
საჩხერე, ტყიბული	$\Sigma T = -13.4n + 4635$	4.4.3.
ჭიათურა, ხარაგაული	$\Sigma T = -11.2n + 4798$	4.4.4.

განტოლებებში ΣT - საპროგნოზო პაერის ტემპერატურის ჯამია 10°C -ის ზევით გადასვლის თარიღის დადგომამდე, n - დღეთა რიცხვი 1 თებერვლიდან ტემპერატურის 10°C -ის ზევით გადასვლის თარიღის დადგომამდე. აღნიშნული პროგნოზის ცდომილება (S_{Up}) დასაშვებია $\pm 50^{\circ}\text{C}$, იშვიათად $\pm 100^{\circ}\text{C}$. მისი შედგენა შესაძლებელია აპრილის პირველ დეკადაში. პროგნოზის წინასწარობა 5-6 თვეა.

აგროკლიმატური რესურსებიდან კულტურების ზრდა-განვითარებაში და გარანტირებული მოსავლის მიღებაში, ასევე დიდი როლი აქვს ატმოსფერულ ნალექებს. იმერეთის ტერიტორიაზე ნალექების განაწილება არათანაბარია, რაც გარკვეულ გავლენას ახდენს აგროკულტურების პროცესულობაზე. მაგალითად, ქვემო იმერეთის ბარში გაზაფხულზე (IV-V) ნალექები შედარებით ნაკლებია (60-120 მმ) ვიდრე ზაფხულში (VI-VIII) აქტიური ვეგეტაციის დროს (70-200 მმ), გამონაკლისია დიმი (ბადდათი) - გაზაფხულზე ოდნავ მეტია ზაფხულთან შედარებით. ზემო იმერეთში პირიქით გაზაფხულზე დაიკვირვება 60-160 მმ, ზაფხულში 60-120 მმ. ნალექები ყველაზე უმეტ განაწილებულია ტყიბულის რაიონში, რაც სულიად აკმაყოფილებს კულტურების ზრდა-განვითარებას. ზემო იმერეთში ნალექები დამაკმაყოფილებელია სიმინდის ადგილობრივი ჯიშების განვითარებისა და მაღალი მოსავლისათვის.

ატმოსფერული ნალექების რაოდენობა აქტიური ვეგებაციის პერიოდში, განსაკუთრებით ქვემო იმერეთის ბარში, საღაც მეტი ცხელი დღეებია, ცალკეულ წლებში არ არის გამორიცხული კიდევ უფრო ნაკლები აღმოჩნდეს. ამიტომ საჭირო იქნება ნიადაგში ტენის რაოდენობის გაზრდა (მორწყვა, გაფხვიერება), მოსავლის შენარჩუნების მიზნით.

მოგვავს ატმოსფერული ნალექების უზრუნველყოფები 10 და 90%-ით, რაც გვიჩვნებს სავაგეტაციო პერიოდში ოვეების და სეზონების შესაბამისად ტერიტორიის ნალექებით უზრუნველყოფას (ცხრილი 4.1.2).

ცხრილი 4.1.2. ატმოსფერული ნალექებით (მმ) უზრუნველყოფა თბილ პერიოდში 10%-ით

მეტეო-საღაცური	თ ვ ე						
	IV	V	VI	VII	VIII	IX	X
დიმი	144	131	150	126	135	168	252
საქართველო	144	115	134	110	108	146	212
სამტრედია	135	110	150	175	155	210	259
ტყიანული	250	224	280	294	248	254	300
ჭიათურა	132	122	145	110	139	141	204
ხარაგაული	140	166	180	165	141	146	180
ხონი	181	163	220	264	219	260	296
90%-ით							
დიმი	31	41	39	36	29	44	54
საქართველო	38	30	34	25	23	37	32
სამტრედია	27	23	38	38	31	42	50
ტყიანული	56	50	55	88	60	52	60
ჭიათურა	30	37	34	24	17	27	32
ხარაგაული	46	56	54	36	33	37	40
ხონი	39	41	61	61	57	57	67

ცხრილის მონაცემებიდან გამომდინარე, ატმოსფერული ნალექების უზრუნველყოფა 10%-ით გაზაფხულზე ნაკლებია ზაფხულთან (აქტიური ვეგებაციის პერიოდში) შედარებით, ხოლო 90%-ით ნალექების ცხრილის მონაცემებიდან გამომდინარე, ატმოსფერული ნალექების უზრუნველყოფა 10%-ით გაზაფხულზე ნაკლებია ზაფხულთან (აქტიური ვეგებაციის პერიოდში) შედარებით, ხოლო 90%-ით ნალექების უზრუნველყოფა ზაფხულში ზოგიერთ რაიონში პირიქითაა. აქედან გამომდინარე, ზაფხულის სეზონზე ბალდათში, ზესტაფონში, ხარაგაულში და ჭიათურაში ნიადაგის მორწყვა (1-2-ჯერ) ხელს შეუწყობს აგროპულტურების ნორმალურ პროდუქტიულობას. სავეგეტაციო პერიოდში ატმოსფერული ნალექების (მმ) უზრუნველყოფა 10%-ით და 90%-ით

ტექნიკულის, ხონის, წყალტუბოს და ნაწილობრივ სამტრედიის რაიონებში სრულიად დამაკმაყოფილებელია აგროკულტურების ზრდა-განვითარებისათვის. აგროკულტურების ნორმალური განვითარებისათვის მნიშვნელოვანია ნიადაგის პროდუქტიული ტენის მარაგის ცოდნა.

ცხრილი 4.1.3-ის მიხედვით, პროდუქტიული ტენის მარაგი აღნიშნული კულტურების კვეგეტაციის დაწყებისას დამაკმაყოფილებელია, იგი განსაკუთრებით ოპტიმალურია ჩაისათვის. სიმწიფის პერიოდში სიმინდისათვის სასურველია პროდუქტიული ტენის გაზრდა დამატებით 60-70 მმ, ვაზისათვის 40-50 მმ, ხოლო ჩაისათვის დამაკმაყოფილებელია.

ცხრილი 4.1.3. მცენარეთა ფესვთა სისტემის განლაგების ნიადაგის ფენაში პროდუქტიული ტენის (მმ) მარაგი

მეტეო-სადგური	კულტურა	ნიადაგის ფენა (სმ)	კვეგეტაციის დაწყებისას ტენის მარაგი	სიმწიფის დაწყებისას (ჩაის დუკების) ტენის მარაგი
საქარა	ვაზი სიმინდი	0-70 0-100	105 184	93 134
ხონი	ჩაი	0-100	260	247

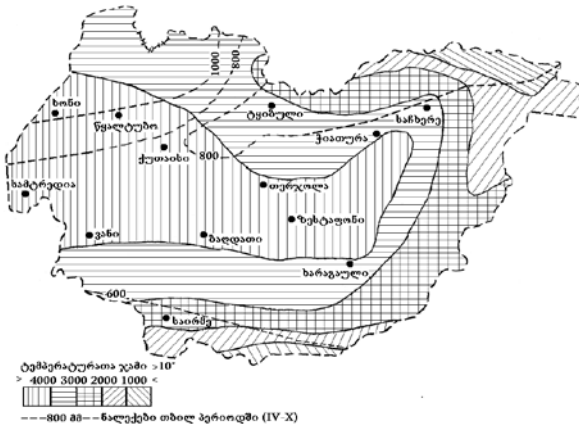
4.2. აგროკლიმატური ზონები

ფერმერულ და კერძო სექტორის მეურნეობების რენტაბელობისათვის, მნიშვნელოვანია აგროკულტურების რაციონალურად განლაგება, მათი აგროკლიმატური ფაქტორებისადმი მოთხოვნილების მიხედვით. აღნიშნულთან დაკავშირებით, აქტიურ ტემპერატურათა ჯამისა და საკვებების პერიოდში ატმოსფერული ნალექების ჯამის გათვალისწინებით შედგენილია იმერეთის რეგიონის აგროკლიმატური რუკა, რომელზეც გამოყოფილია აგროკულტურების გავრცელების 5 ზონა (ნახაზი 4.2.1).

რუკაზე მოცემული ნალექების იზოპიეტები აღნიშნავს ნალექების რაოდენობას (მმ).

I ზონა - მოიცავს ქვემო იმერეთის ბარს (დაბლობს) და ზემო იმერეთის გორაკბორცვიან ადგილებს ზღ. დონიდან 20-300 მ სიმაღლემდე, სადაც აქტიურ ტემპერატურათა ჯამი 4000°C და მეტია. ატმოსფერული ნალექების ჯამი ცივ პერიოდში 640-830 მმ, თბილ პერიოდში 600-1000 მმ.

ზონაში ბოლო წაყინვები დაიკვირვება საშუალოდ 12-2.III, პირველი წაყინვები 12-30.XI. უკინვო პერიოდის დღეთა რიცხვი შეადგენს საშუალოდ 251-274 დღეს.



ნახ. 4.2.1 იმერეთის რეგიონის აგროკლიმატური ზონები

მოცემული ზონის აგროკლიმატური რესურსები ხელსაყრელია მარცვლეულის, ვაზის, ჩაის, მანძარინის, ლიმონის (ყინვისაგან დაცვით) კიფის (აქტინიდია), ფეიშოას, სუბტროპიკული სურმის, ჟოვრზეოვგანების, თხილის, ტუნგის, კონტინენტალური ხეხილოვანების, ბოსტნეულ-ბაღეულის და სხვა კულტურების განვითარებისათვის. ცალკეულ წლებში გარანტირებული მოსავლის მიღების მიზნით, საჭირო ნიადაგის ტენიო უზრინველყოფა, ძირითადად იმ რაიონებში, სადაც ატმოსფერული ნალექები 700 მმ და ნაკლები დაიკვირვება.

II - ზონა ესაზღვრება პირველ ზონას ჩრდილოეთით, აღმოსავლეთით და სამხრეთით. იგი მდებარეობს ზღ. დ-დან 300-500 მ სიმაღლეში. აქტიურ ტემპერატურათა ჯამი $3000\text{--}4000^{\circ}\text{C}$, ატმოსფერული ნალექები ცივ პერიოდში შეადგენს $450\text{--}950$ მმ, თბილ პერიოდში $450\text{--}1190$ მმ.

ბოლო წაყინვები დაიკვირვება საშუალოდ 24.III-1.IV, პირველი წაყინვები 20.XI-29.XI. უყინვო პერიოდის ხანგრძლივობა შეადგენს 194-249 დღეს.

ზონაში შესაძლებელია მარცვლეულის, ვაზის (სააღრეო, საგვიანო ჯიში) ხეხილოვანების, ბოსტნეულის და სხვა კულტურების წარმოება. ცალქეულ წლებში, სადაც ატმოსფერული ნალექები 700 მმ და ნაკლებია სასურველია ნიადაგში ტენის პორობების გაუმჯობესება.

III - ზონა მოიცავს II ზონის ჩრდილო-აღმოსავლეთით, აღმოსავლეთით და სამხრეთით მიმდებარე ტერიტორიას ზღ. დონიდან 500-1000 მ სიმაღლეში. აქტიურ ტემპერატურათა ჯამი

შეადგენს 2000°C და მეტს, ატმოსფერული ნალექების ჯამი ცივ პერიოდში შეადგენს 600-750 მმ, თბილ პერიოდში 640-850 მმ.

ბოლო წაყინვები დაიკვირვება 2.IV-18.IV, პირველი წაყინვები 31.X-18.XI. უყინვო პერიოდის ხანგრძლივობა დაიკვირვება 185-231 დღე.

ზონაში შესაძლებელია მარცვლეულის, ბოსტნეულის, ვაზის (საადრეო ჯიში), ხეხილოვანი კულტურების ნორმალურად განვითარება.

IV - ზონა მოიცავს III ზონის ჩრდილო-აღმოსავლეთის და სამხრეთ მიმდებარე ტერიტორიებს 1000-1200 მ სიმაღლემდე. აქტიურ ტემპერატურათა ჯამი შეადგენს 1000°C და მეტს. ატმოსფერული ნალექების ჯამი ცივ პერიოდში 600-700 მმ-ზე მეტია, ხოლო თბილ პერიოდში 900-950 მმ.

ბოლო წაყინვები დაიკვირვება 23.IV-1.V, ხოლო პირველი წაყინვები 17.X-27.X. უყინვო პერიოდი შეადგენს საშუალოდ 176-188 დღეს.

აგროკულტურებიდან შესაძლებელია მარცვლეულის, კარტოფილის, ბოსტნეულის, ზოგიერთი საადრეო ხეხილოვანი, კენკროვანი კულტურების, ასევე მეცხოველეობის სათიბ-საძოვრების განვითარება.

V - ზონა ვრცელდება რეგიონის უკიდურეს ჩრდილო-აღმოსავლეთით და უკიდურეს სამხრეთით ზღ. დონიდან 1200 მ და ზევით. აქტიურ ტემპერატურათა ჯამი საგრძნობლად შემცირებულია და შეადგენს 1000°C და ნაკლებს. ნალექების ჯამი ცივ პერიოდში დაახლოებით 800 მმ-მდე, თბილ პერიოდში 1000 მმ-მდე.

ბოლო წაყინვები მოსალოდნელია გვიან 5.V, ხოლო პირველი წაყინვა საძმაოდ ადრე 13.X. უყინვო პერიოდის ხანგრძლივობა შეადგენს 158 დღეს.

ზონაში შესაძლებელია გავრცელდეს პერსპექტიული ბოსტნეული, კენკროვანი კულტურები, მეცხოველეობის წვინიანი საკვები ძირხვები, ასევე შესაძლებელია სათიბ-საძოვრების ფართოდ განვითარება.

4.3. აგროკულტურებისათვის ამინდის არახელსაყრელი მოვლენები

არახელსაყრელი მეტეოროლოგიური ფაქტორებიდან წაყინვა ერთეული საშიში მოვლენაა აგროკულტურებისათვის, რაც დიდ ექონომიკურ ზარალს აუქნებს სოფლის მეურნეობას. მისი ინტესიურობიდან გამომდინარე, გაზაფხულზე შეიძლება სხვადასხვა ხარისხით დაზიანდეს მცენარეთა ნორჩი ფოთლები, ყვავილები, ნასკვები, ჩითილები, ვაზისა და ჩაის ნორჩი დუჟები და სხვა.

რადგან გაზაფხულზე მცენარეთა აღნიშნული ორგანოები უკვე განვითარებულია და ამ დროს ისინი მეტად მგრძნობიარედ რეაგირებენ -1, -3° ტემპერატურაზე. იმერეთის ტერიტორიაზე წაყინვები არ არის იშვიათი მოვლენა. ამიტომ სოფლის მეურნეობის მუშაკებმა, ფერმერებმა და კერძო სექტორის მიწათმოქმედებმა უნდა იცოდნენ ბოლო და პირველი წაყინვების დადგომის თარიღები, ასევე უყინვო პერიოდის ხანგრძლივობა (დღე) და მათი განმეორადობა. წაყინვების თარიღების დადგენის შემთხვევაში უნდა ჩატარდეს მათ წინააღმდეგ ბრძოლის დონისძიებები.

იმერეთის ტერიტორიაზე ზღ. დონიდან 200 მ სიმაღლემდე ბოლო წაყინვები დაიკვირვება 7.III-დან 20.III-მდე, 200 მ-დან 500-მდე 22.III-დან 8.IV-მდე, 500 მ-დან 1000 მ-მდე 9.IV-დან 24.IV-მდე, 1000 მ-ის ზევით 25.IV-დან.

პირველი წაყინვა დაიკვირვება 200 მ სიმაღლემდე 29.XI-დან 17.XII-მდე, 200 მ-დან 500 მ-მდე 1.XI-დან 3.XII-მდე, 500 მ-დან 1000 მ-მდე 23.X-დან 3.XI-მდე, ხოლო 1000 მ-ის ზევით 25.X-დან და უფრო ადრე.

იმერეთის ტერიტორიაზე ზღვის დონიდან სიმაღლეების მიხედვით, წაყინვების თარიღების დადგომის განსაზღვრისათვის, გამოვლენილია წაყინვების თარიღებსა და ზღვის დონიდან სიმაღლეებს შორის მაღალი კორელაციური კავშირები ($r=0.90$ ბოლო წაყინვების, $r=0.89$ პირველი წაყინვების). ამ საიმედო კავშირებიდან გამომდინარე შედგენილია რეგრესიის განტოლებები:

$$n=0.0423h+39.5 \quad \text{ბოლო } \text{წაყინვებისათვის,} \quad 4.3.1.$$

$$n=-0.0472h+104.2 \quad \text{პირველი } \text{წაყინვებისათვის,} \quad 4.3.2.$$

განტოლებებში n - წაყინვის თარიღია (ანუ დღეთა რიცხვი 1 - თებერვლიდან ბოლო წაყინვის დადგომის თარიღამდე, ხოლო 1 - სექტემბრიდან პირველი წაყინვის დადგომის თარიღამდე), h - ადგილის სიმაღლე ზღ. დონიდან (მ). ბოლო წაყინვის განტოლების ცდომილება $S_{\pm 5}$ დღეა, ხოლო პირველი წაყინვის $S_{\pm 8}$ დღე. განტოლებებით მოცემული ტერიტორიის ზღვის დონიდან ხელისმიერ სიმაღლეზე შეიძლება წაყინვების თარიღების დადგენა.

მოცემულ რეგიონში გამოთვლილი იქნა უყინვო პერიოდის ხანგრძლივობა (დღე), ბოლო და პირველ წაყინვებს შორის. იგი საქმაოდ ხანგრძლივია, განსაკუთრებით იმერეთის დაბლობში (ბარში) ზღ. დონიდან 200 მ სიმაღლემდე (250-288 დღე). აღნიშნულთან დაკავშირებით გამოთვლილია მჭიდრო კორელაციური კავშირი ზღ. დონიდან სიმაღლესა და უყინვო პერიოდის ხანგრძლივობას (დღე) შორის ($r=0.93$). ამ საიმედო კავშირიდან გამომდინარე შედგენილია რეგრესიის განტოლება:

$$n=-0.0906h+276.2 \quad 4.3.3.$$

განტოლებაში კ- უკინვო პერიოდის ხანგრძლივობაა (დღე), ჩ- ადგილის სიმაღლე ზღ. დონიდან (მ). განტოლების მიხედვით შეიძლება განისაზღვროს უკინვო პერიოდის ხანგრძლივობის დღეთა რიცხვი ნებისმიერი რაიონისათვის, ნებისმიერ სიმაღლე-ზე. განსაზღვრისას განტოლების ცდომილება დასაშვებია $S_{\pm 13}$ დღე.

სეტყვა დიდ ზარალს აექნებს აგრარულ სექტორს. ძლიერი სეტყვის მარცვლებმა (10-15 მმ და მეტი) შეიძლება მნიშვნელოვნად დაზიანოს მცენარეების ფოთლები, ყვავილები და სხვა ორგანოები. სეტყვისაგან სავეგეტაციო პერიოდში დაზიანებული მცენარეების მოსავალი შესაძლოა შემცირდეს 50-60%-ით და მეტად. დაზიანება ასევე გავლენას ახდენს მომდევნო წლების (1-2 წლის) მოსავალზეც.

იმერეთის ტერიტორიაზე სეტყვიანობა არც თუ ისე ხშირი მოვლენაა. იგი დაიკვირვება აპრილიდან ოქტომბრის ჩათვლით. ყველაზე მეტი სეტყვიანობის დღეთა რიცხვი დაიკვირვება ქვემო იმერეთის ბარში (ხონი) გაზაფხულზე და ზაფხულის დასაწყისში, ხოლო ზემო იმერეთში (საჩხერე, ტყიბული, ჭიათურა, ხარაგაული) გაზაფხულის ბოლოდან ზაფხულის შუა პერიოდამდე. თბილ პერიოდში სეტყვიან დღეთა რიცხვი მცირეა (0.03-0.2 დღე). აქედან გამომდინარე, აგროკულტურების დაზიანების აღბათობაც მცირეა.

გვალვას, როგორც საშიშ მეტეოროლოგიურ მოვლენას შეუძლია დიდი ზიანი მიაუქნოს სოფლის მეურნეობას ეკონომიკური თვალსაზრისით. მისი უარყოფითი მოქმედება აგროკულტურებზე სხვადასხვა ხარისხით ვლინდება. პირველ რიგში იღუპება ერთწლიანი კულტურები, რადგან ბიოლოგიური თვისებებიდან გამომდინარე, სადაც ტენიანობა შედარებით მეტია (40-50 სმ და მეტი) მათ ფესვთა სისტემა ნიადაგში ღრმად არ უნვითარდებათ. თუმცა, გახანგრძლივებული (30-40 დღე და მეტი) გვალვების შემთხვევაში, მრავალწლიანი კულტურებიც არ არის დაზღვეული დაღუპვისაგან, მიუხედავად მათი ფესვების ნიადაგში ღრმად განალიგებისა. ამიტომ ნიადაგის მორწყვა აუცილებელია.

მოგვავს ტენის მინიმალური ბალანსის მაჩვენებლები ზოგიერთი აგროკულტურისათვის. იგი სიმინდისა და ხორბლისათვის შეადგენს 0.5, სოიოსა და ლობიოსათვის 0.7-0.8, ვაზისათვის 0.3, დაფნისა და ლელვისათვის 0.2, კიფისათვის (აქტინიდია) 1.0, მანდარინისათვის 1.5-1.8, ჩისათვის 1.6-2.0. გვალვიანობის მაჩვენებლებით და მის მიმართ ამტანობით, მითითებული კულტურები საქმაოდ განსხვავდებიან ერთმანეთისაგან. ამიტომ, აღნიშნული მაჩვენებლებიდან გამომდინარე, საჭირო იქნება მათ მიმართ გატარდეს შესაბამისი მელიორაციული ღონისძიებები (მორწყვა,

ნიადაგის გაფხვერება და სარეგულა მცენარეებისაგან გათავისუფლება) მოსავლის შენარჩუნების მიზნით.

იმერეთის ტერიტორიაზე გვალვიანობას ზოგჯერ აძლიერებს აღმოსავლეთის ქარები (მკაფიოდ გამოხატული ფიონები), რომელიც საქმაოდ ხშირად დაიკვირვება სამტრედიის, ხონის, ქუთაისის, ზესტაფონის და სხვა ტერიტორიებზე. ამიტომ სიმინდის და პარკოსანი კულტურების მოსავალის რაოდენობა ხშირ შემთხვევაში დაბალია, რაც უმთავრესად გამოწვეულია გაზაფხულისა და ზაფხულის გვალვიანობით. კიდევ უფრო მავნე გავლენას ახდენს ხშირი ფიონური ქარები.

ხორშაკი (ქარშოშინი) ცნობილია როგორც ატმოსფერული გვალვა, რომელიც მეტად საშიშია მცენარეებისათვის. მისი მოქმედების შერბილება შესაძლებელია, ძირითადად ნიადაგში ოპტიმალური ტენის რაოდენობის უზრუნველყოფით (მორწყვა, ნიადაგის ზედაპირის კულტივაცია და სარეველებისაგან გათავისუფლება). აგროკულტურებისათვის ხორშაკი საშიშია მაშინ, როცა მცენარიდან ტრანსპირაცია გაძლიერებელია ჰენიანობის დიდი დაფიციტის გამო, რომელსაც ვერ ანაზღაურებს ნიადაგში ტენის სიმცირე.

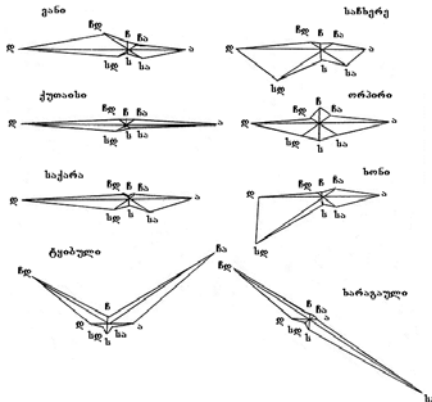
ცალკეულ წლებში ყველაზე ინტენსიურ ხორშაკის მოვლენას შეიძლება ადგილი ჰქონდეს საქარაში (ზესტაფონი). აქ სუსტი ხორშაკი დაიკვირვება საშუალოდ 41 დღე, სამტრედიაში 28 დღე, ხოლო ხონში 25 დღე. აღნიშნული დღეთა რიცხვები მოცემულ რაიონებში რამდენადმე შემაფერხებელი შეიძლება იყოს აგროკულტურების განვითარებისათვის. ამიტომ, ხორმალური პროცესებისათვის სასურველია მათი მორწყვა 1-2-ჯერ. ასევე, უნდა ჩატარდეს მელიორაციული ღონისძიებები სხვა რაიონებშიც, ხოლო ინტენსიური და ძლიერ ინტენსიური ხორშაკის შემთხვევაში 2-3-ჯერ მოსავლის შენარჩუნებისათვის.

სუსტი ხორშაკით თითქმის არ ზიანდება აგროკულტურები 5 დღის განმავლობაში, თუ ნიადაგის ფენაში (0-20 სმ), პროდუქტიული ტენის რაოდენობა 20-30 მმ-მდეა. იმ შემთხვევაში, თუ 0.5 და 0.1მ ნიადაგის ფენებში პროდუქტიული ტენი 50 მმ-დან 100 მმ-მდეა (შესაბამისად), ხორშაკი საშუალო ინტენსივობით ვერ აზიანებს აგროკულტურებს 4 დღის განმავლობაში, ინტენსიური 3 დღის, ძლიერ ინტენსიური 1-2 დღის განმავლობაში.

ძლიერი ქარებით დღეები უმტკულტურები გაზაფხულის თვეებში, სხვა სეზონებთან შედარებით. იგი მცენარეთა აქტიური ვაგზატაციის პერიოდში ნაკლებია, ხოლო შემოდგომაზე მატულობს. თბილ პერიოდში (IV-X) ძლიერ ქარიან საშუალო დღეთა რიცხვი (≥ 15 მ/წმ) ქუთაისში დაიკვირვება 39 დღე, საქარაში (ზესტაფონი) - 18 დღე, ტყიბულში - 14 დღე, წყალტუბო-

ში - 6 დღე, კორპორულში (საჩხერე) - 7 დღე, ხარაგაულში და სამტრედიაში - 9 დღე. აღნიშვნული ქარების შესუსტებისათვის საჭიროა ქარსაფარი ზოლების გაშენება აგროკულტურების დაცვის და სხვა შიზნით.

მოგვყავს გაბატონებული ქარების მიმართულებების განმეორადობა (%) თბილ პერიოდში (ნახაზი 4.3.1).



ნახ. 4.3.1 გაბატონებული ქარების მიმართულებების
განმეორადობა (%) თბილ პერიოდში

ნახაზის მიხედვით, გასათვალისწინებელია გაბატონებული ქარების მიმართულებები ქარსაფარი ზოლების გაშენებისათვის. აღნიშნული ქარსაფარი ზოლები შეასუსტებს ძლიერი ქარების მოქმედებას აგროკულტურებზე და შემნის ხელსაყრელ მიკროკლიმატზე პირობებს მათი განვითარებისა და პროდუქტიულობისათვის.

4.4. აგრომეტეოროლოგიური პროგნოზები

აგრომეტეოროლოგიური პროგნოზები სოფლის მეურნეობის მუშაკებს, ფერმერებს და კერძო სექტორის მიწათმოქმედებს ხელს უწევობს ეფექტურად გამოიყენონ ამინდის პირობები, დაგემონ და დროულად განახორციელონ საორგანიზაციონ და აგროტექნიკური ღონისძიებები.

იმერეთის აგროკლიმატური მაჩვენებლები - პაერისა და ნიადაგის ტემპერატურები, ჰაერის ტემპერატურისა და ატმოსფერული ნალექების ჯამები, $\Sigma 5$ მმ ან ≥ 10 მმ ნალექებით დღეთა რიცხვი, ნიადაგის პროდუქტიული ტენი (მმ), ასევე მცენარეთა ფენოლოგიურ ფაზათა დადგომის ვადები და სხვა შეიძლება გამოყენებული იქნას, როგორც პრედიქტორები პროგნოზის შედგენისათვის.

იმერეთში ფართოდაა გავრცელებული სამარცვლე სიმინდი. თუმცა, მისი მოსავალი არ არის სტაბილური. იგი ცალკეულ წლებში მერყეობს, აგროკლიმატური ფაქტორების ცვალებადობის გამო. ამიტომ, მნიშვნელოვანია აღნიშნული კულტურის მოსავალის განსაზღვრა საპროგნოზო განტოლებით:

$$U=0.08x+0.02y+6.1 \quad 4.4.1.$$

სადაც U - საპროგნოზო მოსავალია, x - მცენარეების საშუალო სიმაღლე (სმ) საგველას ფაზაში, y - მცენარეების სიხშირე 100 მ², იგივე ფაზაში. გვეცოდინება რა აღნიშნული მონაცემები (პრედიქტორები), განტოლებაში ჩასმით მიიღება საპროგნოზო მოსავალი (განტოლებაში საპროგნოზო მოსავალი გათვლილია ტ/ჰა, რომლის გადაყვანა შეიძლება ტ/ჰა). საჭექტო მოსავალის გამრავლებით რეგიონში მოცემული წლის სიმინდის ნათესის ფართობზე მიიღება საპროგნოზო საერთო მოსავალი. პროგნოზი შედგება აგვისტოს პირველ პენტადაში, მისი წინასწარობა 2-3 თვემდეა.

ზღვის დონიდან შედარებით მაღალი ადგილებისათვის (ხარაგაული, ტყისული, საჩხერე), მოგვყავს საპროგნოზო რეგრესიის განტოლება კარტოფილის კულტურის მოსავლის განსაზღვრისათვის:

$$U=0.2x+2.02y+46 \quad 4.4.2.$$

განტოლებაში U - მოსალოდნელი მოსავალია (ტ/ჰა), x - ივნისი ივლისის თვეების ნალექების ჯამი (მმ), y - ≥ 10 მმ ნალექებით დღეთა რიცხვი (იმავე პერიოდში). პროგნოზი შედგება აგვისტოს პირველ პენტადაში. პროგნოზის წინასწარობა 1.5-2 თვე.

გაზაფხულზე, აგრომეტეოროლოგიური პირობები გავლენას ახდენს აგროკულტურების ზრდა-განვითარებაზე, მათ შორის ჩაის ღუჟების ზრდაზე, რის შედეგადაც ჩაის ფოთლის პირველი კრეფა შეიძლება დაიწყოს 30-35 დღით ადრე ან 40-50 დღით გვიან. აღნიშნულთან დაკავშირებით, მოგვყავს ჩაის ფოთლის პირველი კრეფის თარიღის განსაზღვრის საპროგნოზო განტოლებები:

$$n=-0.66n_1+52 \quad ხონისათვის \quad 4.4.3.$$

$$n=-0.64n_1+58 \quad ტყისულისათვის \quad 4.4.4.$$

განტოლებებში n - საპროგნოზო თარიღია (დღეთა რიცხვი ჩაის კვირტების გახსნიდან ფოთლების პირველ კრეფამდე), n_1 - დღეთა რიცხვი 1 - მარტიდან ჩაის კვირტების გახსნის თარიღიამდე.

ვაზის ფენოლოგიური ფაზების (ყვავილობა, ნაყოფის სიმწიფე და სხვა) განვითარებისათვის საჭირო გარკვეული ტემპერატურის ჯამი. ამ ფაზების განვითარების ტემპი დამოკიდებულია იმ ტემპერატურაზე, რომლის შესაბამისად იზრდება ან მცირდება.

ბა თვითეული ფაზის განვითარებისათვის საჭირო დღეთა რაოდენობა. ვაზის ფენოლოგიური ფაზების ვადების განსაზღვრა ხელს უწყობს სხვადასხვა სახის აგროტექნიკურ ღონისძიებათა ჩატარების წინასწარ (1.5-2 თვით ადრე) დაგეგმვას. ვაზის (საგვიანო ვაზის ჯიშების - „ცოლიკაურის“, „ციცქას“) კვირტების გაშლის თარიღდა და ყვავილობის, აგრეთვე ყვავილობის თარიღდა და ნაყოფების სიმწიფის პერიოდის ხანგრძლივობას შორის არსებობს მჭიდრო კორელაციური კავშირი. მიღებული კავშირებიდან გამომდინარე, შედგნილია რეგრესიის განტოლებები, ყვავილობისა და სიმწიფის ვადების საპროგნოზოდ. ყვავილობის ფენოლოგიური ფაზის ვადების პროგნოზის განტოლებას აქვს შემდეგი სახე: $y = -0.77x + 63$ სადაც y - ყვავილობის საპროგნოზო თარიღია (დღეთა რიცხვი კვირტების გაშლის თარიღიდან ყვავილობის დაწყების თარიღდამდე), x - დღეთა რიცხვი 1 აპრილიდან კვირტების გაშლის თარიღდამდე. სიმწიფის ფაზის ვადების პროგნოზის განტოლებაში $y = -1.16x + 130$, სადაც y - ნაყოფის სიმწიფის თარიღია (დღეთა რიცხვი ყვავილობის თარიღიდან ნაყოფის სიმწიფის თარიღდამდე), x - დღეთა რიცხვი 1 მაისიდან ყვავილობის დაწყების თარიღდამდე. საპროგნოზო განტოლებების დასაშვები ცოორმილება შეადგენს $\sigma = \pm 4-5$ დღეს.

ქვემო იმურეთის დაბლობში (ბარი) სუბტროპიკული ხურმის სიმწიფის თარიღის განსაზღვრისათვის მოგვყავს საპროგნოზო განტოლებები:

$$n = -0.83n_1 + 192 \quad \text{ხონისათვის,} \quad 4.4.5.$$

$$n = -0.91n_1 + 179 \quad \text{სამტრედიისათვის,} \quad 4.4.6.$$

განტოლებებში n - ნაყოფების სიმწიფის მოსალოდნელი თარიღია, ანუ დღეთა რიცხვი ყვავილობის თარიღიდან ნაყოფების სიმწიფის თარიღდამდე, n_1 - დღეთა რიცხვი 1 - აპრილიდან ყვავილობის თარიღდამდე. პროგნოზის დასაშვები ცოორმილებაა ± 9 დღე. ხოლო ნაყოფების სიმწიფის წინასწარობა შეადგენს 4-5 თვეს.

ზემოაღნიშნული პროგნოზების გამართლება მაღალია, როცა ინფორმაცია პრედიქტორებზე რეპრეზენტატულია და აგროკულტურების ზრდა-განვითარებისათვის დროულად ჩატარებულია შესაბამისი აგროტექნიკური ღონისძიებები.

თავი V. პარენტული მოვლენები

5.1. ძლიერი ქარები

ძლიერი ქარები ($V \geq 15\delta/\gamma\theta$) განეკუთვნებიან ამინდის საშიშ მოვლენათა ჯგუფს, ამიტომ მათი რეჟიმული მახასიათებლების (სიჩქარე, მიმართულება, განმეორადობა) ცოდნას დიდი მნიშვნელობა აქვს ქარისმიერი დატვირთვის პარამეტრების გასაანგარიშებლად ეკონომიკის რიგი დარღების სხვადასხვა დაზიშნულების ობიექტებზე (საცხოვრებელი, სამეურნო, რეკრეაციული და სხვა) მათი ექსპლუატაციის პრაქტიკაში.

იმერეთის ტერიტორიაზე განლაგებული 12 პუნქტისათვის ძლიერი ქარით დღეების საშუალო და მაქსიმალური რაოდენობა მოცემულია ცხრილ 5.1.1-ში.

ცხრილი 5.1.1. დღეების საშუალო რაოდენობა ძლიერი ქარით

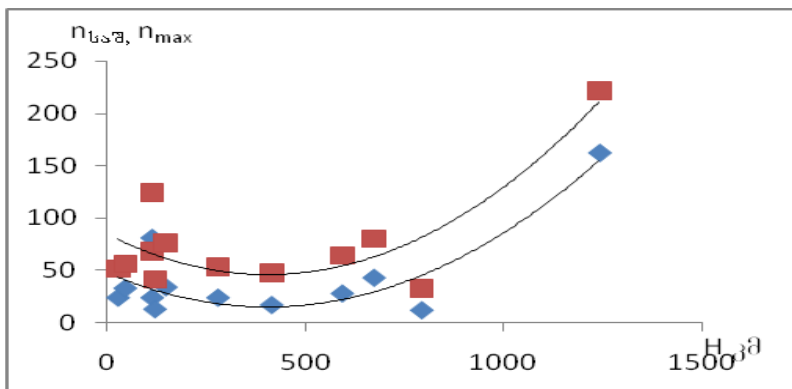
$(V \geq 15\delta/\gamma\theta)$

თ ვ ე კ ვ ე ბ ი ს ა მ ი ნ დ ი ს ს ა შ ი შ												წ ე ლ ი
I	II	III	IV	V	VI	VII	VIII	IX	X	XI	XII	
საჩქარებელი												
0.9	0.8	2.8	3.3	1.9	1.3	1.1	1.6	1.2	1.1	0.7	0.6	17
ხელი												
2.7	2.9	3.1	2.6	1.8	1.0	0.5	0.9	1.3	1.6	3.2	2.0	24
წელი												
0.8	1.3	1.7	1.8	1.1	0.5	0.2	0.6	0.8	0.7	2.4	1.5	13
ტემპურა												
2.6	2.2	3.2	2.9	1.9	0.1	1.4	2.5	2.8	2.6	3.3	2.8	28
ტემპურა												
7.5	6.9	8.5	8.1	7.1	4.2	2.7	4.3	5.4	7.2	9.6	9.6	81
კორიდორი												
0.6	0.6	1.8	1.2	0.7	0.2	0.4	1.0	1.4	1.3	1.9	1.4	12
სამგრევლი												
2.9	2.8	2.9	2.7	1.8	1.0	0.5	0.8	0.9	1.7	3.0	3.0	24
საქარა												
2.7	3.1	4.8	4.6	3.5	2.5	1.8	2.0	2.0	2.0	3.0	2.0	34
ვანი												
3.2	3.4	4.2	3.0	2.0	1.4	0.8	2.0	2.1	2.2	4.3	4.2	33
მთა საბურთო												
13.3	14.0	15.0	15.0	13.6	10.8	10.0	13.3	14.0	14.6	15.7	12.4	162
სარაგაული												
1.8	2.5	3.7	2.5	1.0	0.4	0.5	1.0	1.9	2.8	3.8	2.6	24
წელი												
3.8	3.6	4.2	4.1	3.1	2.7	2.1	3.7	4.3	2.6	5.4	3.4	43

როგორც ცხრილიდან ჩანს, ძლიერი ქარით დღეების საშუალო რაოდენობა წელიწადში მინიმალურია კორბოულში

(12 დღე) და წყალტუბოში (13 დღე), ხარაგაულში, სამტრედიაში და ხონში დღეების საშუალო რაოდენობა წელიწადში შეადგენს 24-ს. ტყიბულში, საქარაში და ვანში იგი მერყეობს 28 (ტყიბული)-34 (საქარა) დღის ფარგლებში, წიფაში შეადგენს 43-ს, ქუთაისში 81-ს. ძლიერი ქარით დღეების საშუალო რაოდენობის მაქსიმუმი წელიწადში აღნიშნულია სადგურ მთა საბუთზე, ხადაც იგი აღწევს 162-ს.

დღეების მაქსიმალური რაოდენობა წელიწადში ძლიერი ქარით მინიმალურია სადგურ კორბოულში (32 დღე), მაქსიმალურია მთა საბუთზე-222 დღე, რაც შეეხება სადგურებს საჩხერე, ხონი, წყალტუბო, ტყიბული, სამტრედია, ვანი, ხარაგაული აქ ეს მაჩქენებელი მერყეობს 41(წყალტუბო)-68(ხონი) დღის ფარგლებში. წიფაზე იგი აღწევს 80 დღეს, ხოლო ქუთაისში-124 დღეს. ამ მაჩქენებლის აბსოლუტური მაქსიმუმი ისევე, როგორც ძლიერი ქარით დღეების საშუალო რაოდენობის შემთხვევაში, აღნიშნება სადგურ მთა საბუთზე-222 დღე. როგორც ცხრილიდან ჩანს, ადგილის აბსოლუტური სიმაღლის ზრდისას ძლიერი ქარით დღეების საშუალო და მაქსიმალური რაოდენობა მატულობს. წელიწადში ძლიერი ქარებით დღეების საშუალო \bar{n} და მაქსიმალური n_{max} რაოდენობების ადგილის აბსოლუტურ სიმაღლეზე - H დამოკიდებულების გრაფიკული სახე მოცემულია ნახ. 5.1.1-ზე.



ნახ. 5.1.1. ძლიერი ქარებით დღეების საშუალო, \bar{n} (◊) და მაქსიმალური n_{max} (■) რაოდენობის დამოკიდებულება ადგილის აბსოლუტურ სიმაღლეზე H .

ცხრილ 5.1.1-ში მოცემული ინფორმაციის ანალიზი გვიჩვენებს რომ \bar{n} და n_{max} იცვლებიან ექსპონენციალური ფუნქციის მიხედვით, რადგანაც არგუმენტის და დამოკიდებული ცვლადის

სიდიდეების ლოგარითმები კოორდინატების სიბრტყეში ლაგ-დებიან წრფეზე.

ცხრილ 5.1.1.დღეების მაქსიმალური რაოდენობა ძლიერი ქარით
 $(\bar{v} \geq 15\text{d/წ})$

სადგური	თ ვ ე												წელი
	I	II	III	IV	V	VI	VII	VIII	IX	X	XI	XII	
საჩხერე	5	6	14	13	7	5	5	7	4	4	3	3	47
ხონი	15	16	14	11	11	5	3	5	8	8	12	14	68
წყალტუბო	6	11	6	8	4	3	1	2	6	3	8	6	41
ტყიბული	8	14	12	10	8	6	10	10	9	14	10	14	64
ქუთაისი	12	19	16	16	19	10	8	9	14	15	19	20	124
კორბოული	3	5	6	4	3	2	3	3	7	4	7	10	32
სამტრედია	10	16	9	12	7	4	3	4	5	6	11	13	51
საქარა	11	9	13	14	11	11	9	10	11	9	11	12	76
განი	8	14	10	9	4	5	3	6	6	5	10	12	56
მთა	21	20	23	22	20	26	17	21	22	22	26	23	222
საბუეთი	7	12	8	6	6	2	3	6	7	11	9	8	53
წიფა	14	21	14	11	9	11	9	14	11	9	12	18	80

დამოკიდებულება $\bar{n} = f(H)$ იმერეთის ათი სადგურის (ქუთაისისა და კორბოულის გამოკლებით) მონაცემებით ანალიზურად წარმოიდგინება მაჩვენებელ ფუნქციის $\bar{n} = ab^H$ სახით ანუ $lg \bar{n} = lga + Hlg b$. ჩვენი გამოთვლების თანახმად $lga = 0.99$, $lgb = 0.22$. საიდანაც ვღებულობთ:

$$lg \bar{n} = 0.99 + 0.22 H$$

5.1.1

ამ განტოლებაში H – ის მნიშვნელობების ნაცვლად ჩავსემთ რა დამოუკიდებელი ცვლადის სიდიდეებს რომლებიც წარმოდგნილია ნატურალური რიცხვების სახით (1,2,3,4,5,6), ვპოულობთ $lg \bar{n}$, შემდეგ კი ლოგარითმის ცხრილების დახმარებით \bar{n} -ის მნიშვნელობებს. მაგალითად, H -ის მნიშვნელობისათვის 0.1, 0.25, 0.75, 1.0 კმ (რომლებსაც შეესაბამებიან რიცხვები 1,2,4,5: $lg \bar{n}_1 = 1.18$, $\bar{n}_1 = 15$; $lg \bar{n}_2 = 1.44$, $\bar{n}_2 = 27$; $lg \bar{n}_4 = 1.87$, $\bar{n}_4 = 74$; $lg \bar{n}_5 = 2.10$, $\bar{n}_5 = 126$ დღეს).

დამოკიდებულება $n_{max} = f(H)$, სადაც n_{max} არის ძლიერი ქარებით დღეების მაქსიმალური რაოდენობა წელიწადში, H კი აღგილის აბსოლუტური სიმაღლე 10 სადგურის მონაცემებით ასევე ანა-

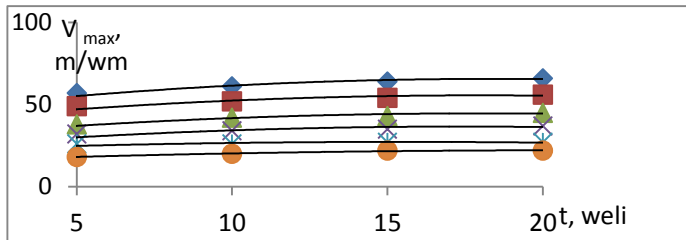
ლიზურად წარმოიღინება მაჩვენებლიანი ფუნქციის სახით
 $n_{max} = ab^H$, ანუ $\ln n_{max} = \ln a + H \ln b$; $\ln a = 1.48$, $\ln b = 0.14$.

$$\ln n_{max} = 1.48 + 0.14H$$

5.1.2

განტოლების დახმარებით გამოთვლილი იქნა საკვლევი ტერიტორიისათვის ძლიერი ქარებით მაქსიმალური დღეების რაოდენობა წელიწადში ადგილის აბსოლუტურ სიმაღლეზე დამოკიდებულებით. გამოთვლების თანახმად 0.1კმ სიმაღლეზე n_{max} შეაღეს 42 დღეს, 0.25კმ სიმაღლეზე 68 დღეს, 0.5კმ სიმაღლეზე 79 დღეს, 0.75კმ სიმაღლეზე 110 დღეს, 1კმ სიმაღლეზე 151 დღეს, 1.25კმ სიმაღლეზე 209 დღეს.

სხვადასხვა ალბათობის ქარის მაქსიმალური სიჩქარეები (გ/წ) რომლებიც შესაძლოა 1,5,10,15,20 წელიწადში ერთხელ მოცემულია ნახ. 5.1.2.



ნახ.5.1.2. ქარის მაქსიმალური სიჩქარე, შესაძლებელი ერთი, ხუთი, ათი, თხუტმეტი და ოცი წლის განმავლობაში: ♦-ქუთაისი,

■-ვანი, ტყიბული, ▲-მთა საბუეთი, X-წიფა, ხონი, სამტრედია, საქარა, *-საჩხერე, ხარაგაული, ●-კორბოული.

დამოკიდებულებების $V_{max} = f(n)$, სადაც V_{max} არის ქარის შესაძლებელი მაქსიმალური სიჩქარე 1,5,10,15, და 20 წელიწადში, n -ით დროის ინტერვალი 1-დან 20 წლის ჩათვლით, გრაფიკული სახე წარმოდგენილია ნახ.5.1.2.-ზე. როგორც ამ გრაფიკიდან ჩანს, იმერქონის ტერიტორიაზე განლაგებული ყველა 11 პუნქტისათვის მათი სიმაღლის მიუხედავად, ამ დამოკიდებულებებს აქვს იდენტური სახე და ისინი ანალიზურად შეიძლება წარმოდგენილი იქნენ მეორე რიგის პარაბოლის სახით:

$V_{max} = a + bn + cn^2$ მაგალითად, სადგურ ქუთაისისათვის დამოკიდებულებას $V_{max} = f(t)$ აქვს შემდეგი სახე:

$$V_{max} = 43,24 + 1,16t + 0,02t^2$$

5.1.3.

გამოსახულება 5.1.3.-ის და ნახ.5.1.2. დახმარებით შესაძლებელია დაგინდეს ქარის მაქსიმალური სიჩქარის V_{max} სიდიდე ნებისმიერი წლისათვის 1-დან 20 წლის ჩათვლით.

როგორც დაკვირვებების მონაცემების ანალიზი გვიჩვენებს, ძლიერი ქარების ალბათობა მაქსიმალურია იმ რუმბებისათვის, სადაც აღინიშნება ქარების მაქსიმალური განმეორადობა და პირიქით, მაგალითად, ქუთაისში წელიწადში მაქსიმალური განმეორადობით ხასიათდებიან აღმოსავლეთის ქარები აქ ამ მიმართულების ძლიერი ქარების ($V_{\text{max}}=15,20,25,30,40 \text{მ/წმ}$) ალბათობა (განმეორადობა) მერყეობს ზამთარში 12,2 (I)-18,4 (XII), გაზაფხულზე 7,8 (V)-13,4(IV), ზაფხულში 3,0 (VII)-4,9 (VI), შემოდგომაზე 8,1 (IX)-20,1 (XI) %-ის ფარგლებში, მაშინ როდესაც დანარჩენი მიმართულების (ჩ, ჩაღ, საღ, ს, სდ, დ) მაქსიმალური ქარების (ძირითადად 14-17გ/წმ გრადაციაში მხედველობაში) ალბათობა მერყეობს 0-1%-ის ფარგლებში. სხვადასხვა მიმართულების ძლიერი ქარების ($V \geq 15 \text{მ/წმ}$) ალბათობა მოცემულია ცხრილ 5.1.3.-ში.

ცხრილი 5.1.2. ქარის მაქსიმალური სიჩქარე შესაძლო ერთხელ ერთი, ხუთი, ათი, თხუთმეტი და ოცი წლის განმავლობაში (გ/წმ)

სადგური	ქარის სიჩქარე, გ/წმ				
	1 წელი	5 წელი	10 წელი	15 წელი	20 წელი
საჩხერე	21	31	33	35	36
ხონი	32	40	44	46	48
ტყიბული	39	49	54	56	58
ქუთაისი	47	57	61	64	66
კორბოული	21	26	26	27	27
სამტრედია	32	40	43	44	45
საქარა	29	35	38	40	41
ვანი	39	50	54	57	60
მთა საბუეთი	41	47	49	50	51
ხარაგაული	26	32	34	35	37
წიფა	32	38	41	43	45

ცხრილი 5.1.3. სხვადასხვა მიმართულების ძლიერი ქარების ($V \geq 15 \text{მ/წმ}$) სიჩქარეების გქსტრემალური ალბათობები წელიწადის ხეზონების შესაბამის შემთხვევაში, $\text{P}\%$.

ოპე	ქარის მიმართულება							
	ჩ	ჩა	ს	სა	ს	სდ	დ	ჩდ
ქუთაისი, $\text{P}\%, V, \text{გ/წმ}$								
I		0.08	0.4-5.7	0.03			0.05-0.3	
		14-17	29-34,	21-24			18-20,	

			14-17				14-17	
IV		0.02	0.2-5.3				0.08-0.6	
		18-20	35-40, 14-17				18-20, 14-17	
VII			0.1-1.5				0.1	
			25-28, 14-17				14-17	
X		0.02- 0.03	0.3-4.5	0.02			0.1	
		21-24, 14-17	35-40, 14-17	18-20			14-17	

სამტკიცია, P,%, მ/ვგ

I		0.02- 0.02	0.2-2.5					
		18-20, 14-17	21-25, 14-17					
IV			0.2-2.2	0.05			0.1	
			25-28, 14-17	14-17			14-17	
VII			0.05-0.2					
			18-20, 14-17					
X			0.4-1.9					
			21-24, 14-17					

1მთა საბუქო, P,%, მ/ვგ

I		0.05- 2.5	0.2-5.6	0.05-0.2	0.08-0.1		0.4-2.4	
		35-40, 14-17	35-40,1 4-17	18-20, 14-17	18-20, 14-17		29-34, 14-17	
IV	0.1	0.2-3.1	0.2-5.0	0.08-0.3		0.07-0.1	0.1-2.2	0.2
	14-17	35-40, 14-17	35-40, 14-17	29-34, 14-17		18-20, 14-17	29-34, 14-17	14-17
VII		0.02-2.5	0.3-4.4	0.05- 0.05		0.05-0.2	0.1-1.4	0.1- 0.2
		29-34, 14-17	29-34, 14-17	21-24, 14-17		18-20, 14-17	21-24, 14-17	18-20, 14-17
X	0.1- 0.05	0.1-2.8	0.5-6.1	0.2	0.05	0.1-0.1	0.1-1.9	0.1- 0.3
		29-34, 14-17	29-34, 14-17	14-17	14-17	18-20, 14-17	35-40, 14-17	18-20, 14-17

როგორც ცხრილ 5.1.3.-დან ჩანს, ქუთაისში და სამტრედიაში წელიწადის სეზონების შუა თვეებში ძლიერი ქარების მაქსიმალური ალბათობა აღინიშნება აღმოსავლეთის მიმართულების ქარებისათვის: ქუთაისში აღწევს 5,7%-ს(1) 14-17გ/წმ სიჩქარის ქარების შემთხვევაში, ხოლო სამტრედიაში 2,5%-ს (1) ამავე გრადაციის ქარების შემთხვევაში. რაც შეეხება ჩა, სა, სდ და დასავლეთის მიმართულების ძლიერ ქარებს (14-17გ/წმ გრადაცია) მათი ალბათობა მერყეობს პროცენტის მესამედი და მეათედი სიდიდეების საზღვრებში

ჩრდილოეთის, სამხრეთის და ჩრდილო-დასავლეთის ამ სადგურებში საერთოდ არ აღინიშნება ძლიერი ქარები. რაც შეეხება სადგურ მთა საბუეთს, აქ წელიწადის სეზონების შუა თვეებისათვის მაქსიმალური ალბათობით ხასიათდებიან ჩრდილო-აღმოსავლეთის, აღმოსავლეთის, სამხრეთ-აღმოსავლეთის და დასავლეთის მიმართულების ქარები. განსაკუთრებით დიდი ალბათობით გამოირჩევიან აღმოსავლეთის მიმართულების ქარები: მათი ალბათობა ოთხივე თვეში მერყეობს 4,4-6,1%-ის საზღვრებში (14-17გ/წმ გრადაცია). აღსანიშნავია ის გარემოება, რომ მთა საბუეთზე ყველა მიმართულებაზე (ჩ,ჩა,ა,სა,ს,სდ,დ,ჩ) აღინიშნება სხვადასხვა განმეორადობის ძლიერი ქარები, როგორც წელიწადის სეზონების შუა თვეებში, ასევე მთელი წლის განმავლობაში. შადგურ მთა საბუეთზე მაქსიმალური ალბათობით ხასიათდებიან აღმოსავლეთის, ჩრდილო-აღმოსავლეთის, სამხრეთ-აღმოსავლეთის და დასავლეთის მიმართულების ქარები. ამ მიმართულებების ძლიერი ქარების ალბათობა მერყეობს: ზამთარში 0.05(XII)-2.9(XII)%-ის (ჩრდილო-აღმოსავლეთის ქარები), 0.05(I,XII) -3.9(XII)%-ის (აღმოსავლეთის ქარები), 0.05(XII)-3.8(II)%-ის (დასავლეთის ქარები) ფარგლებში. გაზაფხულზე 0.2(V)-3.7(V)%-ის (ჩრდილო-აღმოსავლეთის ქარები), 0.2(V)-5.6(V)%-ის (აღმოსავლეთის ქარები) ფარგლებში ზაფხულში 0.02(VIII)-3.4(VI)%-ის (ჩრდილო-აღმოსავლეთის ქარები), 0.06(VI)-5.1(VIII)%-ის ფარგლებში (აღმოსავლეთის ქარები). შემოდგომაზე 0.1(X)-3.8(XI)%-ის (ჩაღ ქარები) და 0.1(IX,XI)-6.1(X)%-ის ფარგლებში (აღმოსავლეთის ქარები), ზამთარში 0.05(XII)-3.9(XII)%-ის (ჩაღ ქარები), 0.05(II)-6.3(XII)%-ის ფარგლებში (აღმოსავლეთის ქარები).

სადგურ წიფაზე წელიწადის განმავლობაში დიდი ალბათობით გამოირჩევიან ჩრდილოეთის, ჩრდილო-აღმოსავლეთის და აღმოსავლეთის ძლიერი ქარები. ($\Psi = 14-17, 18-20, 21-24\text{გ/წმ}$). ამ მიმართულებების ქარების ალბათობას გაზაფხულზე 0.2(IV,V)-1.2(IV)%-ის (ჩრდილოეთის ქარები), 0.03(III)-3.9(III)%-ის (ჩაღ ქარები), 0.03(III)-0.4(III)%-ის (აღმოსავლეთის საზღვრებში. ზაფხულში 0.1(VII)-0.9(VII)%-ის (ჩრდილოეთის ქარები), 0.3(VII)-3.2(VIII)%-

ის (ჩდ ქარები), 0.1(VIII)-0.6(VIII)%-ის საზღვრებში აღმოსავლეთის შემოდგომაზე 0.1(XI)-2.0(XI)%-ის (ჩრდილოეთის ქარები), 0.9 (IX)-5.8XI)%-ის (ჩად ქარები), 0.1(X)-5.8(XI)%-ის საზღვრებშიაღმოსავლეთის), ზამთარში 0.2(XII)-1.3(XII)%-ის (ჩრდილოეთის ქარები), 0.8(XII)-3.6(I)%-ის (ჩრდილოეთის ქარები), 0.8(XII)-3.6(I)%-ის ჩად ქარები), 0.04(I)-0.5(XII)%-ის ფარგლებში (აღმოსავლეთის ქარები მონაცემების ანალიზიდან ჩანს ძლიერი ქარები კველაზე მეტი ალბათურია იმ მართულებებზე სადაც აღინიშნება მათი ხშირი განმეორადობა და პირიქით სუსტი ქარები დამახასიათებელია იმ რუმბებისათვის, რომლებშიც ქარის მიმართულებას გააჩნია მინიმალური განმეორადობა. აღსანიშნავია ის გარემოებაც, რომ ძლიერი ქარების ალბათობა მაქსიმალურია წელიწადის ცივი და მინიმალურია თბილი პერიოდის განმავლობაში. მაგალითად, სადგურ ქუთაისში აღმოსავლეთის მიმართულების

ძკიერი ქარის ($V = 14-17\text{d}/\text{წ}$) ალბათობა ზამთარში მერყეობს 5.7-6.2%-ის, ზაფხულში კი 1.5-2.8%-ის ფარგლებში. როგორც ნაჩვენები იყო დასავლეთის მიმართულების ძლიერი ქარები დაკავშირებულია ხმელთაშუა ზღვაზე წარმოქმნილი ციკლონების შავი ზღვის მიმართულებით გადააგდილებასთან, ხოლო აღმოსავლეთის ძლიერი ქარები-ციმბირის ანტიციკლონის გავრცელებასთან ამიერკავებისის ტერიტორიაზე. როგორც ცხრილ 5.14.-დან და ნახ. 5.1.2.-დან ჩანს წელიწადში ძლიერი ქარებით დღეების მაქსიმალური რიცხვის განაწილება ანალოგიურია ძლიერი ქარებით დღეების საშუალო რიცხვის განაწილებისა.

როგორც დაკირცხულების მასალების ანალიზი გვიჩვენებს, იმერეთის დაბლობ რაიონში (სადგური სამტრედია) ქარის მასიმალური სიჩქარის გრადაციების 14-15, 16-17, 18-21, 22-25 $\text{d}/\text{წ}$ განმეორადობა წელიწადში შესაბამისად შეადგენს 0.9, 0.6, 0.3 და 0.1%-ს, რომლებიც ძირითადად მოდიან აღმოსავლეთის (1.6%) და დასავლეთის მიმართულების (0.2%) ქარებზე. სადგურ სამტრედიაში, წელიწადში დღეების საშუალო რიცხვის როდესაც ქარის მაქსიმალური სიჩქარე $V \geq 15\text{d}/\text{წ}$ -ზე შეადგენს 25-ს, ხოლო როდესაც $V \geq 15\text{d}/\text{წ}$ -ზე 16-ს. სადგურ საქარაში ეს სიღიძეები შეესაბამისად ტოლია 54 და 29 დღისა, ხოლო მთა საბუეთზე 141 და 90 დღისა ქარის მაქსიმალური დაქროლვის სიჩქარე სადგურებისათვის სამტრედია, საქარა და მთა საბუეთი მოცემულია ცხრილ 5.14.-ში.

როგორც ცხრილ 5.14.-დან ჩანს, ქარის მაქსიმალური სიჩქარე V_{\max} წელიწადის განმავლობაში მერყეობს სამტრედიაში 20 (ზაფხული)-28 (ზამთარი, მარტი) მ/წმ, საქარაში 22(VII)-28(I) მ/წმ-ის, მთა საბუეთზე 34(V, VI, VII, XI)-40მ/წმ-ის (დანარჩენი

თვეები) ფარგლებში. ქარის დაქროლვის სიჩქარე v_0 , კი შესაბამისად 22(VII)-40(II)მ/წმ-ის (სამტრედია), 24(VII)-34მ/წმ (III,VI,XII)-(საქარა) ფარგლებში. მთა საბუეთზე დაქროლვის სიჩქარე მეტია 40მ/წმ-ზე. წელიწადში ქარის მაქსიმალური სიჩქარე შეადგენს სამტრედიაში და საქარაში 28მ/წმ-ს, მთა საბუეთზე კი იგი მეტია 40მ/წმ-ზე. დაქროლვის სიჩქარე წელიწადში სამტრედიაში და მთა საბუეთზე აღემატება 40მ/წმ-ს, საქარაში იგი შეადგენს 34მ/წმ-ს.

ცხრილი 5.14. ქარის მაქსიმალური v_{\max} და ქროლვის v_0 სიჩქარე, მ/წმ

v_{\max}	თ ვ ე												წელი
	v_0	I	II	III	IV	V	VI	VII	VIII	IX	X	XI	XII
სამტრედია													
v_{\max}	28	28	28	28	20	20	20	20	24	24	24	28	28
v_0	34	>40	34	30	30	24	24	22	28	28	28	30	>40
საქარა													
v_{\max}	28	24	28	24	24	24	22	24	24	24	24	24	28
v_0		28	34	28	28	34	24	28	30	28	28	34	34
მთა საბუეთი													
v_{\max}	>40	>40	>40	>40	34	34	34	>40	>40	>40	34	40	>40
v_0					>40								>40

ქარი, რომლის სიჩქარე აღემატება 30მ/წმ-ს ცნობილია გრიგალის სახელწოდებით. გრიგალური ქარები მაქსიმალურ ზიანს აყენებს ეკონომიკის მთელ რიგ დარგებს. როგორც განხილული მასალების ანალიზიდან ჩანს (ცხრილი 2.3.4.) დაკვირვებების პერიოდის ზრდისას გრიგალური ქარების სიჩქარის ალბათობა მატულობს. მაგალითად, სადგურ ქუთაისში გრიგალრი ქარის სიჩქარეში შეიძლება მიაღწიოს ხუთ წელიწადში 57მ/წმ-ს. ათ წელიწადში 61მ/წმ-ს, თხუთმეტ წელიწადში 64მ/წმ-ს, ოც წელიწადში 66მ/წმ-ს.

საქართველოს ქარის ენერგეტიკულ ატლასში მოცემულია გრიგალური ქარების მაქსიმალური სიჩქარის სივრცული განაწილების გეოინფორმაციული რუკა, რომელზედაც საქართველოს ტერიტორიისათვის გამოთვლებილია გრიგალური ქარების სხვადასხვა ინტენსივობის სამი ზონა ($v_{\max}=33-42$ მ/წმ, 43-48მ/წმ, 50-58მ/წმ). ამ ზონებიდან იმერთის ტერიტორია განეკუთვნება მეორე ზონას, სადაც ქარის მაქსიმალური სიჩქარე მერყეობს 43-49მ/წმ-ის ფარგლებში. სადგურ ქუთაისისათვის გრიგალური ქარების განმეორადობა და მაქსიმალური სიჩქარე 1961-2008 წლების დაკვირვებების პერიოდიათვის შესაბამისად შეადგენს 3,4%-ს და 43მ/წმ-ს.

როგორც ცნობილია და განხილული რეგიონის მაგალითიდანაც ჩანს, კლიმატის მახასიათებლებს და მათ შორის ქარსაც დაბლობი ტერიტორიის დიდ ფართობებზე ახასიათებს გარკვეული სტაბილურობა მთიანი რაიონებისაგან განსხვავებით სადაც ადგილი აქვს მათ მიკრომასტრაბურ ცვალებადობას ადგილის ტოპოგრაფიის (ოროგრაფია, სისისტე, დაწრდილვა) გაცლენის შედეგად. აქ ზოგადცირკულაციური პროცესების გარდა ქარის საშუალო და მაქსიმალური სიჩქარეების სიდიდეზე და მიმართულებაზე დიდ გავლენას ახდენს აღნიშნული ფაქტორები, რის შედეგად საქართველოს მთა-გორიან ტერიტორიაზე წელიწადში დღეების რიცხვი ძლიერი ქარებით მერყეობს 0.2(ჭრებალო)-222(მთა საბუეთი)-ის ფარგლებში.

5.2. ქარბუქი

ქარბუქი განეკუთვნება საშიშ მეტეოროლოგიურ მოვლენათა ჯგუფს; რომელიც ზიანს აფეხბს ეკონომიკის რიგ დარგებს. რკინიგზებზე და ავტომაგისტრალებზე ქარბუქის მიერ წარმოქმნილი ნამქერების შედეგად ცერხედება სახმელეთო ტრანსპორტის უკლა სახეობის ნორმალური ფუნქციონირება. ქარბუქი პორიზონტალური სილვადობის გაუარესების შედეგად ხელს უშლის აგრეთვე ავიაციის ნორმალურ მუშაობას. ქარბუქი ზიანს აუწებს აგრეთვე სოფლის მეურნეობის მემცნებარეობის და მეცხოველეობის დარგებს. როგორც ცნობილია, თოვლის საფარი იცავს საშემოდგომო ნათესებს გაყინვისაგან. იგი ხელს უწყობს საშემოდგომო ხორბლის ფქსების სისტემის ნორმალურ განვითარებას, მის მიერ საკვები ნივთიერების გადამუშავება-ათვისებას, არეგულირებს ფქსებში მიმდინარე ბიოლოგიურ და ქიმიურ პროცესებს, რაც მნიშვნელოვან გავლენას ახდენს მოსავლიანობის სიდიდეზე.

ქარბუქის დროს ადგილი აქვს საშემოდგომო ხორბლით დაკავებულ ტერიტორიაზე თოვლის საფარის ნორმალური განაწილების რღვევას, ხშირ შემთხვევაში მოტიტვლებული დიდი ფართობების გახენით, რასაც თან სდევს ამ ულტირათა გაყინვა-განადგურება. ზამთრის საძოვრებზე ქარბუქის მიერ თოვლის გადანაწილების პროცესი ხელს უშლის პირუტყვის ნორმალურ გამოზამთრებას. მთიან და მაღალმთიან რაიონებში, სადაც ადგილის სიმაღლის მატებისას აღინიშნება ქარბუქიან დღეთა რიცხვის მკვეთრი ზრდა (განსაკუთრებით მის თხემურ ნაწილში, სადაც ძირითადად განლაგებულია ზვავების კერები) ქარბუქის დროს ხდება თოვლის მასის გადანაწილება მთიანი რელიეფის ელემენტებზე და მისი ლოკალური აკუმულაცია პოტენციალურად ზვავწარმომქნელი ფაქტორის-ლავგარდინების (კარნი-

ზების) წარმოქმნით, რომელიც აძლიერებენ რაიონის ზვაგსა-შიშროებას.

იმ სინოპტიკური პროცესებიდან, რომელთანაც დაკავშირებულია ქარბუქის მოვლენები, მთავარ როლს თამაშობენ ციკლინები, ყველაზე ძლიერი ქარბუქები აღინიშნება ღრმა ციკლონების დროს. განსახილველ ტერიტორიაზე ქარბუქები წარმოშობა დაკავშირებულია დასავლეთიდან ან აღმოსავლეთიდან (ან ორივე მიმართულებით სინქრონულად) ციფი პაერის მასების შემოჭრასთან. ქარბუქი აღინიშნება აგრეთვე სამხრეთიდან ციკლონების შემოსვლისას. ქარბუქების ხასიათზე მთიან რაიონში დიდ გავლენას ახდენს რელიეფის ხასიათი და ადგილის აბსოლუტური სიმაღლე. რელიეფის უარყოფითი ელემენტების გავლენით ქარის სიჩქარე და შესაბამისად ქარბუქის ინტენსივობა ეცემა. ქარის სიჩქარისა და რელიეფის გარდა ქარბუქის ინტენსივობა დამოკიდებულია თოვლის ინტენსივობაზე და თოვლის საფარის ფიზიკურ თვისებებზე. იმერეთის ტერიტორიისათვის ქარბუქიან დღეთა საშუალო \bar{n} და მაქსიმუმი n_{max} რაოდენობა თვეში და წელიწადში მოცემულია ცხრილ 5.2.1-ში.

ცხრილი 5.2.1. ქარბუქიან დღეთა საშუალო \bar{n} და მქსიმალური n_{max} რიცხვი. ქარახვეტიან დღეთა საშუალო რიცხვი m .

\bar{n}	თ ბ ე								ივენი ტენი
n_{max}	I	II	III	IV	V	X	XI	XII	
m	0.6	0.3	0.07				0.2	1	
ტენის განვითარების 593(გ)									
\bar{n}	0.6	0.3	0.07				0.2	1	მქსიმალური ტენი
n_{max}	4	4	1				2	5	
m	0.07	0.04						0.1	
ტენის განვითარების 350(გ)									
\bar{n}	0.4	0.3				0.06		0.8	მქსიმალური ტენი
n_{max}	3	2				1		4	
m									
ტენის განვითარების 114(გ)									
\bar{n}	0.2	0.2	0.07					0.5	მქსიმალური ტენი
n_{max}	2	2	2					3	
m		0.1					0.04	0.1	
სამტკიცებელი 28(გ)									
\bar{n}	2	2	0.9	0.1		0.04	0.5	6	მქსიმალური ტენი
n_{max}	4	4						8	
m									
საქართველოს 148(გ)									
\bar{n}	1	1	0.8	0.08		0.08	0.3	3	მქსიმალური ტენი

ცხრილი 5.2.1-ის გაგრძელება									
n_{max}	5	8	2			1	2	10	
მთა საბუეთი, 1242(გ)									
\bar{n}	10	11	9	2	0.04	0.4	3	7	42
n_{max}	24	22	18	7	1	3	10	19	104
m	1	1	1	0.08		0.04	0.3	0.9	4
ორბოუკო, 793(გ)									
\bar{m}	0.4	0.6	0.04				0.1	0.3	1
შუალი, 740(გ)									
\bar{n}									
n_{max}	0.06	0.1							
m							0.06	0.2	

ცხრილ 5.2.1-ში მოცემულია აგრეთვე ქარახვეტიანი დღეების საშუალო რიცხვი m თვეში და წელიწადში.

დამოკიდებულებები $n_{max}=f(H)$, $\bar{n}=f(H)$ და $\bar{m}=f(H)$ ანალიზურად წარმოიდგინებიან წრფივი ფუნქციების სახით (ნახ. 5.2.1)

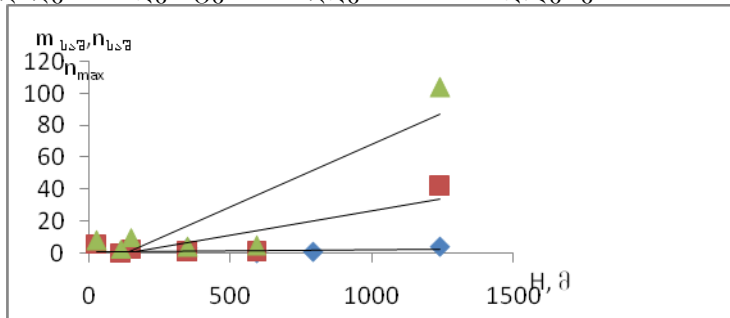
$$n_{max}=80.1H+4.0 \quad 5.2.1.$$

$$\bar{n}=38.0H-3.0 \quad 5.2.2.$$

$$\bar{m}=6.2H-1.0 \quad 5.2.3.$$

როგორც 5.2.1–5.2.3 დამოკიდებულებების ანალიზიდან ჩანს ადგილის აბსოლუტური სიმაღლის მატებისას წელიწადში ქარბუქიან (ქარახვეტიან) დღეთა რიცხვი იზრდება. ქარბუქიან დღეთა რიცხვის ვერტიკალური გრადიენტი შეადგენს ქარბუქიან დღეთა საშუალო რიცხვისათვის 4.5 დღეს 100მ სიმაღლეზე, ქარბუქიან დღეთა მაქსიმალური რიცხვისათვის 7.5 დღეს 100მ სიმაღლეზე დაბალი მთის (0-1გმ) ზონაში და 8 დღეს 100მ/სიმაღლეზე შეა მთის (1-2გმ) ზონაში.

ქარახვეტიან დღეთა რიცხვისათვის ვერტიკალური გრადიენტის სიდიდე არ აღემატება 0.5 დღეს 100მ სიმაღლეზე.



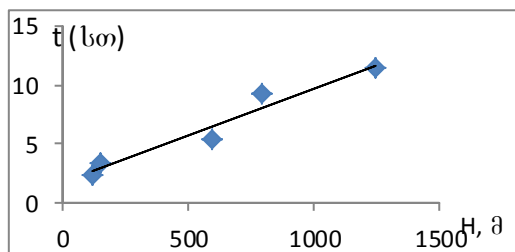
ნახ.5.2.1 წელიწადში ქარბუქიან და ქარახვეტიან დღეთა რაოდენობის (\overline{n} , n_{\max}) დამოკიდებულება ადგილის აბსოლუტურ სიმაღლეზე $H(\text{გმ})$. \blacktriangle - n_{\max} , \blacklozenge - \overline{n}

ქარბუქის საშუალო ხანგრძლივობა მოცემულია ცხრილ 5.2.2.-ში.

ცხრილი 5.2.2. ქარბუქების საშუალო ხანგრძლივობა (სთ)

თ ვ ე												წელი	გვერდის სიმაღლე			
I	II	III	IV	V	VI	VII	VIII	IX	X	XI	XII					
თებერვალი, 593(გ)												წელი	გვერდის სიმაღლე			
2.1	2.1	0.1										1.1	5.4	5.4		
ქუთაისი, 114(გ)																
0.7	0.4	0.1										1.2	2.4			
კორბოველი, 793(გ)																
17.8	22.4	6.6	1.8									0.4	6.3	55.3	9.3	
საქარა, 148(გ)																
3.6	4.2	1.8	0.1									0.1	0.5	10.3	3.4	
მთა საბუქეთი, 1242(გ)																
107.8	119.1	101.2	12.5		0.06							3.2	63.0	72.0	478.9	11.4

ცხრილი 5.2.2.-ის ბოლო სვეტში მოცემულია ქარბუქიან დღეში ქარბუქის საშუალო ხანგრძლივობა საათებში. ნახ.5.2.2.-ზე მოვემულია ქარბუქიან დღეში ქარბუქის საშუალო ხანგრძლივობის $t(\text{სთ})$ დამოკიდებულება ადგილის აბსოლუტურ სიმაღლეზე $H(\text{გმ})$.



ნახ.5.2.2. ქარბუქიან დღეში ქარბუქის საშუალო ხანგრძლივობის $t(\text{სთ})$ დამოკიდებულება ადგილის აბსოლუტურ სიმაღლეზე $H(\text{გმ})$.

როგორც ნაბ.5.2.2 გვიჩვენებს, ქარბუქიან დღეში ქარბუქის საშუალო ხანგრძლივობა t (სთ) ადგილის სიმაღლის მატებისას იზრდება 2.4სთ-დან (ქუთაისი) 11.4სთ-მდე (მთასაბუეთი). დამოკიდებულება $t=f(H)$ ანალოგიურად წარმოიდგიონება წრფივი ფუნქციის სახით:

$$t=1.53+8.7H$$

5.2.4

ამ გამოსახულების თანახმად 0.1ქმ სიმაღლეზე $t=2.4$ საათს, 1ქმ სიმაღლეზე $t=10.2$ საათს სადგურ მთა საბუეთზე, რომელიც განლაგებულია 1242გ. სიმაღლეზე, $t=11.4$ სთ-ს. აღნიშნული დამოკიდებულება საგმაო სიზუსტით ასახავს დღეში ქარბუქის საშუალო ხანგრძლივობის მაღლივ ცვლილებებს იმერეთის რეგიონისათვის. ქარბუქის საშუალო ხანგრძლივობის ვერტიკალური გრადიენტი შეადგენს 5საათს 1ქმ სიმაღლეზე. როგორც ცხრილი 5.2.1-დან ჩანს, ქარბუქი აღინიშნება: დაბლობ რაიონებში იანვარ-მარტში, წინა მთაში-დეკემბერ-მარტში, დაბლა მთაში-ნოემბერ-აპრილში, შეკვეთში (ქვედა საზღვარზე) ოქტომბერ-აპრილში. რაც შეეხება დღელამის სხვადასხვა დროის ინტერვალში (18-24, 24-6, 6-12 და-18სთ) ქარბუქების ხანგრძლივობას, დაბლობ რაიონში (ქუთაისი) თითქმის არ აღინიშნება განსხვავება მის სიდიდეებს შორის. სადგურ მთა საბუეთში კი ხანგრძლივობის მაქსიმუმი წელიწადში 137,9სთ აღინიშნულია დამის საათებში (24-სთ), ხანგრძლივობის შედარებით ნაკლები მნიშვნელობები დაფიქსირებულია 18-24 საათის ინტერვალისათვის-121,8 საათი, და უფრო დაბალი 6-12 და 12-18საათი ინტერვალები-სათვის შესაბამისად 109,4 და 100,8საათი. ამ სადგურზე ქარბუქების დროს ქარის სხვადასხვა მიმართულებებიდან მაქსიმალური განმეორება (%) მოდის დასავლეთის (55%) და აღმოსავლეთის (26%) ქარებზე, ჩრდილო-აღმოსავლეთის მიმართულების ქარზე მოდის 12%. ქარების დროს ქარის სიჩქარის მაქსიმალური განმეორადობა ამ სადგურებზე აღინიშნულია ქარის სიჩქარის შემდეგი ინტერვალებისათვის 10-13გ/წმ (22.8%), 14-17გ/წმ (24.3%), 18-20გ/წმ (25.6%). ქარის სიჩქარის ინტერვალებზე 20-34 და 34-40გ/წმ მოდის ქარბუქების რაოდენობის მხოლოდ 16.0%. ამავე სადგურზე წელიწადში ქარბუქების მაქსიმალური რაოდენობა 46 და% აღინიშნება შესაბამისად ტემპერატურის შემდეგი ინტერვალებისათვის: -9.9-5.0⁰ (46%) და -4.9-0.0⁰ (47%) ტემპერატურის დანარჩენი ინტერვალებისათვის (-14.9-10.0⁰, -19.9-15.0⁰) ქარბუქების საერთო რაოდენობა შეადგენს მხოლოდ 7%-ს.

ბურიის ტერიტორიის მსგავსად, ქარბუქის აქტივობა და ინტენსივობა (ქარბუქიან დღეთა რაოდენობა წელიწადში, ქარბუქის საშუალო, მაქსიმალური და უწყვეტი ხანგრძლივობა) ემორჩილება ვერტიკალური ზონალობის კანონს: აღილის აბსოლუ-

ტური სიმაღლის მატებისას ქარბუქის აქტივობა რეგიონში იზრდება

5.3. ნისლი

ნისლი განეკუთვნება საშიშ მეტეოროლოგიურ მოვლენათა რიცხვს, ის ამცირებს მხედველობის სიშორეს 50 მეტრამდე და მეტად (ძლიერი ნისლი), რითაც უარყოფითად მოქმედებს ტრანსპორტის ფარვა სახეობის ნორმალურ ფუნქციონირებაზე. იგი ასევე უარყოფითად მოქმედებს ადამიანის ორგნიზმში მიმდინარე თერმორეგულაციის პროცესებზე. გენეზისის პირობებზე დამოკიდებულებით ნისლი შეიძლება იყოს შიდამასიური და ფრონტალური, შიდამასიური ნისლის სახეობებია: აღვეჭიური და რადიაციული ნისლი. მთიან რაიონებში ეშირად აღინიშნება აღვეჭიური ნისლის ნაირსახეობა ნისლი. უნდა აღინიშნოს, რომ ნისლის ცალკეულ სახეობებს შორის მკვეთრი ზღვარი არ არსებობს, რადგანაც მათ წარმოშობაში მონაწილეობს მეტოროლოგიური ფაქტორების მთელი კომპლექსი. იმერეთის ტერიტორიაზე ნისლიან დღეთა საშუალო \overline{H} და მაქსიმალური H_{\max} რაოდენობა მოცემულია ცხრილ 5.3.1-ში.

ნახ.5.3.1-ზე წარმოდგენილია წელიწადში ნისლიან დღეთა საშუალო \overline{H} და მაქსიმალური H_{\max} რაოდენობის აღგილის აბსოლუტურ სიმაღლეზე H დამოკიდებულების გრაფიკული სახე.

დამოკიდებულებები $\overline{H} = f(H)$ და $H_{\max} = f(H)$ შეიძლება წარმოდგენილი იქნეს მაჩვენებლიანი ფუნქციის $y=a'b^x$ სახით, რომელიც ლოგარითმირების შედეგად გადადის წრფის განტოლებაში $Igy = lga + xlgb$, რომლის გამოყენებით მარტივდება a და b პარამეტრების გამოთვლა. დამოკიდებულებები $\overline{H} = f(H)$ და $H_{\max} = f(H)$ აქვთ შემდეგი ანალიზური სახე:

$$\lg \overline{H} = 0.46 + 0.27H \quad 5.3.1.$$

$$\lg H_{\max} = 1.28 + 0.17H \quad 5.3.2.$$

ამ გამოსახულებებში H იცვლება 0.1-1.3კმ-ის ფარგლებში. დამოკიდებულებების ანალიზური სახეების დაღენისას შესაბამის გამოთვლებში გამოყენებული იქნა არა ადგილის აბსოლუტური სიმაღლის H გრადაციები 0.2კმ ბიჯით (0.1; 0.3; 0.5; ...1.1; 1.3კმ), არამედ მათი შესაბამისი ნატურალური რიცხვების რიგი (1, 2, 3, ... 7). (1) და (2) გამოსახულებებით ნისლიან დღეთა საშუალო \overline{H} და მაქსიმალური H_{\max} რაოდენობები წელიწადში განისაზღვრება ლოგარითმების ცხრილების საშუალებებით. შესაბამისი გამოთვლებიდან ჩანს, რომ გამოსახულებებით გამოთვლილი \overline{H} და მაქსიმალური H_{\max} -ის სიდიდეები ახლოა შესაბამის სიმაღლეებზე დაკვირვებებით მიღებულ სიდიდეებთან.

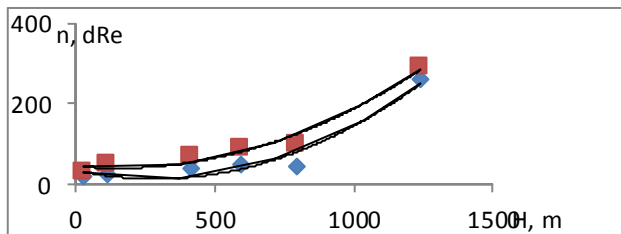
ცხრილი 5.3.1. ნისლიან დღეთა საშუალო \overline{H} და მაქსიმალური H_{max} რაოდენობა

თ 3 3												წელი
I	II	III	IV	V	VI	VII	VIII	IX	X	XI	XII	
ტემპერატური												
2	1	2	3	3	1	2	1	1	0.3	0.7	0.8	18
0.9	0.9	0.3	0.3	0.04	0.1	0.1	0.04	0.4	1	1	1	6
0.3	0.6	0.4	1	1	0.6	0.3	0.3	0.6	0.5	0.3	0.1	6
ტემპერატური												
0.7	0.4	0.5	1	1	0.3	0.1	0.4	0.4	0.5	0.2	0.1	5
0.9	1	0.9	2	2	0.8	0.4	0.9	0.6	0.6	0.5	0.7	12
ტემპერატური												
2	2	5	6	4	2	3	2	2	0.8	2	2	33
0.5	0.4	0.5	1	1	0.6	0.5	1	2	1	0.6	0.4	9
0.4	0.3	1	0.9	0.9	0.2	0.3	0.3	0.3	0.2	0.7	0.3	6
0.7	0.2	0.6	1	0.9	0.2	0.4	0.6	0.8	2	0.4	0.4	8
0.1	0.7	2	3	3	0.6	0.7	0.5	0.2	0.2	0.5	0.3	12
მთა საბური												
23	21	23	20	20	21	24	22	21	22	21	20	258
სამშენებლო												
0.5	0.6	0.4	0.1	0.4	0.4	0.05	0.4	0.4	0.3	0.3	0.05	4
0.7	0.5	0.1	0.1			0.04	0.04	0.04	0.1	0.8	0	3
წილი												
6	6	6	4.	3	1	2	1	0.4	1	3	4	37
H_{max}												
I	II	III	IV	V	VI	VII	VIII	IX	X	XI	XII	წელი
ტემპერატური												
12	11	10	8	11	7	15	6	11	2	8	5	77
3	5	2	2	1	1	2	1	2	4	3	5	14
2	2	3	5	4	4	1	2	4	2	4	1	12
ტემპერატური												
5	2	2	4	5	2	1	2	2	3	2	1	14
4	4	4	5	7	3	4	4	4	2	6	3	26
ტემპერატური												
7	5	13	15	10	7	8	10	4	3	4	7	67
3	2	3	5	4	2	4	5	9	5	2	3	18
3	3	5	4	6	2	3	3	2	9	3	5	18
5	2	4	6	5	3	5	4	5	5	3	7	24
2	5	7	11	10	5	6	2	2	1	2	3	24
მთა საბური												
30	27	29	28	27	27	30	29	28	30	28	27	291
სამშენებლო												
3	8	4	1	3	1	1	2	2	2	3	1	15
წილი												

გარდა ნისლწარმომქმნელი ზოგადი პროცესებისა, როგორიცაა შედარებით ცივ ქვეფენილ ზედაპირზე თბილი პარის მასის მოძრაობა, როდესაც ადგილი აქვს წყლის ორთქლის კონდენსაციას და ადგექციური ნისლის წარმოქმნას, მოწმენდილი

ცის პირობებში ქვეფანილი ზედაპირის და ჰაერის მიწისპირა ფენის გაციება გრძელტალიანი გამოსხივების შედეგად და მასში არსებული წყლის ორთქლის კონდენსაცია რადიაციული ნისლის წარმოქმნით, ორი სხვადასხვა თერმოპიგრომეტრიული თვისებების ჰაერის მასების შერევა (ზღვიდან შედარებით თბილი და ნოტიო ჰაერის მასა, ხმელეთიდან კი მშრალი და ცივი ჰაერის მასა), რაც მთავრდება სანაპიროს ნისლის წარმოქმნით, იმერეთის ტერიტორიაზე ნისლიან დღეთა რაოდენობა აგრეთვე დამოკიდებულია ადგილის აბსოლუტურ სიმაღლეზე და ოროგ-რაფიის თავისებურებებზე.

მთიან რაიონებში ამ ფაქტორების გავლენით ადგილი აქვს ადვეციური ნისლის ვერტიკალურ ნაირსახეობას ნისლს, რომელიც წარმოიქმნება შავი ზღვიდან წარმოსული ნოტიო ჰაერის ფარდობებზე ასელისას მისი ადიაბატური გაცივების და მასში არსებული წყლის ორთქლის კონდენსაციის შედეგად, რაც მნიშვნელოვნად ზრდის ნისლიან დღეთა რაოდენობას მთიან რაიონებში. როგორც ცხრილ 5.3.1-ზე მოყვანილი მონაცემებიდან და ნახ. 5.3.1-დან ჩანს, იმერეთის ტერიტორიის დაბლობ ნაწილში ნისლიან დღეთა საშუალო რაოდენობა \overline{n} მერყეობს 3-12 დღის ფარგლებში, ხოლო მაქსიმალურ დღეთა რაოდენობა n_{max} 12-26-ის ფარგლებში დაბალ მთაში (0.6-0.8 მ) სიმაღლეზე ამ მაჩვენებლების სიდიდე მერყეობს შესაბამისად 18-37 და 67-77 დღის ფარგლებში შუამთის ქვედა საზღვარზე (მთა საბუეთი 1242მ) ეს მაჩვენებლები შესაბამისად ტოლია 258 და 292 დღისა. ე.ო. ადგილის სიმაღლის მატებისას იმერეთის ტერიტორიაზე აღინიშნება \overline{n} და n_{max} -ის მკვეთრი ზრდა.



ნახ.5.3.1. წელიწადში ნისლიან დღეთა საშუალო \overline{n} და მაქსიმალური n_{max} რაოდენობის ადგილის აბსოლუტურ სიმაღლეზე H დამოკიდებულია $(\blacksquare - 1) \cdot n_{max} = f(H)$, $(\blacklozenge - 2) \cdot \overline{n} = f(H)$.

იმერეთის ტერიტორიაზე არსებული მეტეოროლოგიური სადგურების ქსელის მრავალწლიური ინფორმაციის ანალიზის შედეგად, გარდა ნისლიან დღეთა საშუალო და მაქსიმალური

რაოდენობისა, გაანალიზდა ნისლიან დღეთა გრადაციების განმეორადობა თვეების და წელიწადის მიხედვით, ნისლების საშუალო ხანგრძლივობა, ნისლების ხანგრძლივობა დღეთა გრადაციების სხვადასხვა დროს. თვეების მიხედვით ნისლიან დღეთა გრადაციების (ინტერვალით 2 დღე) განმეორადობა (1-2, 3-4, 5-6 დღე და ა. შ.) იმრეთის დაბლობ რაიონში მაქსიმალურია 1-2 დღის გრადაციისთვის. წელიწადში იგი იცვლება ხონში 14%-დან (XI, XII) 50%-მდე (IV), წყალტუბოში 15-18%-დან (XI,XII) 50%-მდე (V), ქუთაისში 17%-დან (XI) 60%-მდე (V), სამტრედიაში 27%-დან (I) 54%-მდე (V), აღსანიშნავია, რომ ნისლიან დღეთა მაქსიმალური განმეორადობა ამ გრადაციისთვის (1-2 დღე) იმრეთის დაბლობ ტერიტორიაზე აღინიშნება ძირითადად მაისში (ხონში კი აპრილში), მინიმალური განმეორადობა კი ძირითადად ნოემბერ-დეკემბერში. რაც შეეხება შუა მთაში განლაგებულ მთა საბუეთის სადგურს, აქ დაბლობი რაიონისაგან განსხვავებით, მნიშვნელოვნად მატულობს ნისლიან დღეთა რაოდენობა. აქ დღეების გრადაციებისათვის 1-2 დღიდან 9-10 დღის ჩათვლით. ნისლიან დღეთა განმეორადობა ნულის ტოლია. აქ ნისლიან დღეთა განმეორადობა ძირითადად მოდის 11-12 და 27-28 დღის გრადაციების ინტერვალზე. ამასთანავე ერთად ნისლიან დღეთა მაქსიმალური განმეორადობა მოდის დღეების შემდეგ გრადაციებზე: 19-20, 21-22, 23-24 და 25-26 დღე. წელიწადში ნისლიან დღეთა სხვადასხვა რიცხვის განმეორადობა, %

ცხრილი 5.3.2. წელიწადში ნისლიან დღეთა სხვადასხვა რიცხვის განმეორადობა, %

დღეთა ინტერვალი											
1-5	6-10	11-15	16-20	21-25	26-30	31-35	36-40	41-45	46-50	51-55	
18	18	18	25	3	3	3	3	3	3	3	
ტყიბული											
35	61	4									
საჩხერე											
41	45	14									
ხონი											
38	58	4									
წყალტუბო											
4	35	42	15		4						
ქუთაისი											
	4	14	18	11	11	15	15	4	4		
ქორბოლული											
13	33	38	13								
სამტრედია											

ცხრილი 5.3.2-ის გაგრძელება									
საქართველო									
54	15	19	8						
კანტონი									
37	26	19	7	4					
დღეთი 06 ტემპერატურა									
211-220	221-230	231-240	241-250	251-260	261-270	271-280	281-290	291-300	
მთა საბუჟო									
4		12	12	28	16	20	4	4	

ნისლების საშუალო ხანგრძლივობა მოცემულია ცხრილ 5.3.3.-ში.

ცხრილი 5.3.3. ნისლების საშუალო ხანგრძლივობა (სო)

0 3 9												წელი
I	II	III	IV	V	VI	VII	VIII	IX	X	XI	XII	
ტემპერატურა												
5.0	2.4	6.8	7.0	9.8	2.2	2.2	1.2	1.4	0.4	0.5	1.1	40.0
სანხერები												
3.3	3.3	2.8	3.5	2.5	0.2	2.3	0.5	0.8	3.2	3.5	9.9	35.5
ქვეთასი												
2.9	3.1	1.6	4.9	6.5	1.6	0.4	2.1	1.0	1.5	1.4	1.8	28.8
კორმოველი												
8.6	7.9	33.8	37.8	19.4	8.3	12.8	8.7	5.1	2.4	7.6	6.5	158.9
სამტკიციანი												
1.5	1.0	1.6	4.1	3.5	0.9	1.1	3.3	3.2	4.1	1.6	1.1	27.0
საქართველო												
1.1	1.0	5.2	2.5	2.5	0.7	0.3	0.7	0.5	1.0	0.8	1.1	17.7
მთა საბუჟო												
322	3120	345	2561	2B5	2035	2883	2153	2022	2393	2760	2990	31119

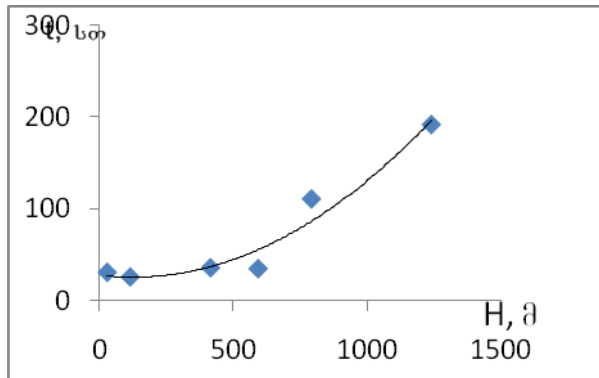
როგორც ცხრილ 5.3.3.-დან ჩანს, ადგილის აბსოლუტური სიმაღლის მატებისას ნისლების საშუალო ხანგრძლივობა იზრდება და მთა საბუჟოში აღწევს 3111.9 საათს წელიწადში. დამოკიდებულების $t=f(H)$ (სადაც t არის ნისლების საშუალო ხანგრძლივობა წელიწადში (სო), H -ადგილის აბსოლუტური სიმაღლე (კმ)) გრაფიკული სახე წარმოდგენილია ნახ. 5.3.2.-ზე.

ანალიზურად დამოკიდებულება $t=f(H)$ წარმოიდგინება მაჩვენებლიანი ფუნქციის $y=ab^x$, რომელიც ლოგარითმების შედეგად გარდაიქმნება წრფის განტოლებად: $\ln y = \ln a + x \ln b$, რომელიც a და b პარამეტრების სიდიდების მარტივად გამოვლის საშუალებას იძლევა. დამოკიდებულებას $t=f(H)$ აქვს შემდეგი ანალიზური სახე:

$$\ln t = 0.74 + 0.30H$$

5.3.3.

ამ განტოლებაში H იცვლება 0,1-0,9 კმ-ის ფარგლებში. ამ გამოსახულებით ნისლების საშუალო ხანგრძლივობის გამოსათვლელად ადგილის სიმაღლის (H) გრადაციების ნაცვლად (0,1; 0,3; . . . 0,9 კმ) გამოიყენება მათი შესაბამისი ნატულარული რიცხვების რიგი (1,2,3,...5). (5.3.3) გამოსახულება საშუალებას იძლევა სატარი სიზუსტით გამოითვალის წლების საშუალო ხანგრძლივობა დაბლა მთაში. შეა მთისათვის ნისლების საშუალო რაოდენობა დგინდება ექსტრაპოლაციის გზით.



ნახ. 5.3.2 ნისლების საშუალო ხანგრძლივობის დამოკიდებულება ადგილის სიმაღლეზე. $t=f(H)$.

5.4. წაყინვები

იმერეთის რეგიონი მდებარეობს დასავლეთ საქართველოს ცენტრალურ ნაწილში. შავი ზღვის სიახლოვე განაპირობებს ამ რაიონში ზომიერი თბილი ნოტიო კლიმატის ფორმირებას. წლის განმავლებაში აქ შეიმჩნევა მაღალი ფარდობითი სინოტივე და ნალექების თითქმის თანაბარი განაწილება თვეების მიხედვით. მთავარი კავკასიონის ქედი იცავს ტერიტორიას ზამთარში ჰაერის ციფი მასების შემოჭრისაგან. ასეთი პირობები ხელსაყრელია სასოფლო-სამეურნეო კულტურების დიდი უმტკიცებელი სობის მოყვანისათვის. სამწუხაროდ არსებობს რიგი პირობები, რომლებიც ხელს უშლის რაიონის რესურსების უფრო სრულად გამოყენებას, მათ შორის ერთ-ერთი ძირითადი ხელისშემსლელი ფაქტორია წაყინვები.

როგორც მეტეოროლოგიაში არის მიღებული, წაყინვების ქვეშ იგულისხმება ჰაერის მინიმალური ტემპერატურის ხანმოკლე დროებით დაწევა $0^{\circ}\text{-}9^{\circ}$ დაბლა გაზაფხულზე ან შემოდგომაზე დადგებითი საშუალო დღე-დამური ტემპერატურის დროს. წაყინვები არათანაბრადაა განაწილებული წლების და თვეების

მიხედვით. მათი ოლბათობა მკვეთრად იზრდება იმ წლებში, როდესაც აღნიშნულ რეგიონში პარტიის ციფი მასების შემოჭრა ხდება უფრო ხშირად, ვიდრე ამას ჩვეულებრივად აქვს ადგილი. წაყინვების კლიმატური თავისებურებების ანალიზი, მათი დროში და სივრცეში განაწილების ცოდნა აუცილებელია სოფლის მეურნეობის სწორად გაძლიერებისათვის. წაყინვების ინტენსივობა, ხანგრძლივობა, განმეორებადობა, შემოდგომის პირველ და გაზაფხულის ბოლო წაყინვის თარიღი და სხვა მახასიათებლების ცოდნა მოგვეხმარება მიწის უფრო რაციონალურად გამოყენებაში, წაყინვებისაგან მცენარეთა დაცვის უფასებელი დონისძიებების შერჩევაში და მოსავლის დანაკარგების შემცირებაში.

აღნიშნული კვლევისას გამოყენებულია საქართველოს ჰიდრომეტეოროლოგიის დეპარტამენტისა და ჰიდრომეტეოროლოგიის ინსტიტუტის საარქივო მასალები. წაყინვიან დღეთ ვთვლიდით ყველა შემთხვევას, როცა ოუნდაც ერთ ვადაზე, ან მინიმალური თერმომეტრის ჩვენების მიხედვით მეტეოსადგურზე ფიქსირდებოდა წაყინვის ფაქტი. ჩვენს შემთხვევაში განხილულია დაკვირვების 35 წლიანი პერიოდი. წაყინვები ნიადაგის ზედაპირზე ამჟამად არ ყოფილა ჩვენი კვლევის საგანი.

წაყინვების შესწავლისადმი გაძლიერებულ ინტერესზე და მოვლენის აქტუალურობაზე მიუთითებს ის ფაქტი, რომ 2011 წელს გამოცემულ კლიმატურ და აგროკლიმატურ ატლასში ამ მოვლენის დასახასიათებლად მოყვანილია რამდენიმე რუკა. მათ შორის №31 სადაც მთელი საქართველოსათვის ანალიზირებულია პარტში უყინვო პერიოდის საშუალო ხანგრძლივობა, ანუ გაზაფხულის ბოლო წაყინვას და შემოდგომის პირველ წაყინვას შორის არსებული ინტერვალის ხანგრძლივობა დღეებში. №32-იგივე პარამეტრი ნიადაგის ზედაპირის ტემპერატურის განმსაზღვრელი თერმომეტრის ჩვენების მიხედვით. №83-სადაც დებალურად არის მითითებული გაზაფხულის ბოლო წაყინვის დადგომის თარიღის ცვალებადობა და №84, რომელშიც განხილულია 10 ან 20 წლიწადში ერთხელ წაყინვის მოვლენის დადგომის სიხშირე.

იმერეთის რეგიონის დასახასიათებლად ჩვენ გამოვიყენეთ სამი მეტეოროლოგიური სადგურის: სამტრედია, ქუთაისი და საქართველოში მასალა. წაყინვების რაოდენობა და მათი ზოგიერთი მახასიათებელი მოგვყავს სათანადოდ ცხრილში 5.4.1

თავისი წარმოშობის მიხედვით მ.ზახაშვილი ბარიული ველის მრავალფეროვნებიდან გამოყოფს 4 ძირითად ტიპს, რომელიც ხელს უწყობს იმერეთში (დასავლეთ საქართველოში) წაყინვების წარმოქმნას. ესენია:

ცხრილი 5.4.1. წაყინვების ზოგიერთი ძირითადი მახსინათგბლები

Nº	სიმაღლე ზღვის დონიდან (მ)	საშუალო წელიწადში	უდიდესი უმცირესი	ჯამი
სამტრედია				
1	26	3	11	0
ქუთაისი				
2	116	3	12	0
საქართველო				
3	149	5	19	0
				171

I. ტიპი. ამ დროს ბარიული ველის კონფიგურაცია ხელს უწყობს დასავლეთ საქართველოში პაერის ცივი მასების გადაადგილებას დასავლეთიდან აღმოსავლეთისაკენ. ასეთი შემთხვევები წაყინვების მთელი რაოდენობის 30%-ს მოიცავს. მათი ალბათობა შემოდგომაზე 2-ჯერ უფრო მეტია, ვიდრე გაზაფხულზე. წაყინვები ძირითადად წარმოიქმნება ცივი ფრონტის გავლის შემდეგ, მეორე დღეს. ეს არის ე. წ. ადგექციურ-რადიაციული ტიპის წაყინვების შემთხვევა, რომლის დროსაც ადგილი აქვს საშუალო მოდრუბლელობას და აღინიშნება სუსტი ქარი.

II. ტიპის პროცესები არ გამოირჩევა თავისი ხანგრძლივობით ან ინტენსივობით. მათი ალბათობა თანაბარია როგორც გაზაფხულზე, ასევე შემოდგომაზე და შეადგენს 20%-ს.

III. ტიპის პროცესების ალბათობა მოსალოდნელია უმეტესად გაზაფხულზე 20%. ამ დროს საქართველოში ადგილი აქვს აღმოსავლეთის პროცესების გააქტიურებას და როგორც წესი იმერეთში წაყინვების ალბათობა დიდი არ არის.

IV. ტიპის პროცესების განმეორებადობა 25%-ია. მათი ალბათობა გაზაფხულზე და შემოდგომისას თითქმის ტოლია. ამ ტიპის პროცესებისთვის დამახასიათებელია ბარიული ველის ცვლა პორიზონტალურიდან მერიდიონალურზე ან პირიქით. პაერის ცივი მასები შეიძლება გავრცელდეს როგორც დასავლეთიდან ისე აღმოსავლეთიდან. წაყინვები ამ დროს ხანმოკლეა და არაინტენსიური.

განვიხილოთ როგორ ნაწილდება წაყინვების საშუალო რაოდენობა თვეების მიხედვით განხილულ ტერიტორიაზე (ცხრ. 5.4.2.)

როგორც ცხრილიდან ჩანს, საქარაში გაზრდილი წაყინვების ალბათობა ძირითადად გამოწვეულია მარტში და ნოემბერში მათი რაოდენობის საგრძნობი მატებით. აპრილში და ოქტომბერში წაყინვების ალბათობა უმნიშვნელოა.

**ცხრილი 5.4.2. წაყინვების შემთხვევების საშუალო რაოდენობა
თვეების მიხედვით**

№	თ ვ ე						ჯ ა მ ბ
	III	IV	...	X	XI		
სამტრედია							
1	2.3	0.2	-	-	0.5	3.0	
ქუთაისი							
2	2.5	0.1	-	-	0.3	2.9	
საქართ							
3	3.1	0.3	-	0.1	1.4	5.9	

გარდა საშუალო მნიშვნელობისა, გარკვეულ ინტერესს იწვევს იმის ცოდნა, თუ რამდენად ხშირად მეორდება ეს სიდიდე.

ცხრილის მონაცემები საშუალებას გვაძლევს დაგასკვნათ, რომ 25%-იანი უზრუნველყოფით (ანუ ერთხელ 4 წელიწადში) სამტრედიაში შეძლება იყოს წაყინვის 4 შემთხვევა, ქუთაისში-5, ხოლო საქართ-ში-7 და ა.შ.

**ცხრილი 5.4.3. წაყინვის დღეთა რაოდენობის
უზრუნველყოფა (%)**

№	უზრუნველყოფა						სამტრედია
	5	10	25	50	75	90	
სამტრედია							
1	11	8	4	2	1	-	
ქუთაისი							
2	10	7	5	2	-	-	
საქართ							
3	12	11	7	4	1	-	

შემდეგი მახასიათებელი, რომლითაც წაყინვის შემთხვევა შეიძლება დაგახასიათოდ არის მისი ხანგრძლივობა. როგორც წესი წაყინვები არ გვხვდება დიდი პერიოდის განმავლობაში. სათანადო მონაცემები მოგვეას ცხრილში 5.4.4.

ცხრილი 5.4.4. წაყინვის ხანგრძლივობა (დღე)

№	ხანგრძლივობა							სამტრედია
	1	2	3	4	5	6	7	
სამტრედია								
1	69	17	10	4	-	-	-	
ქუთაისი								
2	55	25	15	3	-	2	-	
საქართ								
3	66	17	9	6	2	-	-	

ამრიგად წაყინვების უმეტესობა ეპიზოდურია, მათი ხანგრძლივობა მხოლოდ 1 დღეა, შემთხვევათა 55-70%-ში. წაყინვა შეიძლება გაგრძელდეს 3 დღე სამტრედიაში 10, ქუთაისში 15, ხოლო საქარაში 9%-ის დროს. უდიდესი ხანგრძლივობა 6 დღე განმეორდა ქუთაისში მხოლოდ 2% შემთხვევაში.

ამჟამად ჩვენ განვიხილავთ წაყინვების იმ შემთხვევებს, როცა ტემპერატურის 0⁰-ზე დაბლა დაცემას მეტეოროლოგიურ ბუდრუგანაში დაიფიქსირებს მინიმალური თერმომეტრის ან ვადაზე ჩატარებული დაკვირვების 1 ან რამდენიმე ანათვალი. წაყინვის ხანგძლივობაზე წარმოდგენას გვაძლევს სათანადო ცხრილის 5.4.5. მონაცემები, სადაც ფიქსირდება დაკვირვების რამდენი ვადა ადასტურებს ტემპერატურის დაცემის ფაქტს.

ცხრილი 5.4.5. უარყოფითი ტემპერატურების განმეორებადობა (%) ვადების მიხედვით

№	სადგური	ვადები			
		0	1	2	3
1	სამტრედია	44	32	24	0
2	ქუთაისი	45	34	22	0
3	საქარა	45	35	20	0

მონაცემები ახლოა ერთმანეთთან. შეიძლება დავასკვნათ, რომ წაყინვების საერთო რაოდენობის 44% იმდენად ხანმოკლეა, რომ ვადაზე წარმოებული დაკვირვება მას ვერ აფიქსირებს. შემთხვევათა ერთი მესამედი ფიქსირდება მხოლოდ ერთ ვადაზე და კიდევ ერთი მეოთხედი ორ ვადაზე. სამ ვადაზე ტემპერატურის დაცემის შემთხვევა არ ფიქსირდება.

სათანადო ლიტერატურიდან ცნობილია, რომ საქართველოში უპირატესად ადგილი აქვს ადგექციური ტიპის წაყინვებს. ამ ტიპის წაყინვები ძირითად გამოწვეულია რეგიონში ცივი ფრონტის გადადგილებით. მათთვის დამახასიათებელია ტემპერატურის საერთო დაცემა, ქარი, მოდრუბლულობა. მათი გავრცელების დრო და ფართობი საბეჭიროდ დიდი არ არის. მეორე ადგილი შეიძლება მივაკუთვნოთ რადიაციული ტიპის წაყინვებს; მათთვის დამახასიათებელია მოწმენდილი ცა, უქარო ამინდი, შედარებით დიდ ტერიტორიაზე გავრცელდება და ტემპერატურის დაცემა არაუმეტეს 1-2%-ისა. დანარჩენი შემთხვევები შეიძლება მივაკუთვნოთ ადგექციურ-რადიაციულ ტიპს, როცა ადგილი აქვს ორივე ტიპის წაყინვების დამახასიათებელ მოგლენებს. სათანადო მასალები მოგვყავს ცხრილში 5.4.6.

სამტრედიაში ძირითადად ადგექციური ტიპის წაყინვებია 54 (%) რადიაციული და ადგექციურ-რადიაციული თითქმის თანაბრად 21-25%. ქუთაისში რადიაციული ტიპის წაყინვების ალბა-

თობა არ აღემატება 10%-ს, რაც გამოწვეულია ხშირი ძლიერი ქარებით და ფინანსური მოვლენებით. აღვექციური და აღვექციურ-რადიაციული წაყინვები აქ თითქმის ერთნაირი აღბათობით, 42-48%-ში აღინიშნება. საქარაში კი აღვექციური და რადიაციული ტიპის წაყინვების აღბათობა პრაქტიკულად ტოლია და 40% შეადგენს. აღვექციურ-რადიაციულ წაყინვების წილი აქ არ აღემატება 20%-ს.

ცხრილი 5.4.6. წაყინვების ტიპის განმეორებადობა(%)

№	სადგური	წაყინვის ტიპი		
		ადგექციური	რადიაციული	ადგექციურ-რადიაციული
1	სამტრედია	54	25	21
2	ქუთაისი	48	10	42
3	საქარა	40	41	19

ერთი და იგივე ხანგრძლივობისა და ინტენსივობის წაყინვა მცენარეს სხვადასხვა ხარისხის დაზიანებას მიაყენებს იმის მიხედვით თუ განვითარების რა სტადიაში იმყოფება (ფენოლოგია და სეჭვნი).

როგორც ვთქვით წაყინვების დიდი უმეტესობა არ გამოირჩევა დიდი ინტენსივობით. განვიხილოთ ტემპერატურის დაცვის რა ინტერვალია მოსალოდნელი სხვადასხვა სადგურებზე თვეების მიხედვით (ცხრილი 5.4.7.)

ცხრილი 5.4.7. წაყინვების ინტენსივობა

ტემპერატურის გრადაცია	სადგური			სადგური			სადგური							
	სამტრედია			ქუთაისი			საქარა							
	დან	მდე	თვე			თვე			თვე					
			III	IV	.. . XI	III	IV	.. . XI	III	IV	.. . X XI			
0.0	-0.9	47	5	—	7	56	2	—	9	47	6	—	4	28
-1,0	-1.9	22	2	—	8	16	1	—	2	37	4	—	—	9
-2,0	-2.9	7	1	—	2	11	—	—	1	11	—	—	—	7
-3,0	-3.9	3	—	—	1	1	—	—	—	10	1	—	—	3
-4,0	-4.9	—	—	—	—	1	—	—	—	2	—	—	—	1
-5,0	-10,0	—	—	—	—	2	1	—	—	—	—	—	—	1
ჯამი		79	8	—	18	87	4	—	12	107	11	—	4	49

ჩვენი გამოკვლევა არ იქნება სრული, თუ არ განვიხილავთ კიდევ ერთ მაჩვენებელს, ე.წ. უყინვო პერიოდის ხანგრძლივობას. როგორც განმარტებიდან ჩანს, ეს არის გაზაფხულის ბოლო და შემოდგომის პირველ წაყინვას შორის არსებული დროის ინტერვალი გამოხსატული დღეებში. ეს მაჩვენებელი განსხვავებულია სადგურებისა თუ წლების მიხედვით. გარკვეული სხვაობა არსებობს ნიადაგის ზედაპირზე თუ 2d სიმაღლეზე წაყინვის

თარიღის დადგომას შორის. თუ გავითვალისწინებთ, რომ ცივი ჰაერი უფრო მძიმეა და რადიაციული ტიპის წაყინვებისას ადგილი აქვს ნიადაგის ზედაპირის საგრძნობ გადაციებას, ადგილი ასახსნელია თუ ნიადაგის ზედაპირზე ეს საშუალო ინტერვალი რატომ არის შემცირებული. სათანადო მასალა მოცემულია ცხრილში 5.4.8. მოღვაწე საშუალო ცნობარიდან.

ცხრილის მონაცემები ცხადეოფების, რომ უყინვო პერიოდის საშუალო ხანგრძლივობა ჰაერში 25-35დღით მეტია, ვიდრე ნიადაგის ზედაპირზე იმავე საღვეურისათვის.

ცხრილი 5.4.8. ბოლო და პირველი წაყინვების დადგომის საშუალო თარიღი და უყინვო პერიოდის ხანგრძლივობა ნიადაგის ზედაპირზე და მეტეოროლოგიური ბუღრუებანის მონაცემების მიხედვით.

№	სადგური	ბოლო წაყინვის საშუალო თარიღი	პირველი წაყინვის საშუალო თარიღი	უყინვო პერიოდის საშუალო ხანგრძლივობა
1	სამტრედია	7/III	17/XII	284
2	ქუთაისი	12/III	26/XII	288
3	საქარა	20/III	26/XI	250
იგივე ნიადაგის ზედაპირზე				
№	სადგური	ბოლო	პირველი	ხანგრძლივობა
1	სამტრედია	22/III	5/XII	257
2	ქუთაისი	26/III	2/XII	250
3	საქარა	6/III	9/XI	216

თუ ცნობილია პირველი და ბოლო წაყინვების დადგომის საშუალო ალბათობა, მაშინ შეგვიძლია გამოვთვალოთ მათი სხვადასხვა ალბათობით დადგომის თარიღი (ცხრილი 5.4.9.).

ცხრილი 5.4.9. პირველი და ბოლო წაყინვის დადგომის საშუალო ალბათობა (%)

თარიღი	საშუალო	5	10	25	50	75	90	95
პირველი	11/XI	7/X	16/X	28/X	11/X	25/X	7/XI	16/XI
ბოლო	11/III	13/II	19/II	1/III	11/III	21/III	31/III	6/IV

ამრიგად ჩვენ საქმაოდ დეტალურად განვხილავთ წაყინვების ზოგიერთი თავისებურება იმერეთის რეგიონში. სხვა ელემენტების ცვალებადობის ძირითად თავისებურებებს დაინტერესებული მკითხველი ნახავს სათანადო პარაგრაფის გაცნობის შემთხვევაში. ხშირად იბადება კითხვა რას უნდა ველოდოთ უახლოესი ათწლეულების განმავლობაში? იმასთან დაკავშირებით, რომ გარემოს მევლევართა დიდი უმეტესობა უახლოეს პერიოდში დადამიწაზე ტემპერატურის მცირედ, მაგრამ სტაბილურად მატებას ვარაუდობს, ჩვენც შეგვიძლია ვივარაუდოთ რომ ამ პერიოდში წაყინვების რიცხვისა და ინტენსივობის საგრძნობ მატებას ადგილი არ უნდა ჰქონდეს.

ლიტერატურა-REFERENS-ЛИТЕРАТУРА

1. გუგავა კ., მელაძე გ., მცენარეთა ეკოლოგია, თბილისი, 2003
2. ელიზბარაშვილი ვ. საქართველოს კლიმატური რესურსები. თბ., 2007.
3. ელიზბარაშვილი ვ. საქართველოს ჰავა. თბ., 2017.
4. ელიზბარაშვილი ვ., ტატიშვილი მ., ელიზბარაშვილი მ., მესხია რ., ელიზბარაშვილი ვ. საქართველოს კლიმატის ცვლილება გლობალური დათბობის პირობებში. თბილისი, 2013
5. თავართქილაძე კ., ელიზბარაშვილი ვ., მუმლაძე დ., ვაჩნაძე ჯ. საქართველოს მიწისპირა ტემპარატურული ველის ცვლილების ემპირიული მოდელი. პმი-ი., თბილისი, 1999.
6. მარუაშვილი ლ., საქართველოს ფიზიკური გეოგრაფია, გამოცემლობა „ცოდნა”, თბილისი 1964.
7. მელაძე გ. სებტემბერის ტემპიკური კულტურების აგროკლიმატური პირობები და პროგნოზები. გამომც. „საბჭოთა საქართველო”, თბილისი, 1971.
8. მელაძე მ. აგრომეტეოროლოგია. გამომც. „უნივერსალი”, თბილისი, 2008.
9. მელაძე გ., გოგლიძე ვ. აგრომეტეოროლოგია. გამომც. „განათლება”, თბილისი, 1991.
10. მელაძე გ., მელაძე მ. საქართველოს დასავლეთ რეგიონების აგროკლიმატური რესურსები. გამომც. „უნივერსალი”, თბილისი, 2010.
11. მელაძე გ., მელაძე მ. იმერეთის რეგიონის აგროკლიმატური პირობების შეფასება აგროკულტურების რაციონალურად გაადგილების, პროდუქტიულობისა და მოსავლის პროგნოზირებისათვის. სოხუმის უნივერსიტეტის საერთაშორისო კონფერენციის მასალები, 2014.
12. მუმლაძე დ. საქართველოს კლიმატის თანამედროვე ცვლილება. თბილისი, მეცნიერება, 1991
13. საქართველოს გეოგრაფია ნაწილი 1, ფიზიკური გეოგრაფია, გამომცემლობა „მეცნიერება”, თბილისი 2000.
14. სამეცნიერო-გამოყენებითი კლიმატური ცნობარი, ნაწ. I, ცალკეული კლიმატური მახასიათებლები, თბილისი 2004.
15. საქართველოს კურორტები და საკურორტო რესურსები. ატლასი, მოსკოვი, 1989.
16. საქართველოს კლიმატური და აგროკლიმატური ატლასი. თბილისი, 2011.
17. საქართველოს ქარის ენერგეტიკული ატლასი, 2004.
18. საქართველოს ჰავა. აჭარა. პმი-ის შრომათა კრებული, გ. 110, 2003.

19. საქართველოს პაგა. აფხაზეთი. პმი-ის შრომათა კრებული, ტ.112, 2006.
20. საქართველოს პაგა. სამეცნიელო-ზემო სვანეთი. პმი-ის შრომათა კრებული, ტ.113, 2010.
21. საქართველოს პაგა. გურია. პმი-ის შრომათა კრებული, ტ. 118, 2011.
22. საქართველოს პაგა. შიდა ქართლი. პმი-ის შრომათა კრებული, ტ.122, 2016.
23. Агроклиматические ресурсы Грузинской ССР, под. ред. Турманидзе Т.И. Гидрометеоиздат, Л., 1978.
24. Берлянд Т.Г. Методика климатологических расчётов суммарной радиации, Метеорология и гидрометеорология №9, 1960.
25. Балабуев А.Г., Месхи И.С. Ветроэнергетические ресурсы Грузинской ССР, Тбилиси АН ГСССР, 1959.
26. Биометеорология. Л., Гидрометеоиздат, 1965.
27. Гриневич Г.А. Пути исследования кадастровых характеристик энергии воды, ветра и солнца. Труды энергетического института АН УЗ ССР, вып. 9, 1966.
28. Гриневич Г.А. Задачи и принципы исследования характеристик возобновляющихся источников энергии, Ташкент, изд., АН УЗБ ССР, 1963.
29. Захашивили М.А. Азросиноптические условия возникновения заморозков на территории Грузинской ССР .Труды ЗакНИГМИ, вып. 15(21), Л ,1964 .
30. Климат и климатические ресурсы Грузии. Труды Зак НИГМИ, вып.44(50), Л., Гидрометеоиздат, 1971.
31. Мелия Г.Т. Гелиоэнергетические ресурсы Грузинской ССР, Тбилиси, Изд-во. АН ГССР, 1959.
32. Научно-прикладной справочник по климату СССР Серия 3, Многолетние данные, Части 1-6, вып. 14, Грузинская ССР, Л., Гидрометеоиздат, 1967.
33. Научно-прикладной справочник по климату, СССР, серия 3, вып. 14, Грузинская ССР, Л., Гидрометеоиздат, 1990.
34. Пивоварова З.И. Радиационные характеристики климата СССР, Л., Гидрометеоидат, 1977.
35. Самукашвили Р.Д. О корреляционных связях между радиационным балансом и его составляющими для территории Кавказа. Труды ВГИ, вып. 66, 1977.
36. Самукашвили Р.Д. Высотные изменения многотных среднемесячных величин альбедо в горных районах Кавказа. Труды ВГИ, вып. 52, 1984.

37. Самукашвили Р.Д. К вопросу приближенного расчёта сумм суммарной радиации на клонах в горных районах Кавказа, Труды ВГИ, вып. 57, Л., Гидрометеоиздат 1985.
38. Самукашвили Р.Д. Прямая солнечная радиация на клонах в условиях Большого Кавказа, Труды ВГИ, вып. 62, Л., Гидрометеоиздат 1985.
39. Самукашвили Р.Д. Оценка условий практического использования лучистой энергии солнца в условиях Кавказа, Труды ВГИ, вып. 73, Л., Гидрометеоиздат 1988.
40. Сванидзе Г.Г., Гагуа В.П., Сухишвили Э.В. Возобновляемые энергоресурсы Грузии. Л., Гидрометеоиздат, 1987.
41. Сивков С.И. Методы расчёта характеристик солнечной радиации. Гидрометеоиздат Л., 1968.
42. Справочник по климату СССР вып. 14, часть 3, Ветер, Л., Гидрометеоиздат, 1966.
43. Справочник по климату СССР, выпуск 14 . Температура воздуха и почвы. Гидрометеоиздат, Л , 1967.
44. Справочник по климату СССР вып. 14, часть 3, Ветер, Л., Гидрометеоиздат, 1968.
45. Справочник по климату СССР вып. 14, Грузинская ССР, Солнечная радиация, радиационны баланс и и солнечное сияние, Гидрометеоиздат Л., 1968.
46. Справочник по климату СССР вып. 14, Облачность и атмосферные явления, Гидрометеоиздат Л., 1970.
47. Сухишвили Э.В. Режим ветра на Колхидской низменности. Труды Зак НИГМИ, вып. 5, Л., Гидрометеоиздат, 1959.
48. Чиракадзе Г.И. Климат Тбилиси в новыхграницах. Труды Зак НИГМИ, вып. 26(32), 197.
49. Цуцкиридзе Я.А. Солнечный кадастр Грузии Труды Зак НИГМИ, вып. 12, 1963.
50. Цуцкиридзе Я.А. Радиационный и термический режим территории Грузии. Л., 1967.
51. Цуцкиридзе Я.А. Ресурсы солнечной энергии.- В кн:- Климат и климатические ресурсы Грузии. Л., Гидрометеоиздат, 1971.
52. Элизбарашвили Э.Ш., Гонгладзе Н.Ш.. Климатография курортов Грузии. Тбилиси, 1980.
53. Элизбарашвили Э.Ш., Элизбарашвили М.Э. Основные проблемы климатологии ландшафтов. Зеон. Тбилиси, 2006, 118 с.
54. Элизбарашвили Э.Ш., Элизбарашвили М.Э. Стихийные метеорологические явления на территории Грузии. Зеон. Тбилиси, 2012, 104 с.
55. Impacts of Desertification and Drought and other Extreme Meteorological Events. Prepared by Gathara S.T. Geneva, Switzerland, 2006.